

МИХАИЛ МИХАЙЛОВИЧ ДУБИНИН

К ПЯТИДЕСЯТИЛЕТИЮ СО ДНЯ РОЖДЕНИЯ АКАДЕМИКА МИХАИЛА МИХАЙЛОВИЧА ДУБИНИНА

Первого января 1951 г. исполнилось пятьдесят лет со дня рождения академика-секретаря Отделения химических наук Академии Наук СССР, дважды лауреата Сталинской премии академика Михаила Михайловича Дубинина.

В 1920 г. студент-дипломант Московского высшего технического училища Михаил Михайлович Дубинин приступил к выполнению темы исследования адсорбции электролитов металлами. Результаты этой работы, проводившейся под руководством его учителя профессора Н. А. Шилова, представляли значительный интерес в свете учения Н. А. Шилова об адсорбции электролитов и были опубликованы в трудах Российского научно-химического института.

По окончании Технического училища М. М. Дубинин занимается изучением кинетики распределения веществ между двумя жидкими фазами. Он впервые разработал оригинальную методику эксперимента и провел детальное изучение кинетики распределения уксусной кислоты между водой и различными органическими растворителями. Теоретически кинетика распределения была интерпретирована как диффузионный процесс. Дальнейшие его работы в области кинетики распределения и диффузии электролитов в гелях вызвали в химических кругах большой интерес к диффузионным процессам.

Технически разносторонне образованный и прекрасно знакомый с основами и практическим применением электротехнических измерений, Михаил Михайлович разработал оригинальный метод исследования диффузии, основанный на измерении электропроводности раствора на различных высотах диффузионной трубки. В результате этих работ стало возможным обобщение теории диффузии на область больших концентраций, неполно диссоциированных и гидратированных солей. Продолжительное научное общение с крупнейшим русским ученым Николаем Александровичем Шиловым, интересы которого в то время сосредоточивались на явлениях адсорбции, сказалось на стремлениях Михаила Михайловича — снова увлекает исследование поверхностных явлений. В 1925 г. он проводит обширные исследования адсорбции растворенных веществ из водных растворов активированными углями, изучает адсорбцию смеси электролитов, ряды адсорбции электролитов из разбавленных растворов. Результаты систематических исследований позволили ему подойти к количественной формулировке законов вытеснения и установить основные закономерности и различия в адсорбции слабых и сильных электролитов.

Изучение адсорбции растворенных веществ из водных растворов заставило М. М. Дубинина обратить пристальное внимание на методы получения активных углей, не содержащих примесей электролитов. Наряду с детальной разработкой методики получения беззольного активированного угля из перекристаллизованной сахарозы Михаил Михайлович предложил еще один новый и быстрый способ, вскоре получивший большое распространение. В качестве активизирующего агента была применена азотная кислота, а в качестве исходного продукта — древесный уголь-сырец. Полученный активированный уголь не изменял электропроводности чистой воды, показывал строго эквивалентную адсорбцию катионов

и анионов и содержал в виде примеси только химически индифферентную двуокись кремния.

На препаратах активного угля из сахара Михаилом Михайловичем совместно с Б. В. Некрасовым было открыто явление обращения адсорбционных рядов — гомологического ряда одноосновных жирных кислот и ряд неорганических кислот. Это явление стало предметом обширной дискуссии на страницах союзных и иностранных журналов и послужило темой многочисленных работ различных школ.

С 1928 г. Михаил Михайлович берет на себя руководство лабораторией сорбционной техники. В дальнейшем вся научно-исследовательская и педагогическая деятельность связывается с этой областью физической химии. Первые годы работы посвящаются разрешению главным образом методических проблем и в этом отношении лаборатория, руководимая М. М. Дубининым, достигает значительных успехов. Нужно отметить работы в области поглощения газов и паров из тока воздуха, как первые систематические исследования в СССР, приведшие к созданию методов расчета динамической активности сорбентов.

Талант экспериментатора и конструктора новых приборов определяет весь этот период исследования Михаила Михайловича в совершенно новой области. Именно тогда и был сконструирован широко известный универсальный динамический прибор для исследования активности поглопителей, — прибор, который получил широчайшее распространение.

Параллельно Михаил Михайлович продолжает исследования методов поглощения и сорбционных свойств активных углей. Он изучает кинетику сорбции растворенных веществ на углях с различным характером пористости и ориентацию адсорбционных рядов. К этому времени относятся его работы, связанные с изучением сорбционных свойств углей с химически измененной поверхностью, так называемых «окисленных углей» содержащих на своей поверхности кислые окислы крупнопористых препаратов углерода — саж, — и работа по изучению активирования углей смесями неорганических добавок, представляющая большой интерес для технологии производства обесцвечивающих углей.

В 1931 г. Михаил Михайлович создает монографию «Физико-химические основы сорбционной техники». Подобного рода книг до этого времени не было ни в иностранной, ни в союзной литературе.

В 1935 г. монография подверглась капитальной переработке: были добавлены новые разделы, основанные на теоретических и экспериментальных работах автора.

С начала 1932 г. М. М. Дубинин, всегда живо откликающийся на запросы техники, приступает к фундаментальному исследованию процесса сорбции паров активными углями. Им была разработана методика, основанная на принципе сорбционных весов, позволявшая изучать изотермы сорбции паров в интервале равновесных давлений от 10^{-5} мм рт. ст. до давления насыщенных паров. На многочисленных образцах активных углей с различным характером пористости проведено исследование температурной зависимости изотермы сорбции и изотерм сорбции различных паров. Сравнительный анализ экспериментального материала с точки зрения потенциальной теории и теории капиллярной конденсации привел к совершенно определенным выводам о механизме сорбции паров.

В результате было доказано, что вся совокупность экспериментальных фактов может быть объяснена в свете потенциальной теории физической адсорбции. На основе экспериментальных исследований и теории адсорбционного потенциала Михаил Михайлович еще больше усовершенствовал свою теорию, что позволяло более точно вычислить изотермы различных паров.

В технике поглощения газов и паров пористые поглопители редко используются в статических условиях. Поэтому внимание М. М. Дубинина было направлено на область динамики сорбции также и в дальней-

м; в период 1932—1933 гг. большое развитие получили работы Михаила Михайловича по кинетике и динамике сорбционных процессов.

Тогда же систематически изучается кинетика и динамика хемосорбции газов парообразных веществ натронной известью. Накопленный экспериментальный материал подвергся анализу и обобщениям, в результате чего было показано, что приближенная схема Н. А. Шилова вполне удовлетворительно применима к данному случаю. В общей схеме динамики хемосорбции, являвшейся первой попыткой теоретической обработки опытного материала, дана приближенная картина процесса, которая в существенных чертах принимается также в более точной теории, разработанной впоследствии другими авторами.

В это же время М. М. Дубинин разрабатываются основные представления о динамике сорбции смеси паров и динамической активности слоев адсорбента переменного сечения. Эти работы привели к созданию метода расчета шихты рекуперационных адсорберов, имеющего большое практическое значение.

Михаил Михайлович установил, что время работы адсорбера зависит чувствительности индикатора, определяющего момент отработки слоя. Это обстоятельство раньше не принималось во внимание, а между тем оно оказывает решающее влияние на определение динамической активности слоя адсорбента.

М. М. Дубинин посвящает ряд работ принципиальному разрешению актуальнейших вопросов рекуперационной техники и производства хлоридных активных углей. Исследования кинетики и динамики десорбции парообразных веществ из слоев активных углей позволили проанализировать особенности процесса при переходе от элементарных слоев к слою конечной длины. Была разработана схема процесса десорбции и показано влияние температуры на изменение распределения сорбированных паров по длине слоя. Эти выводы также имели непосредственное практическое значение для рекуперационной техники.

Развивая только что изложенные представления, М. М. Дубинин разрабатывает общую теорию динамики сорбции смеси парообразных веществ. Здесь вводятся понятия о коэффициентах вытеснения и даются основные уравнения для определения времени динамической работы слоя угля по своим компонентам смеси. Экспериментальная проверка теоретических выводов увенчалась подтверждением общей картины процесса и предложенных уравнений.

Дальнейшие исследования М. М. Дубинина посвящены динамике взаимодействия газов и угля при высоких температурах. Эти вопросы, относящиеся непосредственно к динамике активирования угля, оставались весьма мало изученными. М. М. Дубинин разработал общую схему процесса и ввел представление о стационарном реагирующем слое. Безукоризненные в экспериментальном отношении опыты подтвердили правильность исходных положений. Дальнейшее развитие работы привело к важным практическим выводам.

Ряд исследований, выполненных Михаилом Михайловичем в 1936—1937 гг., был тесно связан с изучением механизма сорбции парообразных веществ активными углями. Анализ всей совокупности экспериментальных данных позволил сделать вполне определенный вывод о том, что процесс сорбции изученных парообразных веществ активными углями с различным характером пористости следует потенциальной теории физической сорбции.

Основываясь на этих наблюдениях, М. М. Дубинин формулирует более точное второе приближение теории относительно значений коэффициентов аффинности характеристических кривых. Было показано, что эмпирический метод вычисления изотерм адсорбции парообразных веществ легко обосновывается потенциальной теорией адсорбции при уточнении физического смысла значений коэффициентов аффинности характеристиче-

ских кривых для различных парообразных веществ. Все это позволил предложить наиболее общий метод вычисления изотерм сорбции парообразных веществ.

С 1940 г., а затем в период Великой Отечественной войны, когда советские ученые отдавали все знания укреплению обороноспособности нашей Родины, Михаил Михайлович со свойственной ему энергией работал на разрешении теоретических и практических задач в области противохимической защиты.

В сентябре 1943 г. М. М. Дубинин был избран действительным членом Академии Наук СССР. В Институте физической химии АН СССР он организует лабораторию сорбционных процессов и утверждается заведующим этой лабораторией. Основное направление исследований лаборатории было связано с изучением адсорбции парообразных и растворенных веществ в связи со структурой адсорбентов.

В первых работах лаборатории преимущественно изучались изотермы адсорбции паров бензола и метилового спирта на ряде углей из сахара с закономерно изменяющейся структурой. Тонкая структура этих образцов была оценена по адсорбции растворенных веществ с различными размерами молекул методом «молекулярных щупов». Детальный анализ характеристических кривых для умеренно проактивированных углей позволил установить, что для всех образцов углей распределение адсорбционного пространства по адсорбционным потенциалам в интегральной форме выражалось одним и тем же уравнением. Это позволило развить потенциальную адсорбцию в сторону рассмотрения характеристического уравнения, как статистического, определяемого функцией распределения объемов адсорбционного пространства по адсорбционным потенциалам. В результате было получено общее уравнение изотермы сорбции для паров на активном угле, соответствующее опытным данным в широком интервале равновесных концентраций.

Исходя из теории адсорбционных сил, М. М. Дубинин показал, что коэффициент аффинности характеристических кривых в потенциальной теории адсорбции может быть приближенно выражен отношением молярных объемов парообразных веществ в жидком состоянии. Этот вывод в сочетании с уравнением изотермы адсорбции М. М. Дубинина и Л. В. Радужкевича привел к общему уравнению изотермы адсорбции для любого пара. При этом физические свойства пара могли быть выражены только двумя константами: молярным объемом оживленного пара и упругостью насыщенного пара жидкости. Таким образом была решена задача о приближенном количественном выражении адсорбируемости паров на активных углях. Постоянная связь Михаила Михайловича с работниками заводов позволила ему совершенно конкретно сформулировать основные направления для исследования в области рекуперации паров летучих растворителей применительно к имеющимся установкам и для накопления материалов к проектированию новых конструкций.

В большом ряде работ, продолжающихся и в настоящее время, М. М. Дубинин дает классификацию структурных типов активных углей, основанную на рассмотрении характеристических кривых потенциальной теории адсорбции в достаточном приближении однозначно определяющихся структурой изученных активных углей и препаратов углерода.

В лаборатории сорбционных процессов, которой руководит М. М. Дубинин, создан новый метод исследования изотерм сорбции паров — метод независимого взвешивания адсорбируемого вещества, открывающий возможности точного измерения адсорбции паров не только на пористых сорбентах, но и на измельченных непористых кристаллических порошках с удельной поверхностью всего лишь 1 м/г. Относительная чувствительность нового метода оказалась в тысячу раз больше обычного метода вакуумных сорбционных весов.

Основное значение в работах лаборатории имели исследования структур-

ры важнейших адсорбентов, в особенности активных углей и препаратов перода и их адсорбционных свойств. Были созданы методы измерения объемов различных разновидностей пор: микропор, переходных пор и макропор, основанные как на физических измерениях, так и на исследовании адсорбции паров и растворенных веществ. Характер тонкой структуры микропор исследовался по ранее разработанному методу «молекулярных пов».

Для исследования теплот сорбции в лаборатории была создана калориметрическая установка. Термическая чувствительность калориметра составляет одну сотысячную долю градуса, а калориметрическая — от сотысячных до двух десятитысячных долей малой калории на грамм сорбента. Эти показатели далеко превосходят все известные достижения рубежных исследователей.

В лаборатории открыто новое явление капиллярного расслаивания при сорбции растворов пористыми сорбентами со значительным объемом переходных пор, аналогичное капиллярной конденсации паров. Детальное исследование изотерм сорбции бинарных жидких смесей для областей ограниченного смешения компонентов, областей расслаивания и кристаллизации позволило обосновать физическую природу этого явления и наметить пути для изучения по этому способу структуры пористых сорбентов.

Педагогическая деятельность Михаила Михайловича началась еще молодые годы. В 1921 г. он приглашается преподавателем физики и химии на Рабочий факультет Московского высшего технического училища, в 1922 г. утверждается ассистентом по кафедре неорганической химии ВТУ. В эти годы им был разработан и осуществлен лабораторный практикум по неорганической химии. Большая педагогическая ценность этого документа, оставшегося в рукописи, обусловлена чрезвычайной наглядностью метода преподавания: студент обучался довольно сложным вычислениям результатов опыта, осуществляемого весьма простыми средствами.

Педагогический талант Михаила Михайловича сказался и в дальнейшем, когда ему в 1927 г. было поручено преподавание аналитической химии в МВТУ. Он умел находить новые пути воспитания химического мышления студентов, предлагая часто несколько необычные задачи и методы их решения. Это заставляло учащихся больше мыслить самостоятельно и меньше обращаться к учебникам.

Совершенно новая отрасль деятельности появляется с утверждением Михаила Михайловича в 1928 г. в должности старшего ассистента Противоголозвой лаборатории МВТУ. Здесь Михаилу Михайловичу пришлось практически заново не только создавать практикум, но и изобретать, конструировать и осуществлять целые установки. Организационные способности и умение сгруппировать вокруг себя работоспособный коллектив привели к тому, что противоголозвая лаборатория стала своего рода показательным центром в этой новой отрасли педагогики.

Многие десятки учеников М. М. Дубинина вышли из этой лаборатории, восприимчив его богатый педагогический опыт.

Одновременно с преподавательской деятельностью Михаил Михайлович собирал ценнейшие материалы для чтения новых курсов и создания учебников. Курс лекций является оригинальным творением М. М. Дубинина, сочетая в себе глубину теоретической мысли, яркие жизненные образы и широкие практические приложения учения об адсорбции. Созданная в 1931 г. монография «Физико-химические основы сорбционной техники» являлась одновременно и учебником расширенного типа. Позднее второе издание этой книги было переработано в настоящий учебник, которым пользуются во многих учебных заведениях Союза.

В начале 1948 г. М. М. Дубинин избирается академиком-секретарем отделения химических наук АН СССР. Основное внимание Михаил Михайлович уделяет вопросам взаимодействия науки с социалистической промышленностью.

При участии Михаила Михайловича Дубинина организуются новые институты и лаборатории.

Много внимания он уделяет укреплению связи ученых Москвы и Ленинграда с Союзными академиями и филиалами АН СССР, им проводятся научные совещания и конференции.

Таким образом, с каждым годом круг деятельности М. М. Дубинина расширяется и углубляется. Его пятидесятилетие застает его в расцвете сил, в кипучей научной, педагогической и общественной работе, во главе созданной им школы, руководителем крупнейшего объединения химических институтов — Отделения химических наук Академии Наук СССР.

К славному пятидесятилетию Михаила Михайловича его товарищи, ученики и широкие круги советских химиков шлют ему искренние поздравления здоровья, сил и дальнейших творческих успехов на благо и процветание советской науки и техники.

К. В. Чмут

ПОТЕНЦИАЛЫ РАЗЛОЖЕНИЯ АЦЕТОНОВЫХ РАСТВОРОВ СОЛЕЙ КАДМИЯ*

О. К. Кудра и П. П. Туров

В предыдущих работах при исследовании влияния катодной плотности тока на структуру выделяемого металла было замечено изменение напряжения на клеммах ванны в момент появления рыхлых черных катодных осадков [3]. Рентгенографическими исследованиями этой разновидности осадков меди, кадмия и цинка установлено наличие в них окислов и одновременно обнаружено увеличение параметров кристаллических решеток, обусловленное внедрением водорода [4]. Интересно, что получаемые таких же условиях черные осадки серебра не содержат ни окислов, ни водорода. Это обстоятельство свидетельствует, повидимому, о том, что образование рыхлых осадков при высоких плотностях тока хотя и сопровождается во многих случаях окислением осадков, а также внедрением в них водорода, все же не может быть однозначно объяснено только этими факторами.

В связи с этим одним из нас [5] было высказано предположение, что рыхлые осадки образуются вследствие разряда сложных катионов (типа втокомплексов), которые являются постоянными спутниками простых ионов в растворе [6]. С целью подтверждения правильности этого предположения было предпринято изучение потенциалов разложения в водных растворах солей меди, кадмия и серебра при помощи видоизмененной методики снятия кривых ток — напряжение, позволяющей варьировать катодную плотность тока в широких пределах с относительным сохранением постоянства анодной плотности тока. При этом были обнаружены два потенциала разряда ионов. Один из них, более низкий, соответствовал выделению плотного гладкого осадка и объяснялся, предположительно, разрядом простых ионов; другой, более высокий, совпадал с появлением на катоде черни и связывался с разрядом сложных ионов. Эти два потенциала численно отличались довольно значительно, иногда до 1,5 В [5].

Однако наличие второго перегиба на $I - V$ кривой могло быть вызвано и другими причинами. Например, общеизвестна зависимость электродных потенциалов от структуры электродного материала. Возникает естественный вопрос, не является ли изменение структуры металла во время самого электролиза, при высоких плотностях тока, причиной второго перегиба на $I - V$ кривой. Убедительный ответ на этот вопрос дает исследование Е. М. Скобца и О. К. Кудры [7]. На снятых ими $I - V$ кривых в растворах $CdSO_4$, $CuSO_4$ и $NaCl$ на установке ручного полярографа с ртутным капельным электродом, т. е. в условиях, исключающих влияние изменения структуры катода во время электролиза на величину катодного потенциала, опять-таки были получены во всех опытах два потенциала разряда. Прямые измерения анодного потенциала во время электролиза обнаружили при этом колебания его лишь в пределах около

* Примечание при корректуре.

В настоящей работе вторые потенциалы трактуются с точки зрения гипотезы разряда комплексных ионов, выдвинутой и развиваемой О. К. Кудра. Имеются, однако, и другие толкования (см. П. П. Туров [1, 2]).

20 мВ, тогда как разница между значениями напряжения разложения первого и второго подъемов тока составляла свыше 1 В.

Таким образом можно считать твердо установленным, что наличие второго подъема тока на $I - V$ кривых не связано с изменением структуры осаждаемого металла, а обусловлено наличием нового электрохимического процесса, происходящего на катоде.

Наиболее естественным кажется предположить, что новым электрохимическим процессом, вызывающим второй подъем на $I - V$ кривой, есть разряд водородных ионов растворителя — воды. Именно такого мнения придерживается Илькович [8], изучавший вторые потенциалы, возникающие на полярограммах различных растворов. По мнению последнего, на водородную природу вторых потенциалов указывает тот факт, что даже при значительных плотностях тока не удается достигнуть предельного тока на второй волне $I - V$ кривой, а это свидетельствует о том, как говорит Илькович, что резервуар, поставляющий электровосстанавливающееся вещество, является практически неисчерпаемым. Таким резервуаром может быть, очевидно, только растворитель — вода, а восстанавливающимся веществом ионы водорода.

Такая трактовка вторых потенциалов не свободна, как нам кажется, от некоторых недостатков. С ее помощью затруднительно объяснить целый ряд наблюдаемых весьма существенных фактов. Так, одним из нас ранее указывалось [9], что образование на катоде черни с одновременным появлением на $I - V$ кривой второго подъема тока в подавляющем большинстве случаев не сопровождается выделением водорода. Аналогичные наблюдения отмечены Е. М. Скобцом и О. К. Кудрой при снятии полярограмм в нейтральных растворах некоторых солей, тогда как в тех же условиях при тех же плотностях тока происходило бурное выделение водорода при применении подкисленных растворов этих же солей или при исследовании растворов кислот [7]. Следует подчеркнуть, что в последней работе катодом служил ртутный капельный электрод, т. е. применялся материал, не способный к поглощению водорода.

Мысль об идентичности электрохимического процесса, соответствующего вторым потенциалам (разряд H^+ , как это полагает Илькович), независимо от природы растворенного вещества, трудно также согласовать с наблюдающейся значительной разницей между значениями вторых потенциалов, полученных для различных растворов, достигающей иногда по данным того же Ильковича, 0,9 В.

Попытку свести эти различия к различию в величинах перенапряжения водорода в отдельных опытах, как это делает Илькович, вряд ли можно считать вполне удовлетворительной, так как важнейшие факторы, определяющие перенапряжение, а именно: плотность тока, концентрация растворов и материал катода во всех опытах были почти одинаковыми.

Но наиболее убедительным, нам кажется, указанием на недостаточность допущения связи вторых потенциалов с разрядом H^+ воды являются результаты, полученные Е. М. Скобцом и О. К. Кудрой на полярограммах, снятых в растворах кислот HCl и H_2SO_4 , где, как и в растворах солей, получены два катодных потенциала разряда. Последовательное применение гипотезы Ильковича в этом случае приводит к допущению двух катодных потенциалов для одного и того же электрохимического процесса, что, конечно, вызывает затруднения в термодинамическом толковании их.

Ссылка Ильковича на невозможность достижения предельного тока на втором подъеме $I - V$ кривой, как на доказательство водородной природы его, предполагает обязательный мгновенный распад воды на H^+ и OH^- при удалении одного из них из раствора. Нам кажется, что такое предположение также нуждается в доказательстве. Укажем в связи с этим на результаты исследования анодной поляризации платиновых электродов при различных плотностях тока в водных растворах H_2SO_4 и других

лородных кислот Глазером, Бозе и др., приводимые Л. Лебланом [10]. Леблан указывает, что эти авторы в ряде случаев обнаружили по два, три и более анодных потенциалов разряда. Например, для растворов H_2SO_4 обнаружены потенциалы 1,14; 1,67; 1,95 и 2,60 V соответственно разряду ионов O^{2-} , OH^- , SO_4^{2-} и HSO_4^- . Из этих наблюдений Леблан делает вывод, что скорость диссоциации воды на H^+ и OH^- ионы довольно ограниченная, и является причиной достижения предельного тока для процесса разряда OH^- , т. е. вывод, прямо противоположный допущению Ильковича. Заслуживают внимания также измерения сопротивления электролитической ячейки в зависимости от налаженного внешнего электрического поля, произведенные Ильковичем в упомянутой работе. Результаты этих измерений показали на плавное, а не скачкообразное изменение сопротивления, что приводит к заключению, что и изменение сопротивления ячейки никак не может быть причиной наличия двух перегибов на $I - V$ кривых.

Чтобы показать общность явления двух катодных потенциалов разряда как в водных, так и в неводных растворах, О. К. Кудра и Г. С. Клейбас сняли $I - V$ кривые в системах $\text{AsBr}_3 - (\text{C}_2\text{H}_5)_2\text{O}$, $\text{SbCl}_3 - (\text{C}_2\text{H}_5)_2\text{O}$, $\text{AlBr}_3 - \text{C}_2\text{H}_5\text{Br}$. В исследованных растворах было обнаружено по два анодных потенциала разряда. По мнению этих авторов, полученные и данные могут служить также подтверждением гипотезы о наличии в растворах наряду с простыми еще и сложных ионов, разряд которых может вызвать второй перегиб на $I - V$ кривых.

Изучение изменения величин вторых потенциалов, наблюдаемых в водных растворах солей меди, серебра, цинка и др., в зависимости от концентрации растворов обнаружило ярко выраженную тенденцию роста последних с разведением [5], причем этот рост непропорционально велик в сравнении аналитической убывлю концентрации. Это должно, как будто, указывать на 'быстрый спад концентрации сложных катионов в растворе с разведением, если разду последних приписывать вторые перегибы на $I - V$ кривых, что, казалось бы, в свою очередь, должно способствовать скорейшему достижению предельного тока на второй волне $I - V$ кривой. Это точное заключение не нашло, однако, до сих пор экспериментального подтверждения.

Все эти факты, равно как и отсутствие методов, позволяющих однозначно констатировать наличие сложных ионов в растворе, настоятельно требуют дальнейших исследований природы и свойств вторых потенциалов. С этой целью нами и предпринято настоящее исследование. В качестве растворителя был выбран ацетон. Его способность растворять многие неорганические вещества с образованием электропроводящих систем общеизвестна. Кроме того, для наших целей он выгодно отличается от воды тем, что в нем отсутствуют заметных количества такие агенты, как H^+ и H^- , способные к взаимодействию с растворенными веществами.

Исследование производилось по обычной схеме снятия $I - V$ кривых. Раствор помещался в стеклянный с двумя шлифами сосуд. Две вогнутые, погруженные в нижнюю часть сосуда, платиновые пластинки общей площадью в 682 мм^2 служили анодом. В качестве катодов применялись впаиваемые в пришлифованные стеклянные пробки платиновые стержни разного размера, попеременно вводимые в сосуд (рис. 1).

Такая конструкция сосуда позволяла простой заменой одного катода другим снимать в любом растворе несколько $I - V$ кривых, существенно

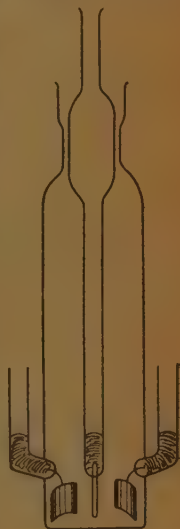


Рис. 1

отличающихся между собой катодными плотностями тока при относительном постоянстве анодной. В данной работе применялись четыре катоды, поверхности которых равнялись 111; 27,3; 10,5 и 2,4 мм². При таких размерах катодов, и особенно при сравнительно большой поверхности анода, удавалось очень четко выявлять изменения, происходящие на катоде в процессе снятия $I - V$ кривых. Измерительными приборами служили вольтметр с ценой деления в 0,02 В и гальванометр с ценой деления в $0,37 \cdot 10^{-6}$ А, соответственно шунтировавшийся.

Примененные препараты подвергались тщательной очистке и сушке. Ацетон длительно выдерживался над хлористым кальцием и затем дважды перегонялся. Для работы употреблялась фракция, отогнанная при температурах кипения 55,6—56,0° С. Соли кадмия (CdJ_2 и CdBr_2) дважды перекристаллизовывались и затем тщательно высушивались. Бромистый кадмий сушился в токе сухого HBr .

Измерения потенциалов разложения растворов иодистого кадмия были произведены в довольно широких пределах концентраций, начиная с 20 и до 0,03 % (весов.) CdJ_2 . При этом во всех исследованных растворах было установлено наличие двух потенциалов. На рис. 2 приведены $I - V$ кривые для 0,06 % CdJ_2 .

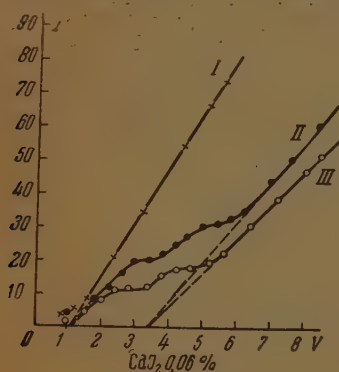


Рис. 2

Кривая I на рис. 2 соответствует наибольшему размеру катода (111 мм²); кривая II отвечает размеру катода 27,3 мм²; кривая III получена при размере катода в 10,5 мм². Ввиду того что размер анода при всех трех измерениях оставался неизменным, анодные плотности тока одинаковы для всех трех кривых, поэтому наличие нового перегиба на II и III кривых может быть приписано только новому катодному процессу. Непосредствен-

ными наблюдениями установлено, что, в то время как первый катод покрывался при измерениях плотным гладким слоем металлического кадмия, на втором и третьем электродах выделялись черные рыхлые осадки. Таким образом получены результаты, совершенно аналогичные тем, которые были описаны в цитированных работах при исследовании водных растворов [5, 9]. Это является особенно интересным в связи с тем, что в данном случае появление второго потенциала никак не может быть приписано процессу разряда водородных ионов. Отметим, что в исследованных в настоящей работе системах выделение газообразных продуктов на катоде замечено не было. Что касается возможности восстановления ацетона до пинакона или изопропилового спирта, то вопрос пока остается открытым. Аналогичные результаты получены и в растворах других концентраций. Значения полученных потенциалов приведены в табл. 1.

Таблица 1

Концентрация CdJ_2 в весов. %	Значения потенциалов при поверхности катодов			
	111 мм ²	27,3 мм ²	10,5 мм ²	2,4 мм ²
20	0,95	—	2,00	2,00
10	0,98	2,00	2,00	2,10
5	1,00	2,60	2,60	2,70
2	1,02	2,70	2,80	2,80
1	1,00	2,80	2,80	2,80
0,5	1,05	2,90	3,00	3,00
0,1	1,08	3,20	3,30	3,40
0,06	1,10	3,40	3,40	—
0,03	1,10	3,50	3,60	—

Потенциал, указанный в графе первой при наибольшем размере катода наруживается и при всех остальных электродах, наряду с потенциалами, которые приведены в соответствующих других графах таблицы. Одновременно со снятием $I-V$ кривых производились наблюдения за изменением характера катодного осадка при помощи лупы. Установлено, что на участках кривых от начала и до второго подъема тока всегда выделяется плотный осадок, светлый в разведенных растворах, постепенно темнеющий по мере возрастания концентрации. С началом второго подъема он сразу же образуется черный рыхлый осадок (еж).

Появление газообразных продуктов на катоде ни разу не было замечено, хотя сила тока в отдельных опытах достигала 5 мА, что соответствовало бы выделению 35 мм³ водорода в минуту, т. е. даже частичное выделение водорода или других газообразных продуктов не могло бы оставаться замеченным. Предельный ток первой волны, особенно в разведенных растворах, легко достигался. Устойчивые силы тока, на участках первого подъема тока, устанавливались довольно медленно (5—10 мин.). На участках второго подъема тока устойчивые силы тока устанавливались довольно быстро (0,5—1 мин.), но оставались в устойчивом положении непродолжительно, после чего имела место тенденция к дальнейшему росту, по-видимому, вследствие быстрого разрастания рыхлого осадка (ежа) в глубь створа. Предельный ток для этой волны $I-V$ кривой, даже в наиболее разведенных растворах и при применении значительных напряжений (до 15 В), не достигался. Особого внимания заслуживает тенденция к значительному росту значений вторых потенциалов с

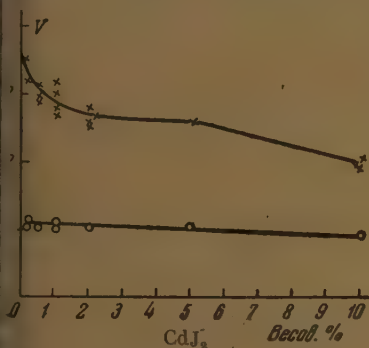


Рис. 3

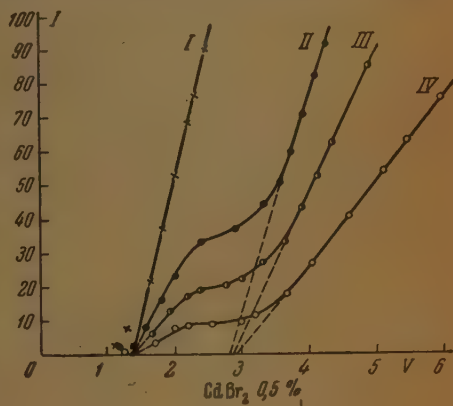


Рис. 4

азведением. Это видно очень хорошо из данных табл. 1. Более наглядная картина получается, однако, при графическом изображении полученных значений потенциалов в зависимости от концентрации растворов. На рис. 3 представлена эта зависимость.

Из рис. 3 видно, что, в то время как первый потенциал отличается постоянством, величины второго потенциала особенно резко возрастают в области разбавленных растворов. Природа этой тенденции к росту пока еще вполне ясна. Во всяком случае ее нельзя объяснить убывлением концентрации электровосстанавливающегося вещества вследствие разведения, т. е. ростом электродного потенциала в соответствии с формулой

$$E = E_0 - \frac{RT}{nF} \ln c.$$

Затруднительно также объяснить это увеличением омического спада напряжения в ячейке с разведением, так как оба эти фактора должны были бы в некоторой мере сказаться и на изменении первого потенциала, что, однако, не наблюдается.

Растворы бромистого кадмия были исследованы в более узких интервалах концентрации ввиду малой растворимости этого препарата в ацето-

не. Тем не менее и тут удалось получить результаты, вполне аналогичные тем, которые наблюдались в растворах CdJ_2 . На рис. 4 приведены кривые, полученные в 0,05 % растворе бромистого кадмия.

Как показывает рис. 4, и тут вполне четко обнаруживаются два потенциала разложения. При этом, так же как и в иодистом кадмии, появление второго подъема тока на $I - V$ кривых сопровождается образованием черного рыхлого осадка на катоде. Наличие двух катодных потенциалов установлено во всех областях исследованных концентраций. В табл. 1 приведены значения полученных потенциалов в растворах бромистого кадмия в ацетоне.

Таблица 2

Концентрация CdBr_2 в весов. %	Значения потенциалов при поверхности катодов			
	111 мм ²	27,3 мм ²	10,5 мм ²	2,4 мм ²
Насыщенный	1,35	—	2,60	2,70
0,5	1,40	2,90	3,00	3,00
0,25	1,45	3,25	3,25	3,25
0,05	1,45	3,40	3,60	3,60

Как видно из табл. 2, здесь, как и в случае растворов иодистого кадмия, также имеется тенденция к сильному возрастанию вторых потенциалов с разведением. Эта тенденция особенно наглядно представлена на рис. 5, на котором приведены значения полученных потенциалов в зависимости от концентрации раствора.

Результаты настоящей работы, устанавливающей наличие двух потенциалов разложения в ацетоновых растворах, где, повидимому, исключена возможность объяснения вторых перегибов на $I - V$ кривых разрядом водородных ионов, указывает на необходимость выдвижения других

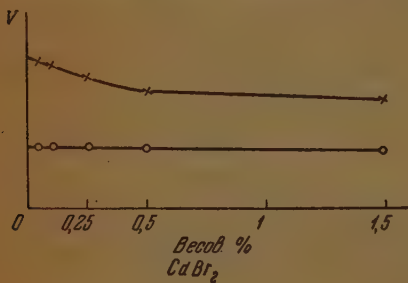


Рис. 5

объяснений природы вторых потенциалов. В то же время полученные данные, вполне аналогичные тем, которые ранее были установлены при исследовании условий образования плотных и рыхлых катодных осадков в водных растворах, свидетельствуют о том, что появление рыхлых черных осадков связано с новым катодным процессом, отличным от процесса отложения обычного гладкого плотного слоя металла. Все это может служить подтверждением

высказанной одним из нас ранее гипотезы [5, 9], связывающей образование рыхлых катодных осадков с разрядом комплексных катионов, являющихся постоянными спутниками простых ионов в растворах.

Выводы

1. Сняты кривые напряжение — сила тока при различных катодных плотностях тока CdJ_2 и CdBr_2 в широком интервале концентраций в ацетоне.

2. Во всех случаях при высоких катодных плотностях тока обнаружены два перегиба на кривой напряжение — сила тока, причем более низкому

енциалу соответствует выделение плотного гладкого осадка металла, ее высокому — рыхлая чернь. Выделение газообразных продуктов катоды не наблюдалось.

3. Установлено, что изменение первого потенциала с разведением незначительно, тогда как вторые потенциалы с разведением заметно возрастают, особенно сильно в области разведенных растворов.

4. Экспериментальные данные, полученные в этой работе, не противостоят ранее высказанной О. К. Кудра гипотезе о существовании в растворе ряда с простыми еще и сложных ионов, разряд которых при высоких плотностях тока может обуславливать второй катодный потенциал.

Академия наук УССР
Институт общей и неорганической химии
Киев

Поступила
4.VII.1948

ЛИТЕРАТУРА

- М. П. Туров, Диссертация, 1949, ИОНХ, АН УССР.
П. П. Туров и Е. М. Скобеч, Журн. физ. химии, **24**, 694, 1950.
О. К. Кудра, Зап. Ін-ту хімії АН УРСР, **1**, 81, 1934; **3**, 285, 1935; Журн. общ. хим., **1**, 120, 1935.
О. К. Кудра и К. П. Иванов, Зап. Ін-ту хімії АН УРСР, **3—4**, 299, 1934; Журн. физ. хим., **6**, 469, 1935.
О. К. Кудра, Зап. Ін-ту хімії АН УРСР, **2**, 127; 1938; Журн. физ. химии, **12**, 148, 1938.
Н. А. Изгарышев, Е. М. Майорова, Журн. общ. химии, **6**, 1208, 1936.
Е. М. Скобеч и О. К. Кудра, Зап. Ін-ту хімії АН УРСР, **2**, 227, 1947; Журн. прикл. химии, **20**, 1176, 1947.
D. Ilkovič, Collection of Czech. Chem. Commun., **11**, 480, 1932.
О. К. Кудра, Зап. Ін-ту хімії АН УРСР, **1**, 49, 1937.
М. Леблан, Руководство по электрохимии, М.—Л., 1931, стр. 308.
О. К. Кудра Г. С. Клейбс, Журн. физ. химии, **15**, 228, 234, 1941; Зап. Ін-ту хімії, **1**, 83, 95, 1941.

ОПРЕДЕЛЕНИЕ ОТДЕЛЬНЫХ ЭЛЕКТРОДНЫХ ПОТЕНЦИАЛОВ В РАСПЛАВЛЕННЫХ ХЛОРИСТОМ АЛЮМИНИИ — ХЛОРИСТОМ НАТРИЯ КАК РАСТВОРИТЕЛЕ

Ю. К. Делимарский, Л. С. Беренблюм и И. Н. Шейко

Хлористый алюминий в смеси с хлоридами щелочных металлов был объектом многих электрохимических исследований. Например, Н. С. Фортунатов [1] разработал способ электролитического рафинирования алюминия, основанный на применении хлористого алюминия в качестве составной части расплавленного электролита. Этот способ может быть также использован для переработки термического силикоферра алюминия.

Хлористый алюминий как растворитель был исследован главным образом В. А. Плотиновым и Н. С. Фортунатовым [2—4]. Сюда относятся работы по электропроводности, электролизу, потенциалам разложения и гальваническим цепям. Система $AlCl_3 - NaCl$ была также исследована А. И. Кряговой [5, 6]. В. А. Избеков и Н. Г. Човнык [7] исследовали потенциалы разложения хлоридов металлов, применяя в качестве растворителя хлористый алюминий. Значительно позже аналогичные исследования были выполнены Интема и его соавторами [8], которые в качестве растворителя применяли расплавленный электролит: $AlCl_3 - NaCl - KCl$.

В. А. Избеков и Н. Г. Човнык для хлористого кадмия и хлористого серебра нашли по два потенциала разложения. Интема тоже во многих случаях нашел по два потенциала, соответствующих, по его мнению, выделению металлических осадков различной структуры. Так, например, было найдено, что при 2,12 В выделяется гладкий алюминий, а при 2,27 В начинают расти дендриты.

Как было нами отмечено в одной из прежних работ [9], имеющиеся в литературе величины потенциалов разложения хлоридов в хлористом алюминии как растворителе не только не позволяют вычислить относительные электродные потенциалы металлов, но даже составить приблизительный электрохимический ряд напряжений в этом растворителе. Электрохимический ряд металлов, составленный нами на основании полярографических исследований, тоже не может считаться вполне достоверным, так как полученные при этом величины нельзя рассматривать как потенциалы разложения соответствующие термодинамическим равновесным электродным потенциалам. При полярографических исследованиях, в которых применялись большие деполаризующиеся аноды, получались явно заниженные величины, что нами и было отмечено.

Построение электрохимического ряда металлов должно быть основано на величинах электродных потенциалов, близких к равновесным. Полярографический метод не удовлетворяет этому требованию. Поэтому для установления более достоверного электрохимического ряда напряжений мы решили провести исследование, которое позволило бы получить величины электродных потенциалов, близких к равновесным.

Для выяснения вопроса, разряду каких ионов обязано появление двух перегибов на $I - V$ кривых, желательно было бы определить величины относительных потенциалов отдельных электродов. Величины анодных потенциалов могли бы показать, насколько разнится активность анiono- (например, ионов хлора) в различных расплавленных электролитах. Кроме того, представляло интерес установить, как изменяются величины отдельных электродных потенциалов в зависимости от температуры. Для выяснения всех этих вопросов и была выполнена настоящая работа.

Методика и аппаратура

Препараты (хлориды металлов) готовили так, как это описано в нашей прежней работе [9]. В качестве растворителя применяли расплав, состоящий из эквимолекулярных количеств хлористого алюминия и хлористого натрия. Как было установлено У. И. Шварцманом [40], такое соотношение

входит в состав комплекса NaAlCl_4 с температурой плавления 152°C . Плав такого состава в большом количестве был сразу приготовлен в углодонной колбе с притертой пробкой и разлит в оттянутые пробирки, которые после заполнения запаивались. Все исследование было выполнено в этом однородном расплаве. Количество исследуемого хлорида составляло один молярный процент по отношению к комплексу. Тройной электролит готовили перед каждым опытом в стаканчике с пришлифованной крышкой. В настоящей работе исследованы такие хлориды: TiCl_3 , MnCl_2 , ZnCl_2 , Al_2Cl_3 , SnCl_2 , PbCl_2 , CdCl_2 , CuCl , AgCl , SbCl_3 , BiCl_3 , NiCl_2 . Исследования производились в температурном интервале $300\text{--}500^\circ \text{C}$. Измерительная схема приведена на рис. 1.

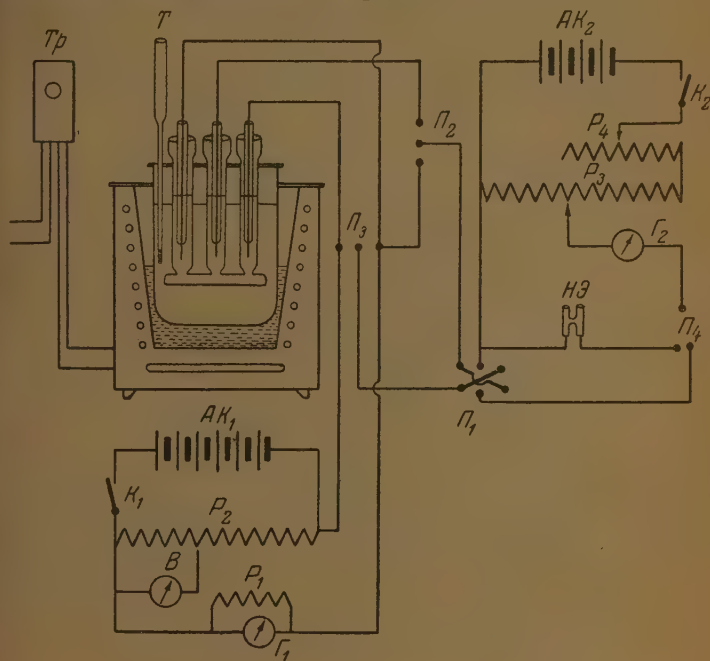


Рис. 1

Напряжение измеряли при помощи вольтметра с ценой одного деления $0,02 \text{ V}$. В качестве гальванометра служил прибор с внутренним сопротивлением 2130Ω и ценой одного деления $0,24 \cdot 10^{-6} \text{ A}$. Чувствительность гальванометра можно было изменять при помощи добавочного шунта. Электродвижущие силы измеряли, с точностью до $0,004 \text{ V}$, на потенциостреле.

Сосуд для электролиза, изготовленный из стекла пирекс, изображен на рис. 1.

Отверстия сосуда закрывались асбестовыми пробками, с вмонтированными в них электродами. В крайние колена сосуда вставлялись электроды, с которых отлагались продукты электролиза. Катод был платиновый, анод — графитовый. В среднее колено помещался платиновый электрод сравнения. Графитовые аноды были предварительно прохлорированы и прокалены. Для каждого опыта применяли свежие графиты.

Термостатом служила селитряная баня, состоящая из эквимолекулярных количеств нитратов натрия и калия, помещенная в электропечь, температура которой измерялась при помощи кварцевого термометра, вставленного в солевую баню. Постоянство температуры в пределах $+2^\circ \text{C}$ достигалось при помощи терморегулятора.

В нагретую до желаемой температуры солевую баню вносили пустой сосуд, который подвешивался таким образом, чтобы он не касался стенок металлического тигля. Через некоторое время в подогретый сосуд приливали расплавленный электролит и вставляли электроды. С целью насыщения электродов продуктами электролиза проводили предварительный электролиз до тех пор, пока э. д. с. поляризации не приобрела постоянную величину, что достигалось примерно в течение 30 мин. После этого снимали $I - V$ кривые как при возрастающем, так и при понижающемся вольтаже. Параллельно определяли при помощи потенциометра отдельные электродные потенциалы по отношению к электроду сравнения, а также э. д. с. поляризации.

Результаты измерений и их обсуждение

Каждый расплавленный электролит был исследован с применением свежеприготовленного расплава. Результаты измерений приведены в табл. 1, в которой приняты такие обозначения: E — э. д. с. поляризации, E_K — потенциал катода, E_a — потенциал анода.

Таблица

Хлорид	300°				400°				500°			
	V	E	E_K	E_a	V	E	E_K	E_a	V	E	E_K	E_a
$AlCl_3$	2,12	2,16	-1,85	+0,28	2,04	2,08	-1,80	+0,24	1,96	1,98	-1,78	+0,18
$TiCl_4$	1,97	2,00	-1,72	+0,30	1,90	1,91	-1,70	+0,19	1,78	1,80	-1,60	+0,14
$MnCl_2$	1,94	1,95	-1,64	+0,28	1,84	1,86	-1,70	+0,13	1,75	1,78	-1,66	+0,10
$ZnCl_2$	1,65	1,68	-1,35	+0,31	1,61	1,63	-1,34	+0,27	1,54	1,55	-1,32	+0,23
$CdCl_2^{**}$	1,63	1,64	-1,43	+0,20	1,49	1,49	-1,32	+0,17	1,36	1,38	-1,24	+0,14
	1,08	1,10	-0,94	+0,17	0,98	1,00	-0,86	+0,13	0,88	0,88	-0,78	+0,10
$SnCl_2$	1,62	1,63	-1,45	+0,18	—	—	—	—	—	—	—	—
	0,70	0,71	-0,61	+0,10	0,69	0,71	-0,62	+0,10	0,67	0,69	-0,59	+0,08
$PbCl_2$	1,46	1,48	-1,06	+0,40	—	—	—	—	—	—	—	—
$CoCl_2$	1,26	1,26	-0,89	+0,37	1,19	1,20	-0,90	+0,31	1,14	1,14	-0,91	+0,25
$CuCl$	1,22	1,23	-0,88	+0,35	1,18	1,19	-0,86	+0,32	1,12	1,14	-0,83	+0,25
$AgCl$	1,21	1,20	-0,77	+0,44	1,08	1,10	-0,77	+0,32	1,02	1,04	-0,76	+0,28
$SbCl_3$	1,20	1,20	-0,90	+0,33	1,08	1,10	-0,82	+0,28	0,97	0,98	-0,73	+0,23
$BiCl_3$	1,09	1,07	-0,65	+0,42	0,96	1,00	-0,64	+0,30	0,92	0,92	-0,63	+0,28
$NiCl_2$	1,00	1,01	-0,65	+0,36	0,93	0,94	-0,70	+0,23	0,86	0,86	-0,72	+0,14

* Эти данные рассчитаны по температурному коэффициенту.

** Из насыщенного раствора.

Графики, характеризующие $I - V$ кривые катодной и анодной поляризации, приведены на рис. 2, 3 и 4. Для того чтобы не загромождать статью мы приводим только наиболее характерные $I - V$ кривые. Для некоторых систем нами отмечено наличие двух перегибов на $I - V$ кривых. К таким системам относятся расплавленные электролиты, содержащие хлорид кадмия и олова.

Исследование отдельных электродных потенциалов показывает (рис. 3 и 4), что вторые потенциалы связаны с катодными процессами. В этих случаях приходится допустить, что на катоде происходит последовательный разряд различных катионов. Очевидно, в расплавленных электролитах наряду с простыми находятся довольно стойкие комплексные катионы разряд которых и обуславливает появление вторых потенциалов. Кроме комплексных катионов возможно также допустить наличие в электролите и катионов с различной валентностью. Например, наличие в расплавленном электролите одновалентных ионов кадмия весьма вероятно [12].

Кроме электролитов, содержащих хлориды кадмия и олова, вторые потенциалы обнаружены и для хлористого висмута. Однако в последнем случае результаты плохо воспроизводимы. Возможно, что это происходит благодаря обильному образованию пиролиза при электролизе хлористого висмута.

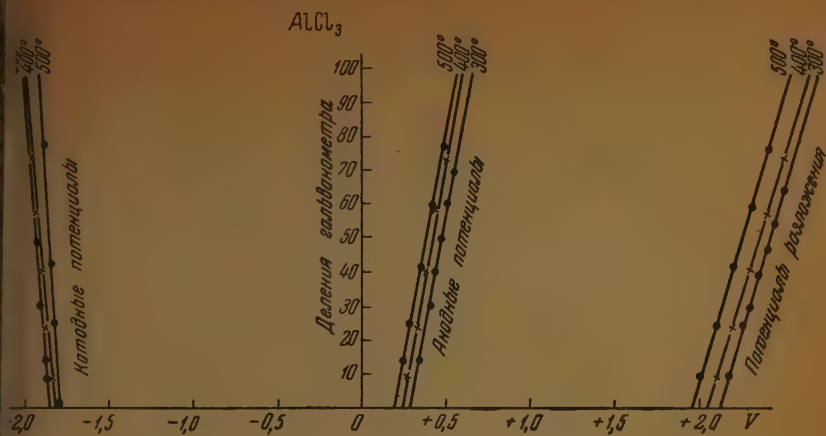


Рис. 2

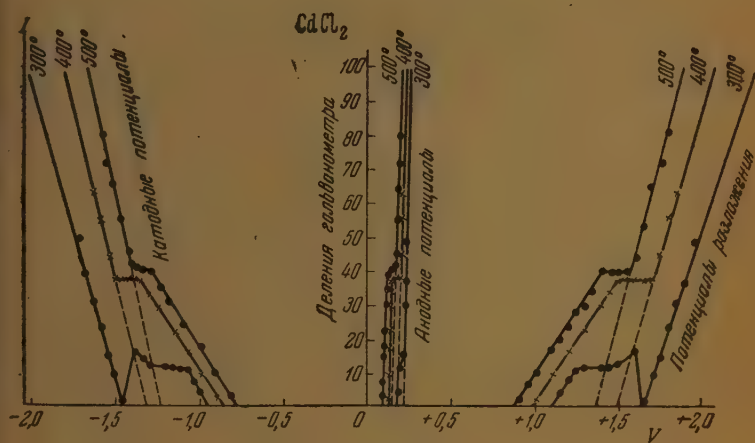


Рис. 3

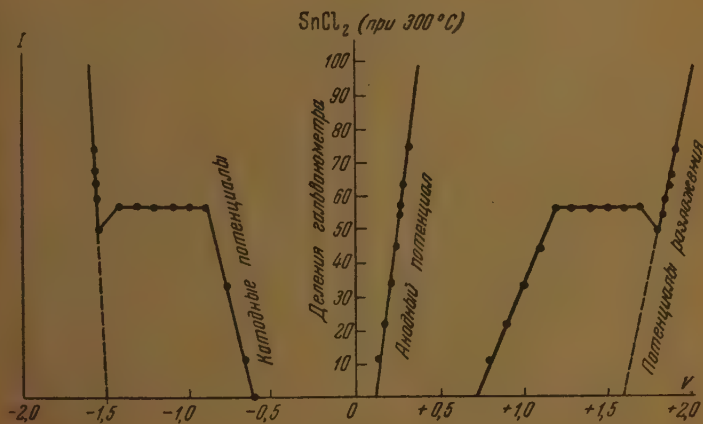


Рис.

Во всех исследованных нами системах потенциал анода сохраняет примерно одинаковую величину, которая при 300°C в среднем достигает значения порядка $0,35\text{ V}$. Максимальное отклонение от этой средней величины анодного потенциала составляет $0,09\text{ V}$. Таким образом активность ионов хлора в исследованных нами системах не сильно изменяется при переходе от одного расплавленного электролита к другому. Этого и следовало ожидать, учитывая сравнительно небольшое и одинаковое содержание исследуемых хлоридов в электролите, который состоит из AlCl_3 и NaCl . Активность ионов хлора, очевидно, в основном определяется содержанием его в двойной системе $\text{AlCl}_3\text{—NaCl}$, исследованной нами в качестве растворителя.

Температурный коэффициент потенциала анода довольно велик. Потенциал хлора во всех исследованных нами электролитах с повышением температуры уменьшается (становится более отрицательным).

Электродные потенциалы металлов обнаруживают различную зависимость от температуры. Для большинства металлов с увеличением температуры электродный потенциал становится более положительным. Однако в некоторых случаях, например, для кобальта и никеля электродные потенциалы с повышением температуры становятся несколько более отрицательными. Это возможно связано со склонностью этих металлов (никеля и кобальта) к пассивации, которая уменьшается с повышением температуры.

Поскольку в данном исследовании применялись меры для уменьшения деполаризации (разделение электродных пространств, игольчатые электроды, длительный электролиз, предварительное хлорирование графитовых анодов), полученные нами величины электродных потенциалов можно рассматривать как весьма близкие к равновесным.

На основании полученных нами величин электродных потенциалов можно составить ряд напряжений металлов (в расплавленном хлористом алюминии — хлористом натрии как растворителе): Al , Tl , Mn , Zn , Cd , Sn , Pb , Co , Cu , Ag , Sb , Bi , Ni .

Этот электрохимический ряд напряжений металлов, установленный на основании таких величин электродных потенциалов, можно считать более достоверным по сравнению с ранее полученными рядами в аналогичных растворителях.

Выводы

1. В настоящей работе исследованы потенциалы разложения, электродвижущие силы поляризации, отдельные потенциалы катода и анода по отношению к платиновому электроду сравнения в температурном интервале $300\text{—}500^{\circ}\text{C}$. Также получены $I\text{—}V$ кривые, характеризующие катодный и анодный процессы.

2. Отмечено наличие двух потенциалов для хлорида кадмия и олова. При исследовании отдельных электродных потенциалов найдено, что вторые потенциалы для этих хлоридов связаны с катодными процессами.

3. Потенциал анода сохраняет примерно одинаковую величину. Это говорит о том, что активность ионов хлора в основном определяется содержанием его в растворителе ($\text{AlCl}_3\text{—NaCl}$). С повышением температуры потенциал хлора становится более отрицательным, а электродные потенциалы металлов становятся более положительными, за исключением кобальта и никеля, электродные потенциалы которых становятся более отрицательными. Это возможно связано со склонностью этих металлов к пассивации, которая уменьшается с повышением температуры.

ЛИТЕРАТУРА

- З. А. Плотников и Н. С. Фортунатов, Легк. метал., **7**, 24, 1932.
З. А. Плотников и П. Т. Калита, Журн. Русск. физ.-хим. о-ва, **62**, 195, 1930.
З. А. Плотников, Н. Н. Грацианский и Н. С. Фортунатов, Укр. хим. журн., **6**, 33, 1931.
З. А. Плотников и Н. С. Фортунатов, Зап. Ін-ту хімії АН УРСР, **7**, 159, 1940.
А. Н. Крягова, Журн. общ. химии, **9**, 2061, 1939.
А. Н. Крягова, Журн. прикл. химии, **21**, 561, 1948.
З. А. Избекови Н. Г. Човнык, Зап. Ін-ту хімії АН УРСР, **4**, 57, 1937.
J. Intema and E. Marschall, Journ. Phys. Chem., **46**, 344, 353, 1942.
О. К. Делимарский, Е. М. Скобцы и Л. С. Беренблюм, Журн. физ. химии, **22**, 1108, 1948.
У. Н. Шварцман, Журн. физ. химии, **14**, 253, 1940.
О. К. Делимарский и Е. М. Скобцы, Журн. физ. химии, **20**, 1005, 1946.
Л. В. Карначев, Журн. физ. химии, **13**, 397, 1939.

КИНЕТИКА РЕАКЦИИ ФОТОХЛОРИРОВАНИЯ БЕНЗОЛА

В. А. Шушнов, Г. М. Стронгин, Ю. И. Грызгин
и А. В. Куканов

Реакция бензола с хлором может протекать в двух направлениях. Хлор способен замещать водород в бензольном кольце или присоединяться, превращая двойные связи в ординарные. Реакция замещения приводит к образованию различных галоидзамещенных бензола, а реакция присоединения — к образованию галоидзамещенных циклогексана.

При фотохимической реакции хлорирования бензола легко присоединяются шесть атомов хлора и при этом образуется гексахлорциклогексан. До последнего времени не было опубликовано работ, посвященных исследованию кинетики реакции фотохлорирования бензола при облучении

реагирующей смеси мощным хроматическим светом. Наша работа посвящена этому вопросу.

Методика эксперимента

Исходные вещества. Для исследования реакции фотосинтеза гексахлорциклогексана мы пользовались тщательно очищенным от примесей бензолом и хлором заводского производства.

Использованная аппаратура и порядок проведения опыта. Для исследования кинетики фотохлорирования бензола применялась установка, схема которой изображена на рис. 1.

Хлор из баллона через колбу 1, заполненную стеклянными кольцами и концентрированной H_2SO_4 , реометр 2, капилляр 7 поступал в колбочку реакционного сосуда 8, наполненную бензолом. Газ между

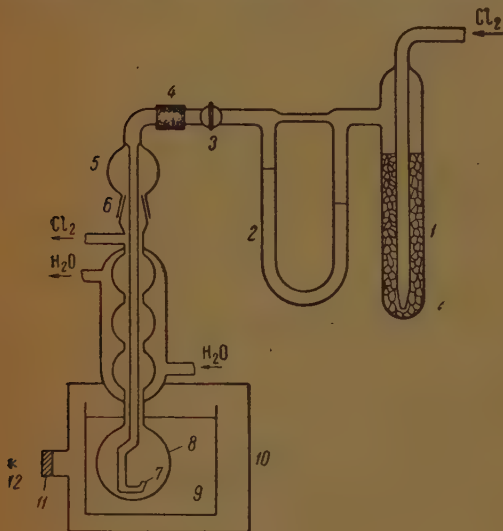


Рис. 1

колбы пузырьками поступал в бензол, растворялся в нем до насыщения, при этом избыток хлора выводился наружу через специальное отверстие в реакционном сосуде. Колбочка реакционного сосуда припаяна к обратному шариковому холодильнику, в котором конденсировались пары бензола.

Реакционный сосуд при помощи шлифа 6 соединялся с его крышкой 5, которая имела впаянный капилляр 7. С целью предотвращения проникновения постороннего света в реакционный сосуд (за исключением колбочки) были обклеены металлической фольгой.

Заполненная бензолом колбочка реакционного сосуда погружалась в жидкостный термостат 9. Последний помещался в ящик 10, имеющий в рабочем состоянии только одно открытое отверстие, в которое вставлена колба жидкостного светового фильтра 11.

В качестве источника света мы использовали ртутную дугу и при помощи светового фильтра выделяли радиацию с длиной волны $\lambda = 4360 \text{ \AA}$.

Световым фильтром нам служила стеклянная цилиндрическая колба диаметром 5 см. Она имела плоско-параллельные стенки, расположенные одна от другой на расстоянии 1 см.

Кювета заполнялась раствором следующего состава: родамин β — $7,5 \cdot 10^{-3}$ г; окисный хинин — 2 г; нормальная H_2SO_4 —6 мл; дистиллированная вода — 94 мл. Такой светофильтр пропускает 38% интенсивности ртутной линии 4360 Å и следы 4060 и 3660 Å [1].

Скорость пропускания хлора измерялась при помощи реометра 2. Она во всех случаях была равна 3 л/час. Для каждого опыта мы заливали в реакционный сосуд бензол, которого было вполне достаточно для заполнения всего объема колбочки. При проведении опыта соблюдалась следующая последовательность. Собрав установку, как показано на рис. 1, и заполнив колбочку бензолом, 10 мин. в темноте пропущив хлор через бензол. За это время бензол успевал принять температуру термостата.

После этого, не прекращая пропускания хлора через C_6H_6 , мы включали ртутную лампу и одновременно с этим замечали время, которое считали началом реакции. Через определенный промежуток времени источник света выключался и прекращалось пропускание хлора через бензол. Этот момент мы считали концом реакции.

Затем при помощи каучуковой трубки 4 отделяли реакционный сосуд с крышкой от водоструйного насоса в течение 20 мин. продували воздух через бензол-раствор хлора и гексахлорциклогексана. За это время хлор практически полностью выдувался из раствора.

После этого из реакционного сосуда вынимали капилляр 7 и выливали бензол-раствор в колбу. Промыв горячим бензолом реакционный сосуд и капилляр, мы выли этот раствор в ту же колбу. Откачив бензол под вакуумом при температуре -35°C , взвешивали остаток. Анализ показал, что этот остаток содержит около 6 гексахлорциклогексана и 5% маслообразных веществ.

Результаты и обсуждение эксперимента

При отсутствии освещения мы не наблюдали образования гексахлорциклогексана. При исследовании кинетики реакции было обнаружено, что фотохлорирование бензола протекает с ускорением. В течение некоторого времени скорость реакции очень мала (период индукции), затем она растет сначала медленно, а потом быстрее. Достигнув максимума, она начинает уменьшаться в результате понижения концентрации исходных продуктов реакции.

На рис. 2 приведены начальные отрезки кинетических кривых, которые показывают каталитический характер реакции. По абсцисс этого рисунка мы откладывали время в минутах, а по оси ординат — весовые проценты образовавшегося продукта по отношению к весу взятого бензола. Наличие периода индукции некоторые исследователи объясняют присутствием небольших концентраций кислорода в реагирующей смеси [2, 3].

Ю. Н. Везобразов и А. В. Молчанов [4] с целью выяснения тормозящего действия кислорода на реакцию фотохлорирования бензола учили зависимость скорости реакции от содержания воздуха в хлоре. Оказалось, что добавки 20 объемн. % воздуха к хлору уменьшают скорость реакции в 1,5 раза, а 40% — в 2 раза.

В наших опытах концентрация кислорода в бензолном растворе хлора должна быть ничтожно малой, так как перед каждым опытом мы в течение 10 мин. продували через бензол раствор хлора. В результате такой операции парциальное давление кислорода над бензолом становилось весьма малым, что должно способствовать сильному падению его концентрации в жидком бензоле. Это видно из того, что шестикратное увеличение времени продувания хлора приводило к заметному повышению скорости реакции. Если же мы

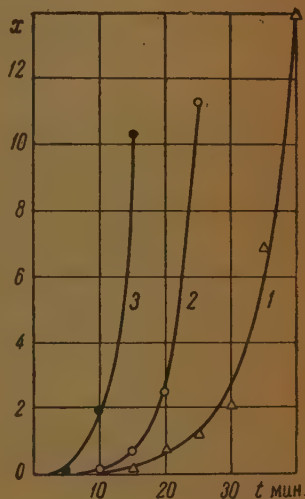


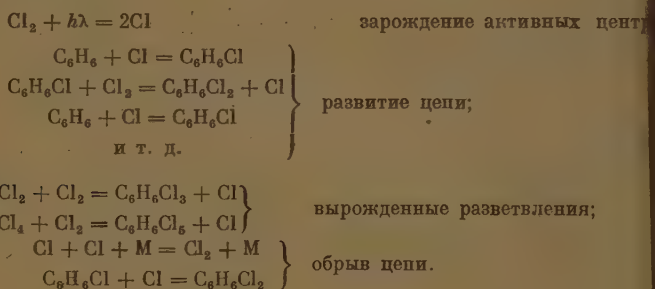
Рис. 2. Кинетика фотохлорирования бензола. Кривые 1, 2 и 3 сняты при 25, 35 и 45°C соответственно

продували хлор через бензол меньше 5 мин., то скорость реакции понизилась хотя мало, но все же в заметной степени.

Таким образом можно считать установленным, что кислород действует угнетающим образом на реакцию фотохлорирования бензола, но не в такой сильной степени, как это предполагалось раньше [3].

Автокатализ реакции фотохлорирования бензола, по нашему мнению, обусловлен не присутствием следов кислорода в растворе, а цепным характером процесса. Это подтверждает следующий опыт [3]. Если в ходе реакции прекратить на длительное время освещение, то вторично реакция начинается также с периодом индукции. Проникновение кислорода в реакционный сосуд за это время исключено, так как кран был закрыт. Если перерыв в освещении мал, то он не сказывается на дальнейшем ходе реакции. Это значит, что во время перерыва облучения гибнут активные центры реакции, а для развития разветвленных цепей требуется время.

Цепной механизм исследованной нами реакции можно представить в виде следующей схемы:



Образование первичных активных центров при фотохлорировании углеводородов происходит в результате фотодиссоциации хлора, как это следует из факта пропорциональности скорости химической реакции квадратному корню из интенсивности света [5].

Присоединение атома хлора к молекуле бензола связано с преодолением энергетического барьера, обусловленного превращением двойной углеродной связи в ординарную. При этом получается новый активный центр $\text{C}_6\text{H}_5\text{Cl}$. Реакция этого активного центра с молекулой хлора приводит к образованию молекулы $\text{C}_6\text{H}_5\text{Cl}_2$ и нового атома хлора. Таким образом в развитии цепей принимают участие 2 активных центра — $\text{C}_6\text{H}_5\text{Cl}$ и $\text{C}_6\text{H}_5\text{Cl}_2$.

Последующее присоединение хлора к молекуле $\text{C}_6\text{H}_5\text{Cl}_2$, по видимому, происходит сравнительно быстро, так как до сих пор не удалось обнаружить промежуточных продуктов $\text{C}_6\text{H}_5\text{Cl}_2$ и $\text{C}_6\text{H}_5\text{Cl}_4$ [6].

Весьма вероятно, что при дальнейшем хлорировании молекул $\text{C}_6\text{H}_5\text{Cl}_2$ и $\text{C}_6\text{H}_5\text{Cl}_4$ могут иметь место вырожденные разветвления, как это указано в приведенной выше схеме.

Если средняя продолжительность жизни θ молекул $\text{C}_6\text{H}_5\text{Cl}_2$ и $\text{C}_6\text{H}_5\text{Cl}$ имеет величину порядка нескольких десятков секунд, то предложенный механизм позволяет объяснить наблюдавшиеся нами периоды индукции длительностью от 5 до 15 мин. Обрыв цепей происходит на стенках сосуда при тройном соударении атомов, а также при реакции атомов хлора с молекулами промежуточных соединений.

По Н. Н. Семенову [2], количество продукта реакции с вырожденными разветвлениями возрастает со временем по закону:

$$x = Ne^{\frac{\tau\delta-1}{\theta}} = Ne^{\tau\delta}.$$

По данным наших опытов на рис. 3 построены прямые в координатах x и t . Как видно из рисунка, экспериментальные точки расположены близко от прямой. Это говорит о том, что в нашем случае применимо уравнение (1). Из рис. 3 видно также, что значение ϕ растет с температурой. Эта зависимость подтверждает предложенную нами схему разветвления цепи.

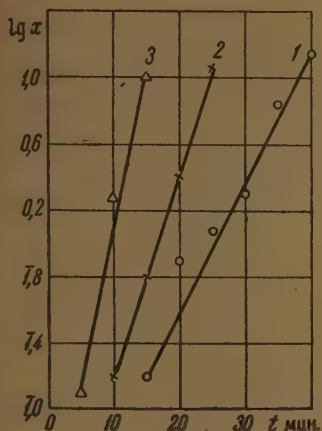


Рис. 3. Зависимость выхода реакции от времени. Прямые 1, 2 и 3 соответствуют температурам 25, 35 и 45°C

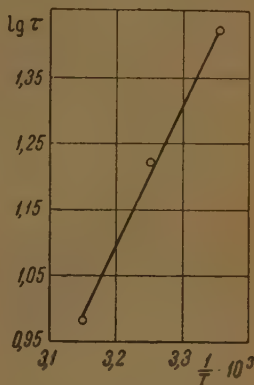


Рис. 4. Зависимость периода индукции от температуры

Приняв условно за период индукции τ — время, в течение которого агрирует 1% бензола, мы построили график зависимости τ от T , считая, что для данного случая справедливо уравнение, предложенное М. Б. Нейном и Л. Н. Егоровым [7]:

$$\tau = ze^{\frac{\gamma}{RT}} \quad (2)$$

На рис. 4 по экспериментальным точкам проведена прямая в координатах $\lg \tau$ и $\frac{1}{T}$, из наклона которой мы вычислили величину γ . Она оказалась равной 10 000 кал/моль.

Предложенный здесь механизм реакции позволил объяснить все наблюдаемые нами экспериментальные факты.

Выводы

1. Разработана методика исследования фотохимической реакции хлорирования бензола.
2. Установлено, что при освещении раствора хлора в бензоле светом длиной волны $\lambda = 4360 \text{ \AA}$ реакция протекает автокаталитически.
3. Из температурного коэффициента периода индукции реакции вычислена величина γ , равная 10 000 кал/моль.
4. Предложен цепной механизм реакции.

ЛИТЕРАТУРА

1. Справочник физ. хим. и технол. величин; Техн. энциклопед., т. 9, стр. 258, ОГИ, 1932.
 2. Н. Н. Семенов, Цепные реакции, Госхимтехиздат, 1934.
 3. R. Luter u. E. Goldberg, Zs. phys. Chem., 56, 44, 1906.
 4. Ю. Н. Безобразов и А. В. Молчанов, Журн. хим. пром., 10, 1946.
 5. K. Müller u. H. Schumacher, Zs. phys. Chem., 35, 285, 455, 1937, 37, 365, 1937.
 6. К. Эллис, Химия углеводородов нефти и их производных ОНТИ, т. 2, стр. 82, 1938.
 7. М. Б. Нейман и Л. Н. Егоров, Журн. физ. химии, 3, 61, 1932.
-

ЭЛЕКТРОВВОССТАНОВЛЕНИЕ В РЯДУ НИТРОБЕНЗОЛ — АНИЛИН

Л. И. Антропов и Н. Т. Ваграмн

Электроввосстановление нитробензола и ряда других ароматических группированных неоднократно служило предметом исследования, и енно при их изучении были найдены основные количественные закономерности в области электроввосстановления органических соединений [1].

Было установлено [2], что электрохимическое восстановление нитробензола в кислых и щелочных растворах протекает по схеме *:



Наблюдения различных авторов показали, что на металлах с высоким перенапряжением (цинк, кадмий и некоторые другие) нитробензол количественно восстанавливается до анилина. На катодах из платины, никеля и железа с низким перенапряжением водорода получается небольшое количество анилина, а основная масса конечных продуктов представляет собой фенилгидроксилламин и продукты его изомеризации и преципации в результате химического взаимодействия с нитро- и нитрозобензолом. Таким образом на катодах из платины, никеля и железа электроввосстановление фенилгидроксилламина протекает медленнее, чем побочные химические реакции, и процесс восстановления практически заканчивается с его получением.

При восстановлении нитробензола на платине опытные данные, полученные Гаутом и Руссом [3], укладываются в уравнение:

$$E = x \frac{RT}{2F} - \frac{I}{4kc_R} - \text{const},$$

E — потенциал электрода, I — сила тока, c_R — концентрация деполаризатора, x — некоторый фактор, больший единицы. При заданном потенциале отношение I/c_R постоянно, т. е. сила тока (скорость электроввосстановления) прямо пропорциональна концентрации нитробензола.

В настоящей работе сообщаются результаты, полученные при исследовании электроввосстановления в ряду нитробензол — анилин на платиновом электроде, в кислой среде и в атмосфере водорода.

Условия проведения опытов

Как показывает рис. 1, прибор для измерения катодного потенциала, применявшийся в настоящей работе, состоит из двух электролизеров: A , служащего для очистки раствора серной кислоты, и B , в котором производится снятие поляризационных кривых. В катодное пространство B электролизера, заполненное водородом и содержащее необходимое количество спирта или спиртового раствора, соответствующего органического соединения, давлением выделяющегося при электролизе водорода передвигается нужный объем серной кислоты, очищенной в электролизере A . Чистка серной кислоты производится в большем отделении a' электролизера A путем шестичасового пропускания тока силой в 0,5 А, причем первые 3 часа платиновая сетка служит анодом, а следующие 3 часа —

* Наиболее обоснованные представления о механизме реакций при электрохимическом восстановлении нитробензола получены в работах В. О. Лукашевича. См., например, Журн. общ. химии, 17, 808, 1947. Редакция

катодом. После поступления серной кислоты в электролизер *B* водород барботирует через католит еще в течение 2 час. Отвод *a''* использовался для определения pH и концентрации кислоты, *b''* — ведет к электро-сравнения.

Перед каждым измерением платиновый катод обрабатывается в отдельном электролизере, наполненном 2 *N* серной кислотой, сначала катодно в течение получаса, а затем столько же анодно. При такой методике в 2 *N* серной кислоте и в спиртово-сернокислотном растворе, насыщенных электролитическим водородом, получались близкие к теоретическим значения равновесного потенциала.

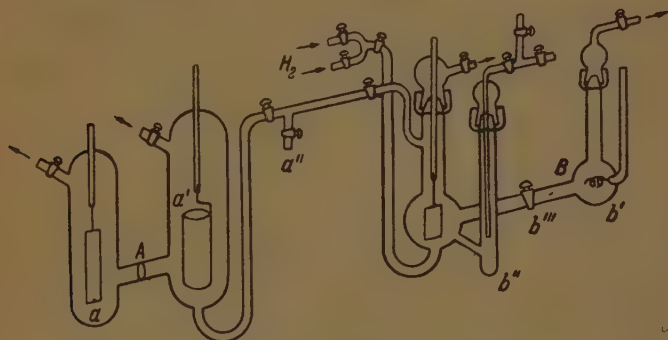


Рис. 1. Прибор для измерения катодного потенциала

Измерения потенциала проводятся против сульфатного электрода $\text{Hg}|\text{Hg}_2\text{SO}_4|2\text{ N H}_2\text{SO}_4$. Во избежание попадания ионов ртути в электролизер между ним и электродом сравнения устанавливаются промежуточные сосуды, соединенные сифонами с двумя запирающими кранами. Разделение катодного и анодного пространства электролизера также осуществляется при помощи крана. Все шлифы и краны смачиваются соответствующими растворами. Прибор помещается в воздушный термостат и измерения производятся при $25 \pm 0,1^\circ \text{C}$.

Измерения потенциала проводились прямым компенсационным методом потенциометром типа Рапса, с зеркальным гальванометром в качестве нуль-инструмента.

До пропускания тока, как правило, измерялся равновесный потенциал в 2 *N* H_2SO_4 при соблюдении указанных условий была получена величина $0,654 \pm 0,005 \text{ V}$ по литературным данным э. д. с. ячейки $\text{Pt}(\text{H}_2)|2\text{ N H}_2\text{SO}_4|\text{Hg}_2\text{SO}_4|\text{Hg}$ составляет 0,680 V. Такая сходимость должна быть признана вполне удовлетворительной.

Введение в раствор нитробензола, нитрозобензола или фенилгидроксиламина вызывало смещение потенциала при отсутствии тока в электроположительную сторону. Наибольшее изменение потенциала было констатировано в случае добавки нитрозобензола. Сдвиг потенциала в общем увеличивается при возрастании концентрации, однако это смещение по своей величине не было достаточно воспроизводимым.

Кривые потенциал — сила тока снимались в направлении возрастания силы тока, причем каждый замер потенциала производился обычно через 2 мин. после включения тока. Изменение концентрации добавки органического соединения вследствие прохождения тока может сказываться только на последних точках кривой, отвечающей минимальной концентрации деполяризатора.

Результаты экспериментов

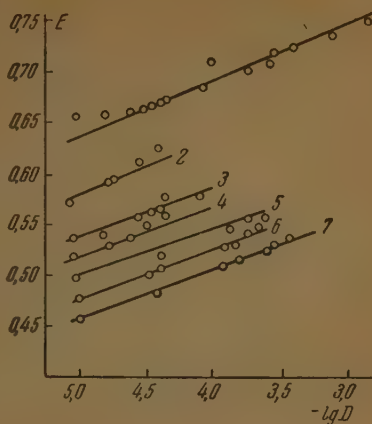
Электровосстановление нитробензола

Нитробензол, так же как и другие органические соединения, вводился в виде спиртового раствора. Были исследованы концентрации в пределах от $1 \cdot 10^{-4}$ до $1 \cdot 10^{-1} \frac{\text{г. моль}}{\text{л}}$.

На рис. 2 представлены результаты поляризационных измерений в ко-

инатах потенциал-логарифм плотности тока для всех исследованных нами концентраций и для основного раствора (верхняя прямая).

Рис. 2. Зависимость потенциала от логарифма плотности тока при восстановлении нитробензола в спиртово-сернокислотном растворе на платиновом катоде. Температура $25 \pm 0,1^\circ \text{C}$; 1 — основной раствор; 2 — основной раствор с добавкой $4,4 \cdot 10^{-2} \frac{\text{г} \cdot \text{моль}}{\text{л}}$ нитробензола; 3 — то же с $1,4 \cdot 10^{-2} \frac{\text{г} \cdot \text{моль}}{\text{л}}$; 4 — то же с $4,4 \cdot 10^{-3} \frac{\text{г} \cdot \text{моль}}{\text{л}}$; 5 — то же с $1,4 \cdot 10^{-3} \frac{\text{г} \cdot \text{моль}}{\text{л}}$; 6 — то же с $2,26 \cdot 10^{-3} \frac{\text{г} \cdot \text{моль}}{\text{л}}$; 7 — то же с $1,4 \cdot 10^{-1} \frac{\text{г} \cdot \text{моль}}{\text{л}}$



Как следует из рис. 2, опытные точки, полученные для основного раствора, укладываются на прямую

$$E = a + b \lg D \quad (1)$$

наклоном $b = 0,06$.

Необходимо отметить, что при недостаточном насыщении системы дорогом и при отсутствии предварительной электрохимической обработки платинового катода получались наклоны от 0,1 до 0,15 V.

Введение нитробензола в области малых токов снижает катодный потенциал, однако опытные точки снова укладываются в полулогарифмические прямые с тем же примерно наклоном. При высоких токах, как и следовало ожидать, наблюдается отклонение (тем раньше, чем меньше концентрация) от прямолинейной зависимости, и значения потенциала тока в растворах, содержащих нитробензол, приближаются к значениям потенциала, полученным в основном растворе.

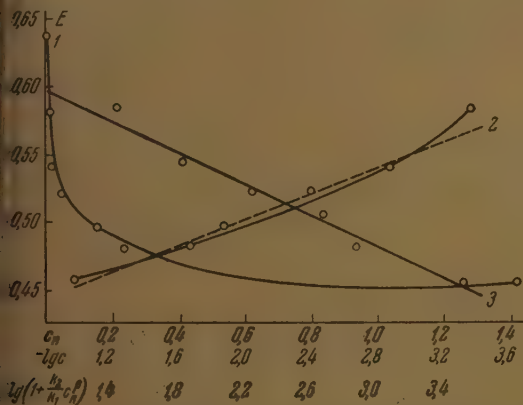


Рис. 3. Зависимость потенциала платинового катода от концентрации нитробензола

$$D = 1 \cdot 10^{-5} \text{ A / cm}^2,$$

$$\frac{k_2}{k_1} 1 \cdot 10^4, \quad \beta = 0,86.$$

$$1 - E - c_R;$$

$$2 - E - \lg c_R;$$

$$3 - E - \lg \left(1 + \frac{k_2}{k_1} c_R^\beta \right)$$

Для прямолинейных участков $E - \lg D$ кривых была вычерчена зависимость потенциала, при заданной силе тока, от концентрации деполя-

ризатора (рис. 3). Если откладывать потенциал E , как функцию логарифма концентрации деполяризатора $\lg c_R$, то получается зависимость, близкая к прямолинейной, однако наклон этой прямой несколько меньше, чем наклон прямых $E - \lg D$. Это указывает на то, что концентрация деполяризатора входит в кинетические уравнения не в первой степени, а в дробной, равной 0,87. На этом основании было рассчитано значение $\frac{k_2}{k_1}$ в уравнении (2)*

$$E = a' + \frac{RT}{2\alpha F} \ln \frac{D}{1 + \frac{k_2}{k_1} c_R^\beta} \quad (2)$$

и построена зависимость $E - \lg(1 + \frac{k_2}{k_1} c_R^\beta)$.

Как следует из рис. 3, в этих координатах все опытные точки располагаются на прямой с наклоном, равным наклону прямых $E - \lg D$. Продолжение прямой до нулевой концентрации дает величину катодного потенциала для основного раствора, которая в пределах нескольких милливольт совпадает со значением, найденным опытным путем.

Электровосстановление нитрозобензола

Так же как и в случае добавок нитробензола, введение нитрозобензола не нарушая при малых токах прямолинейной зависимости между потенциалом и логарифмом плотности тока, в сильной степени смещает потенциал катода в электроположительную сторону (рис. 4). При концентрации

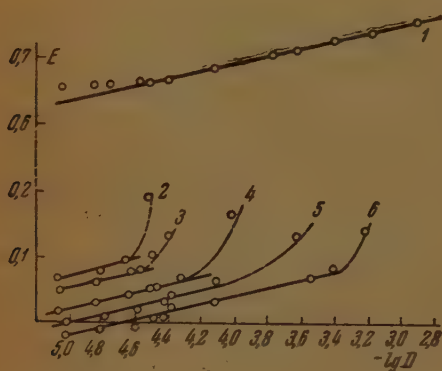


Рис. 4. Зависимость потенциала от логарифма плотности тока при восстановлении нитрозобензола в спиртово-сернохлористом растворе на платиновом катоде. Температура $25 \pm 0,1^\circ \text{C}$; 1 — основной раствор; 2 — основной раствор с добавкой $2,7 \cdot 10^{-5} \frac{\text{г} \cdot \text{моль}}{\text{л}}$ нитрозобензола; 3 — основной раствор $8,0 \cdot 10^{-5} \frac{\text{г} \cdot \text{моль}}{\text{л}}$; — то же с $2,4 \cdot 10^{-4} \frac{\text{г} \cdot \text{моль}}{\text{л}}$; 5 — то же с $3,4 \cdot 10^{-4} \frac{\text{г} \cdot \text{моль}}{\text{л}}$; 6 — то же с $1,2 \cdot 10^{-3} \frac{\text{г} \cdot \text{моль}}{\text{л}}$

$1,2 \cdot 10^{-3} \frac{\text{г} \cdot \text{моль}}{\text{л}}$ это смещение составляет около 0,7 В. Вычерчивание потенциала против логарифма плотности тока дает прямую с наклоном практически не зависящим от концентрации деполяризатора.

Как показывает рис. 5, и в случае электровосстановления нитрозобензола скорость реакции оказывается пропорциональной не c_R , а c_R^2 , причем $\beta = 0,9$ (наклон прямой $E - \lg D$ меньше 0,06).

Значения $\frac{k_1}{k_2}$ уравнения (2), приведенные наряду с другими данными в табл. 1, показывают, что величина $\frac{k_2}{k_1}$ действительно остается постоянной во всем интервале концентраций.

* Вывод уравнения (2) приведен в предшествующей статье [4].

Таблица 1

концентрация H_2NO_2 в мл . .	$4,6 \cdot 10^{-4}$	$1,4 \cdot 10^{-3}$	$4,4 \cdot 10^{-3}$	$1,4 \cdot 10^{-2}$	$2,26 \cdot 10^{-2}$	$1,4 \cdot 10^{-1}$
значения $\frac{k_2}{k_1}$ уравнения (2)	$5,8 \cdot 10^3$	$1,2 \cdot 10^4$	$1,1 \cdot 10^4$	$9,1 \cdot 10^3$	$1,24 \cdot 10^4$	$7,6 \cdot 10^3$
концентрация H_2NO в мл	$2,7 \cdot 10^{-3}$	$8,0 \cdot 10^{-3}$	$2,4 \cdot 10^{-4}$	$3,4 \cdot 10^{-4}$	$1,2 \cdot 10^{-3}$	
значения $\frac{k_1}{k_2}$ уравнения (2)	$3,24 \cdot 10^{13}$	$2,54 \cdot 10^{13}$	$3,09 \cdot 10^{13}$	$3,08 \cdot 10^{13}$	$3,30 \cdot 10^{13}$	
концентрация H_2NHOH в мл . .	$1,4 \cdot 10^{-3}$	$4,54 \cdot 10^{-3}$	$1,4 \cdot 10^{-2}$	$5,5 \cdot 10^{-2}$		
значения $\frac{k_1}{k_2}$ уравнения (5)	$7,17 \cdot 10^4$	$4,3 \cdot 10^5$	$2,2 \cdot 10^5$	$2,0 \cdot 10^5$		

Рис. 5. Зависимость потенциала платинового катода от концентрации нитрозобензола

$$D = 1 \cdot 10^{-5} \text{ А / см}^2,$$

$$\frac{k_2}{k_1} = 3 \cdot 10^{13}, \quad \beta = 0,9$$

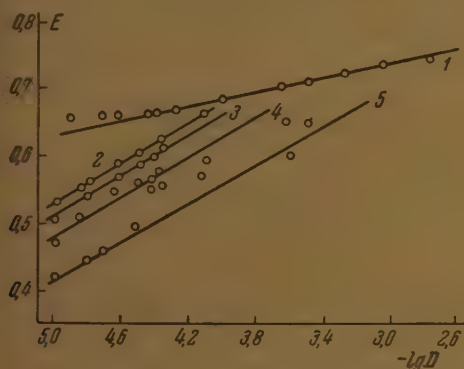
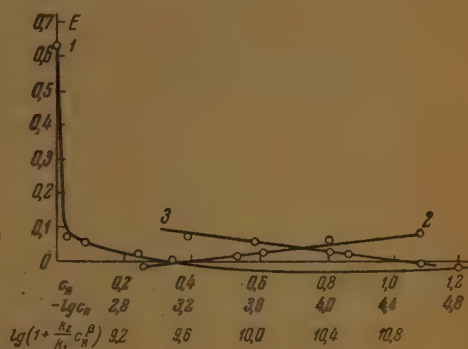


Рис. 6. Зависимость потенциала от логарифма плотности тока при восстановлении фенилгидроксиламина в спиртово-сернокислотном растворе на платиновом катоде. Температура $25 \pm 0,1^\circ \text{C}$; 1 — основной раствор; 2 — основной раствор с добавкой $1,4 \cdot 10^{-3}$ г-моль/л фенилгидроксиламина; 3 — то же с $4,54 \cdot 10^{-3}$ г-моль/л; 4 — то же с $1,4 \cdot 10^{-2}$ г-моль/л; 5 — то же с $5,5 \cdot 10^{-2}$ г-моль/л.

Данные измерений удовлетворяют уравнению (2): они попадают на одну прямую, экстраполяция которой до нулевой концентрации дает истинное значение потенциала катода в основном растворе; наклон этой прямой совпадает с наклоном полулогарифмической зависимости между потенциалом и плотностью тока, описывающей данные поляризационных измерений, полученные для основного раствора.

Электровосстановление фенилгидроксиламина

Фенилгидроксипламин, введенный в основной раствор, оказывает деполаризующее действие и подвергается электровосстановлению на катоде из гладкой платины. Однако в отличие от нитрозо- и нитробензола присутствие фенилгидроксиламина увеличивает наклон полугогарифмических прямых. Для исследованных нами растворов, где концентрация фенилгидроксиламина изменялась в пределах от $1,4 \cdot 10^{-3}$ до $5,5 \cdot 10^{-2} \frac{\text{г} \cdot \text{моль}}{\text{л}}$, наклон прямых $E - \lg D$ оказался равным 0,13, т. е. в 1, 2 раза большим, чем для основного раствора (рис. 6).

При нанесении потенциала катода, как функции логарифма концентрации фенилгидроксиламина или как функции $\lg \left(1 + \frac{k_2}{k_1} c_R\right)$ с различными значениями $\frac{k_1}{k_2}$ и β , не получается прямолинейной зависимости (рис. 7).

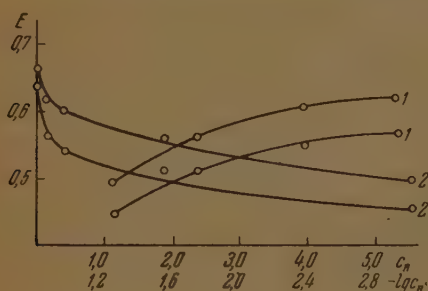


Рис. 7. Зависимость потенциала платинового катода от концентрации фенилгидроксиламина при двух плотностях тока

Очевидно, что для описания электровосстановления фенилгидроксиламина нельзя использовать уравнение (2).

С целью выяснения влияния анилина, образующегося в качестве одного из конечных продуктов электровосстановления, были сняты кривые катодный потенциал — сила тока при различных концентрациях анилина. Выяснилось, что введение анилина почти не сказывается на потенциале платинового катода.

Обсуждение полученных результатов

На основании проведенных измерений можно сделать следующие заключения, часть из которых является подтверждением выводов более ранних исследований. Нитробензол, нитрозобензол и фенилгидроксипламин оказывают деполаризующее действие на потенциал платинового (водородного) электрода как при отсутствии тока, так и при его катодной поляризации. Деполаризующее действие возрастает в ряду: фенилгидроксиламин, нитробензол, нитрозобензол.

Сила тока при заданном потенциале, по крайней мере, в случае двух из трех исследованных добавок, оказывается пропорциональной концентрации органического соединения в дробной степени β ; для нитрозобензола $\beta = 0,87$, для нитробензола $\beta = 0,9$, что согласуется с гетерогенно-каталитическим характером изученных реакций.

Деполаризующее действие нитро- и нитрозобензола не зависит от плотности тока (потенциала катода) до значений плотностей тока, близких к предельным, где деполаризующее действие становится меньшим вследствие уменьшения доли тока, идущей на восстановление. При электровосстановлении фенилгидроксиламина наблюдается повышение наклона

ных $E - \lg D$, по сравнению с основным раствором; иными словами, фенилгидроксилламин оказывается более эффективным деполаризатором в области малых токов, малых катодных потенциалов.

Уменьшение влияния фенилгидроксилламина с ростом потенциала не может быть связано с замедленностью диффузии, так как оно проявляется в плотностях тока, весьма удаленных от предельного тока. Помимо этого, все точки, вплоть до тех, для которых заметно сказывается концентрационная поляризация, укладываются на одну прямую без каких-либо изломов или перегибов.

Это явление, повидимому, может быть истолковано при учете влияния потенциала на процесс электровосстановления, причем объяснение может быть дано как при допущении замедленности рекомбинации и гидрировании адсорбированными водородными атомами, так и при допущении замедленности разряда и гидрировании активированными в анодном слое ионами водорода.

В первом случае необходимо сделать предположение об изменении поверхностной концентрации фенилгидроксилламина при изменении потенциала, т. е. учесть влияние потенциала катода на адсорбцию на границе раздела электрод/раствор.

Для простоты предположим, что $f(E)$ в уравнении (9) предыдущего сообщения имеет вид

$$f(E) = -\gamma \frac{FE}{RT}, \quad (3)$$

тогда из уравнений для токов, идущих на рекомбинацию i_1 и восстановления i_2 :

$$i_1 = k_1 c_{\text{H}}^{2\alpha}, \quad i_2 = k_2 c_{\text{H}}^{2\alpha} c_{\text{R}}' e^{-\gamma \frac{FE}{RT}}, \quad (4)$$

формулы Нернста для водородного электрода получаем следующее выражение, связывающее потенциал катода, силу тока и концентрацию деполаризатора:

$$E = \text{const} + \frac{RT}{2\alpha F} \ln i - \frac{RT}{2\alpha F} \ln \left(1 + \frac{k_2}{k_1} c_{\text{R}} e^{-\gamma \frac{FE}{RT}} \right). \quad (5)$$

Допуская, что почти весь ток идет на восстановление, приходим к уравнению (6)

$$E = a' + \frac{RT}{(2\alpha - \gamma) F} \ln i - \frac{RT}{(2\alpha - \gamma) F} \ln \frac{k_2}{k_1} c_{\text{R}}. \quad (6)$$

Если $\gamma \neq 0$, то наклон полулогарифмических прямых должен быть больше в присутствии восстанавливаемого органического соединения — фенилгидроксилламина, чем в основном растворе.

При $\gamma = 0$ наклон в обоих случаях совпадает, как это имело место при восстановлении нитро- и нитрозобензола.

Если полагать, что восстановление идет за счет ионного водорода, то зависимость, подобная (5), получается в предположении различного влияния потенциала на процесс разряда ионов водорода и на процесс гидрирования.

Исходя из уравнений для частных токов:

$$i = k_1 c_{\text{H}^+}^{\alpha_1} e^{\alpha_1 \frac{FE}{RT}}; \quad i_2 = k_2 c_{\text{H}^+}^{2\alpha_1} c_{\text{R}} e^{\alpha_1 \frac{FE}{RT}}, \quad (7)$$

получаем

$$E = a + \frac{RT}{\alpha_1 F} \ln i - \frac{RT}{\alpha_1 F} \ln \left(1 + \frac{k_2}{k_1} c_{\text{H}^+}^{2\alpha_1} c_{\text{R}} e^{\alpha_1 \frac{FE}{RT}} \right), \quad (8)$$

опуская, что почти весь ток идет на электровосстановление, приходим к уравнению:

$$E = a + \frac{RT}{\alpha_2 F} \ln i - \frac{RT}{\alpha_2 F} \ln \left(\frac{k_2}{k_1} c_{H^+} c_R \right),$$

из которого следует, что при $\alpha_2 \neq \alpha_1$ наклон полулогарифмической прямой в присутствии восстанавливаемого органического соединения будет иным, чем в растворе, не содержащем добавки.

Различие в поведении указанных трех соединений, с этой точки зрения, состоит в том, что для нитро- и нитрозобензола изменение катодного потенциала примерно одинаково влияет как на разряд, так и на реакцию восстановления. В случае фенилгидроксиламина этого, повидимому, нет.

Для проверки указанных предположений нами был произведен следующий приближенный расчет.

Из уравнения (6) был найден коэффициент γ и затем по уравнению (9) определено отношение $\frac{k_2}{k_1}$. Расчет может быть произведен также по уравнениям (8) и (9), причем вместо $\frac{k_2}{k_1}$ будет получено произведение $\frac{k_2}{k_1} c_{H^+}$.

Значения $\frac{k_2}{k_1}$ приведены в табл. 1, из которой следует, что эта величина изменяется не очень заметно при значительном изменении концентрации; она может быть сделана более постоянной, если ввести концентрации деполаризатора не в первой степени, а в дробной, мы считали здесь это усложнение излишним. Из среднего значения $\frac{k_2}{k_1}$, принятого равным $10^{5,5}$,

при $\gamma = 0,54$, были подсчитаны значения $\ln \left(1 + \frac{k_2}{k_1} c_R e^{-\gamma \frac{FE}{RT}} \right)$, обозначаемого сокращенно через $\ln z$. При нанесении потенциала против $\ln z$ (рис. 8) все опытные точки укладываются на прямую с наклоном 0,053; продолжение прямой до нулевой концентрации отсекает на оси ординат

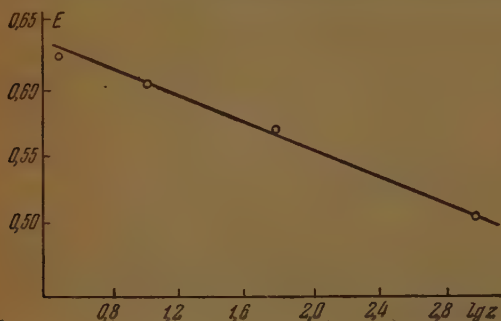


Рис. 8. Проверка применимости уравнения (5) к электровосстановлению фенилгидроксиламина;

$$\frac{k_2}{k_1} = 1 \cdot 10^{5,5}$$

отрезок, равный 0,661 V вместо 0,668 V, найденных экспериментально для основного раствора, не содержащего фенилгидроксиламина *. Учитывая приближенность расчета, такую сходимость можно считать хорошей и предположение о влиянии потенциала на скорость реакции восстановления — обоснованным. Насколько нам известно, это явление в таком виде наблюдается впервые: здесь, в отличие от наблюдавшегося Кольтофом и Барнумом [5] (вытеснения тимолом цистинном, происходит замещение молекул восстанавливаемого органического соединения молекулами растворителя. В дальнейшем предполагается исследовать это явление более

* При расчетах было принято, что в спиртово-сернокислотном растворе потенциал нулевого заряда гладкой платины лежит при +0,284 V по водородной шкале.

робно, пользуясь измерением емкости двойного слоя как меры адсорбции и соответствующими электрокапиллярными кривыми.

Из изложенного экспериментального материала следует, что в качестве меры деполяризующего действия восстанавливаемого органического соединения целесообразно использовать величину $\frac{k_2}{k_1}$, которая дает отношение констант скоростей реакции электровосстановления и наиболее медленной реакции катодного выделения водорода. В тех случаях, когда деполяризующее действие зависит от потенциала, его мерой является извлечение $\frac{k_2}{k_1} e^{-f(E)}$.

В качестве примера приводим значения «меры деполяризующего действия», полученные для исследованных нами соединений при двух различных потенциалах, выраженных в водородной шкале.

Потенциал	Соединение		
	Нитробензол	Нитрозобензол	Фенилгидроксиламин
0,241	$1 \cdot 10^4$	$3 \cdot 10^{13}$	$1 \cdot 10^{4,46}$
0,029	$1 \cdot 10^4$	$3 \cdot 10^{13}$	$1 \cdot 10^{3,14}$

При небольших отклонениях от потенциала нулевого заряда (потенциал нулевого заряда, как указывалось, равен 0,284 V по водородной шкале) фенилгидроксиламин является лучшим деполяризатором, чем нитробензол, однако при больших отклонениях, вследствие отрицательного влияния поля на реакцию гидрирования фенилгидроксиламина, последний оказывается менее эффективным деполяризатором, чем нитробензол.

Электровосстановление нитробензола на платине исследовалось обычно в плотностях тока, соответствующих заметным отклонением от потенциала нулевого заряда, где реакция восстановления фенилгидроксиламина идти не имеет места и последний после его электролитического образования вступает в химическое взаимодействие с нитро- и нитрозобензолом. Это, повидимому, дает объяснение экспериментально установленному факту прекращения электровосстановления нитробензола на платине с образованием фенилгидроксиламина.

Выводы

1. Исследовано электровосстановление нитробензола, нитрозобензола и фенилгидроксиламина в спиртово-сернокислотных растворах на платиновом катоде.
2. Показано, что опытные данные, относящиеся к электровосстановлению нитро- и нитрозобензола, могут быть описаны при помощи уравнений, введенных одним из авторов ранее и не учитывающих влияния поля на реакцию гидрирования.
3. Деполяризующее действие фенилгидроксиламина в значительной степени зависит от потенциала электрода и падает с отклонением от потенциала нулевого заряда гладкой платины. Электровосстановление фенилгидроксиламина может быть истолковано при учете влияния потенциала как при допущении замедленности разряда, так и в предположении медленности молизации. Выбор между этими двумя механизмами может быть сделан на основе исследования зависимости кинетики восстановления от концентрации водородных ионов.
4. В качестве меры деполяризующего действия используется отношение констант скоростей реакции восстановления и реакции выделения водо-

рода. Сравнение значений этих величин для нитробензола, нитрозо-зола и фенилгидроксиламина показывает, что в области потенциалов близких к потенциалу нулевого заряда гладкой платины (малых плотностей тока), указанные соединения по величине их деполяризующего действия располагаются в следующем порядке: нитрозобензол, фенилгидроксиламин, нитробензол.

В области, далекой от потенциала нулевого заряда, этот порядок меняется следующим образом: нитрозобензол, нитробензол, фенилгидроксиламин, причем восстановления фенилгидроксиламина практически не наблюдается.

Академия наук Армянской ССР
Химический институт
Ереван

Поступила
3.XI.1949

ЛИТЕРАТУРА

1. К. Брокман, Электрохимия органических соединений, Изд-во 1937.
 2. F. Haber, Zschr. Elektrochem., **4**, 197, 500, 1898.
F. Haber, C. Schmidt, Zschr. phys. Chem., **32**, 271, 1900.
 3. F. Haber, R. Russ, Zschr. phys. Chem., **47**, 257, 1904.
 4. Л. И. Антропов, Журн. физ. хим. **24**, 1428, 1950.
 5. J. Kolthoff, C. Barnum, Journ. Amer. Chem. Soc., **63**, 520, 1941.
-

О ВЛИЯНИИ pH НА ПРОЦЕСС ЭЛЕКТРОХИМИЧЕСКОГО ГИДРИРОВАНИЯ

Н. Т. Ваграмян и Л. И. Антропов

Процесс электрогидрирования органических веществ является вторичной реакцией, совершающейся за счет катодно выделяющегося водорода, приводящего к гидрированию в той или другой форме. Исследование зависимости потенциала при процессе электрогидрирования от pH раствора ставит поэтому интерес с точки зрения выяснения формы, в которой водород участвует в процессе электрогидрирования.

Хотя существование влияния характера среды на выход, а иногда и природу продуктов электровосстановления не подлежит сомнению [1], до настоящего времени не проводилось количественного изучения зависимости pH при реакциях электровосстановления и величина pH не сопоставлялась с величинами катодных потенциалов*.

В настоящем сообщении излагаются результаты измерений перенапряжения на ртутном и платиновом катодах при электровосстановлении нитробензола в растворах с различной концентрацией водородных ионов.

Аппаратура и методика исследования

Значения pH раствора измерялись до и после проведения каждого опыта. Предельные параллельные измерения с хингидронным и стеклянным электродами показали, что pH во всех исследованных растворах может быть определен при помощи хингидронного электрода и все приводимые далее цифры получены с этим электродом. В выбранной, довольно узкой области плотностей тока (10^{-5} — 10^{-3} А/см²) pH раствора в ходе снятия поляризационной кривой менялось не более чем на 10%, при условии, что на замер каждой точки расходовалось не более 2 мин.

Этиловый спирт освобождался от альдегидов и сивушных масел, нитробензол перегонялся перегонке и кристаллизации, серная кислота очищалась электролитически между платиновыми электродами, все растворы готовились на бидистиллированной воде. Ртуть после обычной химической обработки перегонялась в вакууме. При работе с ртутью конструкция электролизера была несколько изменена (по сравнению с предыдущим сообщением): в катодное пространство электролизера вводилась ртуть, служившая катодом (рис. 1), и производилась дополнительная очистка в самом электролизере. Капля ртути после катодной очистки выводилась из чашечки и выводилась из электролизера. Во всех растворах находился электролит — сернокислотный натрий.

Результаты измерений

Опыты с ртутным катодом

Для ртутного электрода в растворах, насыщенных водородом, не удалось получить воспроизводимых значений потенциала при отсутствии тока. Значения равновесного потенциала определялись поэтому расчетным путем из измеренных значений pH.

На рис. 2 приведена зависимость между потенциалом ртутного катода относительно ртутного сульфатного электрода с потенциалом $0,650 \pm 0,05$ В (водородной шкале) и логарифмом плотности тока при различных значениях pH в спиртово-сернокислотных растворах (50% по объему этилового спирта).

* См., однако, данные Тахи [2] по влиянию pH на потенциал полуволны при электровосстановлении фурфурола.

Опытные точки, за исключением тех, которые относятся к малым токам, где, вероятно, имеет место деполяризация, укладываются на прямую с наклоном $\approx 0,13$, что немного выше наклона, полученного при ве-

точных измерениях З. А. Иофа [3], С. Д. Винной [4] и других. Выпадение верхних точек для раствора с $\text{pH} = 3,6$ может быть отнесено к видимому, за счет увеличения щелочности, вблизи катода при токах порядка мАмпера.

Зависимость между потенциалом и током при заданной силе тока — линейна, наклон прямых составляет 0,115, т. е. перенапряжение растет на 0,056 V при увеличении на единицу; 0,059 V падает на измене-

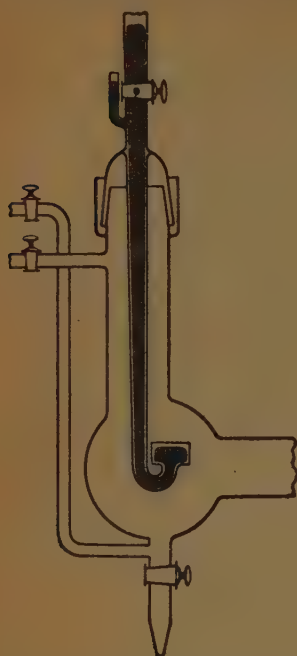


Рис. 1. Эскиз катодной части электролизера при работе с ртутным электродом

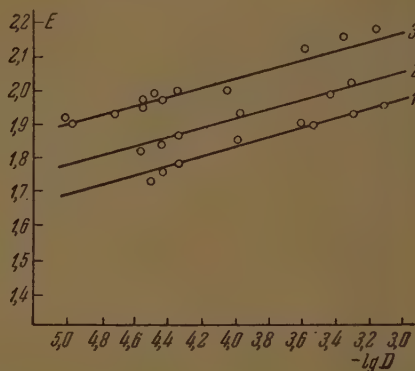


Рис. 2. Зависимость между потенциалом ртутного катода и логарифмом плотности тока в спиртово-серноокислотных растворах с различным pH : 1 — $\text{pH} = 1,7$; 2 — $\text{pH} = 2,5$ и 3 — $\text{pH} = 3,6$

с pH равновесного потенциала. Этот результат весьма хорошо совпадает с данными других авторов и отвечает теории замедленного разряда, предсказывающей увеличение перенапряжения на 0,059 V (при 25° при уменьшении концентрации водородных ионов в десять раз.

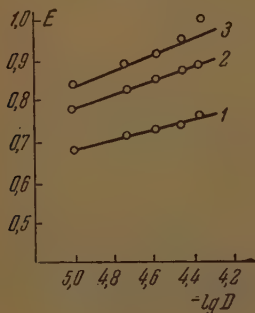
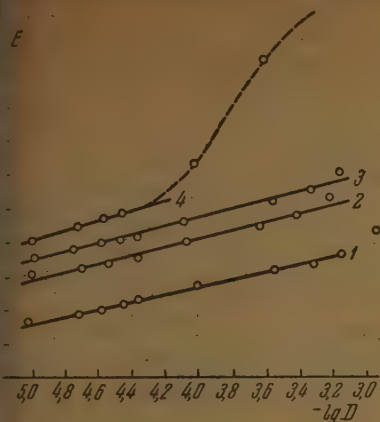


Рис. 3. Зависимость между потенциалом ртутного катода и логарифмом плотности тока в спиртово-серноокислотном растворе, содержащая $5 \cdot 10^{-4}$ г·моль л нитробензола при трех различных pH : 1 — $\text{pH} = 0,3$; 2 — $\text{pH} = 2,0$ и 3 — $\text{pH} = 2,37$

Далее были сняты поляризационные кривые в растворах, содержащих нитробензол.

а рис. 3—5 в полулогарифмических координатах нанесены опытные данные для трех различных концентраций нитробензола. Наклон получающихся прямых колеблется в пределах от 0,105 до 0,130; все



4. Зависимость между потенциалом катода и логарифмом плотности в спиртово-сернокислотном растворе, содержащем $5 \cdot 10^{-3}$ г·моль/л нитробензола различных pH: 1 — pH = 0,62; 2 — pH = 1,65; 3 — pH = 2,33 и 4 — pH = 3,38

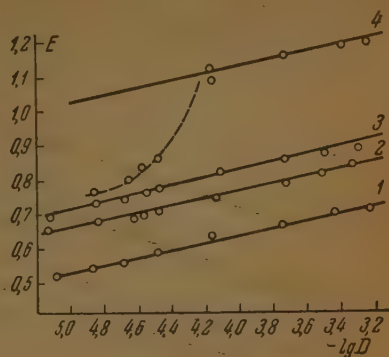


Рис. 5. Зависимость между потенциалом ртутного катода и логарифмом плотности тока в спиртово-сернокислотном растворе, содержащем $5 \cdot 10^{-2}$ г·моль/л нитробензола при различных pH: 1 — pH = 0,76; 2 — pH = 1,75; 3 — pH = 2,4 и 4 — pH = 4,93

мые лежат значительно ниже, чем соответствующие прямые в растворах, не содержащих нитробензола, — наблюдается заметная деполяризация.

Повышение pH приводит к увеличению перенапряжения, причем, так как и в случае растворов серной кислоты, рост pH на единицу увеличивает потенциал на 0,115 V.

Опыты с платиновым катодом

Были сняты кривые потенциал — сила тока в растворах серной кислоты различной концентрации и в спиртово-сернокислотных растворах с разным содержанием серной кислоты и нитробензола. В каждом случае определялись равновесный потенциал и pH раствора. По полученным данным была вычерчена зависимость потенциала электрода (равновесного и под ом) от pH.

На рис. 6 приведена зависимость потенциала электрода от pH раствора; необходимые пояснения даны под рисунком.

Из рис. 6 следует, что в согласии с теорией равновесный потенциал водородного электрода в водных и спиртово-водных растворах серной кислоты линейно зависит от pH, причем в исследованной области наклон прямой отвечает теоретическому и составляет примерно 0,06.

Продолжение прямой до pH = 0 дает $E = 0,655$ V, т. е. потенциал — водородного электрода. Это может служить доказательством достаточно тщательной очистки растворов, водорода и электрода.

В растворах, содержащих нитробензол, также существует линейная зависимость между потенциалом электрода при отсутствии тока и pH раствора, причем, потенциал изменяется на 0,06 V при изменении pH на единицу. Прямая 4 оказывается в то же время сдвинутой относительно прямой 1 в сторону более положительных значений, т. е. за равновесный потенциал водородного электрода.

Потенциал водородного электрода под током в растворах, не содержащих нитробензола, также дает прямую при нанесении его против рН раствора; эта прямолинейная зависимость сохраняет свой вид при различных силах тока (на рисунке приведены прямые 2 и 3, относящиеся к различным плотностям тока). Однако наклон оказывается здесь несколько больше и составляет 0,070—0,075.

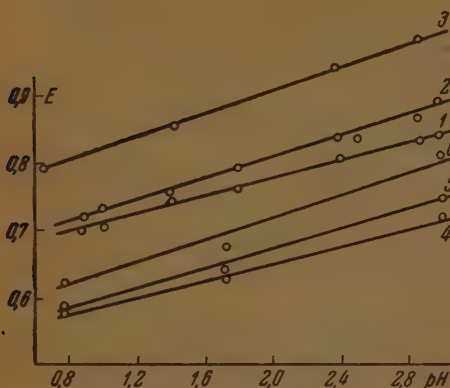


Рис. 6. Зависимость потенциала платинового электрода от рН раствора: 5 — равновесный потенциал — рН; 2 — потенциал электрода под током $1 \cdot 10^{-4}$ А — рН; 3 — потенциал электрода под током $2 \cdot 10^{-3}$ А — рН; 4 — потенциал электрода — рН в растворе, содержащем $2 \cdot 10^{-2}$ г·моль/л нитробензола; 5 и 6 — то же, что 4, но при токе $3 \cdot 10^{-5}$ и $1 \cdot 10^{-4}$ А.

Введение нитробензола, смещая прямую неравновесный потенциал — рН в сторону более положительных значений потенциала, не влияет на наклон, который и в этом случае лежит в пределах 0,070—0,075 (прямые 5 и 6).

Обсуждение результатов

В теории замедленного разряда принимается обычно, что при определенных условиях перенапряжение увеличивается примерно на 0,06 на каждую единицу рН. Однако, как известно, это положение справедливо только в том случае, если коэффициент α в уравнении

$$i = k_1 c_{H^+} e^{\frac{\alpha F \psi}{RT}} e^{-\frac{\zeta F}{RT}}$$

составляет 0,5, т. е. если наклон прямой $\eta = \lg D$ равен 0,12*.

Для любого же α , учитывая, что $\psi = E - \zeta$, получаем соотношение

$$i = k_1 c_{H^+} e^{\frac{\alpha F (E - \zeta)}{RT}} e^{-\frac{\zeta F}{RT}},$$

и если $\zeta = \text{const}$, то

$$E = \text{const} - \frac{RT}{\alpha F} \ln i + \frac{RT}{\alpha F} \ln c_{H^+},$$

но так как

$$E = E_{\text{равн}} + \eta, \quad \text{а} \quad E_{\text{равн}} = \frac{RT}{F} \ln c_{H^+} + \text{const},$$

то

$$\eta = \text{const} + \frac{RT}{\alpha F} \ln i + \frac{RT}{F} \left(\frac{1}{\alpha} - 1 \right) \text{pH},$$

т. е. в зависимости от наклона полулогарифмической прямой i , следовательно, величины α , изменение перенапряжения с рН может быть весьма различным.

* В уравнении (1) ψ — падение потенциала в гельмгольцевской части двойного слоя и ζ — падение потенциала в диффузной части двойного слоя.

На ртутном катоде наклон прямых $\eta = \lg D$ оказался равным приблизительно 0,12, откуда $\alpha = 0,5$ и перенапряжение водорода должно увеличиться на 0,06 В при повышении pH на единицу, что и было нами найдено на опыте.

Как было показано одним из авторов [5], в том случае, когда гидрирование органических соединений совершается за счет ионов водорода, находящихся в двойном слое, скорость реакции, а следовательно, и поляризация должны зависеть от концентрации водородных ионов, причем

$$\eta = a + \frac{RT}{\alpha F} \ln \frac{i}{1 + \frac{k_2}{k_1} c_{H^+} c_R^\beta} + \frac{RT}{F} \left(\frac{1}{\alpha} - 1 \right) \text{pH} \quad (5)$$

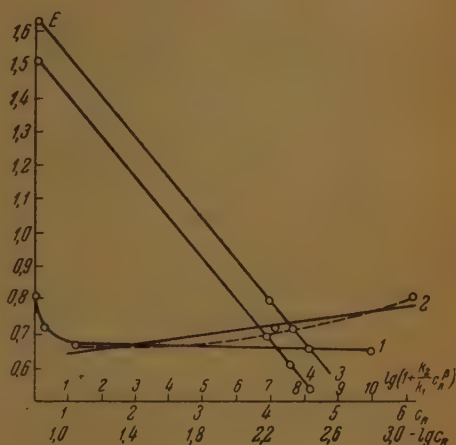
если скорость реакции определяется одновременным присоединением α ионов водорода и

$$\eta = a + \frac{RT}{\alpha F} \ln \frac{i}{1 + \frac{k_2}{k_1} c_R^\beta} + \frac{RT}{F} \left(\frac{1}{\alpha} - 1 \right) \text{pH} \quad (6)$$

если замедленным является присоединение одного иона водорода, а присоединение второго протекает беспрепятственно.

Рис. 7. Зависимость потенциала ртутного катода при заданной силе тока ($1 \cdot 10^{-5}$ А) от концентрации нитробензола.

1 — $E - c_R$; 2 — $E - \lg c_R$; 3 — $E - \lg(1 + 1 \cdot 10^9 c_R^{0,625})$ при pH = 2 и 4 — $E - \lg(1 + 1 \cdot 10^9 c_R^{0,625})$ при pH = 1



Как следует из рис. 7, опытные данные хорошо укладываются в уравнение (6) со значением $\frac{k_2}{k_1}$, равным 10^9 .

Множитель перед концентрацией деполаризатора здесь не зависит от концентрации водородных ионов и величина β составляет 0,625 (на рисунке представлены две прямые, относящиеся к растворам с pH = 1, и с pH = 2).

Применимость уравнения (6) с $\alpha = 0,5$ к электровосстановлению нитробензола совершенно однозначно говорит о том, что здесь, на ртутном катоде, мы имеем дело с ионным гидрированием, а не с гидрированием молекулами водорода, адсорбированными металлом.

Значительно менее определенные заключения можно сделать относительно механизма гидрирования на платиновом катоде. Здесь α , найденный по наклону прямых $\eta - \lg D$, практически не отличается от единицы, что время как по теории замедленного разряда для объяснения наблюдающегося на опыте хода перенапряжения с pH (10—15 мВ на каждую

единицу) величина α должна быть не более 0,8. Однако и по теории медленной рекомбинации, в противоречии с опытными данными, рН так не должно сказываться на перенапряжение водорода.

Можно, повидимому, утверждать, что вообще при наклонах полугарифмических прямых, близких к 0,06, исследование влияния концентрации водородных ионов на катодный потенциал не дает возможности выбора замедленным разрядом и замедленной рекомбинацией. Все полученные результаты говорят скорее о заторможенности рекомбинации, а не разряда.

Действительно, само значение коэффициента $\alpha = 1$ плохо согласуется с теорией замедленного разряда. Для истолкования значения $\alpha = 1$ приходится принимать, что потенциальная кривая адсорбированного атома водорода пересекает потенциальную кривую иона водорода в нижней, расположенной у минимума и почти горизонтальной части, что физически мало вероятно.

С другой стороны, учет дипольного характера связи $\text{Me} - \text{H}$, при известных допущениях, приводит к некоторой зависимости перенапряжения от рН и в рамках теории замедленной рекомбинации. По данным А. Н. Фрумкина и А. И. Шлыгина [6], величина $\frac{\mu}{d} N^*$ составляет 0,4

и изменение рН на единицу должно изменять перенапряжение на 0,16-0,059=0,01 V (10 mV), что лежит довольно близко к опытной величине. Это приводит к заключению, что при электровосстановлении нитробензола, где наблюдается такая же зависимость перенапряжения от рН, гидрирование совершается за счет адсорбированных атомов водорода.

Косвенным доказательством такого предположения о механизме гидрирования могут служить наши наблюдения над изменением потенциала катода в зависимости от силы тока и концентрации нитробензола.

При выполнении настоящей работы, как уже отмечалось ранее, удалось найти не только величину деполаризации, но и оценить величину «поляризации» при процессе электровосстановления, замерив «равновесный» потенциал водородного электрода в присутствии различных количеств нитробензола. Этот потенциал не является собственно равновесным, а должен рассматриваться, вследствие известной способности нитробензола восстанавливаться в присутствии платины, скорее, как стационарный потенциал, отсюда и применение термина «поляризация» для обозначения разности потенциала под током и стационарного потенциала в отсутствии тока также несколько условно.

На рис. 8 представлена зависимость определенной таким образом поляризации от концентрации нитробензола при трех различных токах. Поляризация растет с увеличением концентрации нитробензола вначале довольно быстро, а затем, медленнее, стремясь к некоторому предельному значению. Рост поляризации тем заметнее, чем выше сила тока; так, при $i = 1 \cdot 10^{-5}$ А поляризация в присутствии 0,02 мл нитробензола превосходит поляризацию в чистом спиртово-серноуксусном растворе на 4—5 mV, а при токе $1 \cdot 10^{-4}$ А — уже на 25—28 mV. Так как потенциалы электрода во всех случаях более отрицательны, чем потенциал нулевого заряда платины, это не может быть истолковано как результат отравляющего действия адсорбции нитробензола, увеличивающейся при возрастании тока (потенциала).

Увеличение поляризации с ростом концентрации нитробензола и сила тока может быть понято, если учесть, что скорость реакции восстановления конечна. При отсутствии внешнего тока, когда запас водорода не пополняется током, нитробензол имеет возможность заметно сместить потенциал электрода в положительную сторону, связывая адсорбированный на элект-

* μ — дипольный момент связи $\text{Me} - \text{H}$, d — толщина двойного слоя и N — число Авогадро.

те водород за счет реакции гидрирования, катализируемой платиной. смещение равновесного потенциала должно быть тем больше, чем выше концентрация нитробензола. При поляризации же электрода током нитробензол не успевает связывать весь выделяющийся водород, известная из которого — тем большая, чем выше сила тока — остается на электроде и сдвигает потенциал в отрицательную сторону. Таким образом введение нитробензола должно оказывать большее деполяризующее действие на равновесный потенциал, чем на потенциал электрода под током, т. е.

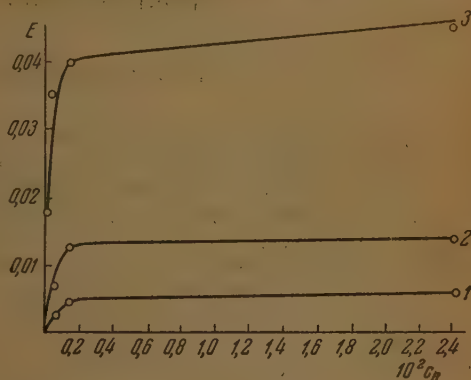


Рис. 8. Зависимость поляризации от концентрации нитробензола при различных токах: 1 — $i = 1 \cdot 10^{-5}$ А; 2 — $i = 3 \cdot 10^{-5}$ А и 3 — $i = 1 \cdot 10^{-4}$ А

поляризация возрастает с увеличением концентрации нитробензола. Это явление может, очевидно, служить лишним доказательством в пользу предположения об участии адсорбированных электродом атомов водорода в процессе электрогидрирования на платине.

Выводы

1. Исследована зависимость перенапряжения от pH раствора при выделении водорода и электрогидрировании нитробензола на ртутном и платиновом катодах в области малых токов ($1 \cdot 10^{-5}$ — $1 \cdot 10^{-3}$ А).
2. На основании полученных результатов сделано заключение о том, что на ртутном катоде процесс восстановления совершается за счет ионов водорода, находящихся в двойном слое, а на платиновом катоде имеет место гидрирование атомами водорода, адсорбированными на электроде.

Академия наук Армянской ССР
Химический институт
Ереван

Поступила
3.XI.1949

ЛИТЕРАТУРА

- К. Брокман, Электрохимия органич. соединений, 1937; A. Winkel, G. Groske, Ber., 113, 785, 1938.
Tachi, Bull. Agr. Chem. Soc. Japan, 14, 1371, 1933.
З. А. Иофа, Acta Phys. Chim. URSS, 10, 903, 1935.
С. Д. Левина и В. А. Зарипский, Журн. физ. химии, 9, 941, 1937.
Л. И. Антропов, Журн. физ. хим. 24, 1428, 1950.
А. Н. Фрумкин и А. И. Шлыгин, Изв. АН СССР, серия хим., 773, 1937.

О ПРИРОДЕ МОЛЕКУЛЯРНО-ПОЛИМОРФНЫХ ПРЕВРАЩЕНИЙ В ЖИДКОСТЯХ

С. С. Уразовский

В предыдущих работах были описаны новые явления, свидетельствующие о существовании каких-то превращений, протекающих в жидких средах. Речь шла о найденных нами особенностях в температурной зависимости поверхностного натяжения [1, 2] и показателя преломления света [3] в жидкостях. Эти особенности связывались нами с существованием молекулярно-полиморфных превращений, протекающих и в жидких фазах, поскольку особые точки на кривых упомянутых зависимостей совпадали с температурами соответствующих кристалло-полиморфных превращений.

Своеобразный характер этих явлений, необычайность самого факта существования их в жидких фазах, т. е. там, где до сего времени совершенно исключались какие бы то ни было структурные превращения, обязывали нас к крайней осторожности в их толковании и выводах. Поэтому установив факты существования этих превращений в жидкостях, мы ограничились лишь предварительными суждениями о их загадочной природе, не затрагивая ни молекулярного механизма исследуемых явлений, ни глубокого термодинамического анализа их.

В связи с дальнейшим накоплением экспериментального материала в области упомянутых явлений и, в особенности с открытием новых феноменов — аномалий в температурной зависимости теплоемкости в жидкостях — мы сочли уместным вернуться к анализу природы исследуемых превращений на базе более убедительных фактов.

Поскольку задачей настоящего исследования является теоретический анализ природы упомянутых превращений в жидкостях, мы не приводим здесь подробного описания нового экспериментального материала. Здесь мы коснемся лишь основных результатов соответствующих исследований, поскольку они окажутся необходимыми.

Обращаясь прежде всего к анализу температурной зависимости поверхностного натяжения, рассмотрим типичные для этого случая кривые, представленные на рис. 1 и 2, где на оси ординат отложены величины, пропорциональные поверхностному натяжению Δh , т. е. высоты капиллярного поднятия данной жидкости.

Отмечая принципиальное сходство в характере этих кривых, равно как и других, ранее опубликованных, мы находим в них следующие заслуживающие внимания особенности.

Во-первых, на участках кривых, примыкающих к точкам перелома со стороны низких температур, наблюдается довольно резкое падение с возрастающей крутизной, иногда приближающейся к вертикали относительно оси температур.

Во-вторых, вправо от точек перелома имеются в различной мере выраженные горизонтальные участки кривых.

В-третьих, вне аномальной области ход кривых в основном сохраняет свой характер на протяжении всего исследованного участка, не претерпевая ни сбросов, ни существенных изменений в своем направлении.

Рассмотрим детально отмеченные особенности.

1. Резкое падение поверхностного натяжения вблизи точек перелома свидетельствует о столь же резком уменьшении межмолекулярных сил сцепления, прогрессивно убывающих с температурой. Такой характер температурной зависимости имеет большое сходство с теоретической кривой зависимости степени упоря-

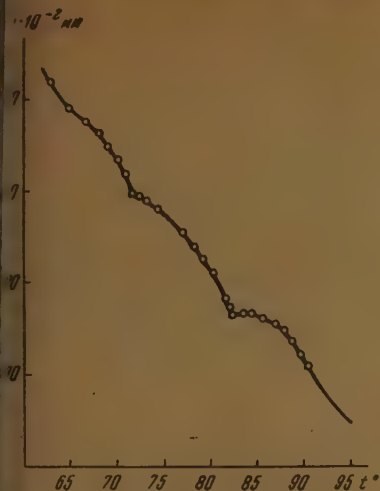


Рис. 1. Зависимость поверхностного натяжения от температуры для ацетамиды

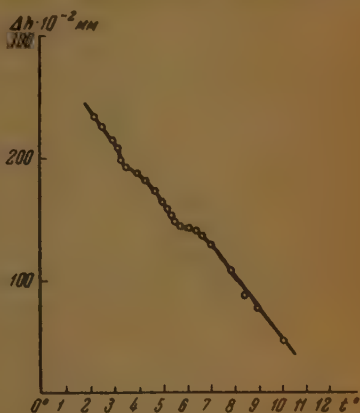


Рис. 2. Зависимость поверхностного натяжения от температуры для бензола

чения от температуры $\xi'(T)$ в кристаллах вблизи критической температуры упорядочения или так называемой «точки Кюри».

На основании отмеченного сходства мы склонны усматривать и в данном случае, для жидкостей, резкое уменьшение степени порядка, обычно связанное с изменением симметрии во внутренней структуре фазы.

2. Вторая особенность — наличие на $\Delta h - t$ кривых горизонтальных участков, примыкающих к точкам перелома со стороны высоких температур и свидетельствующих об обращении в нуль производной $\frac{\partial \gamma}{\partial T}$ в указанном интервале, уже частично рассматривалась [1, 2]. Исследуем теперь, при каких условиях в смысле внутреннего состояния жидкой фазы должно наступить это явление.

Рассматривая поверхностное натяжение жидкости как свободную энергию ее поверхности, отнесенную к единице площади, полное термодинамическое выражение его можно представить в следующем виде:

$$\gamma = \epsilon_s - T\eta_s,$$

где ϵ_s и η_s — соответственно поверхностная энергия и поверхностная энтропия жидкости.

Далее, так как

$$\frac{\partial \gamma}{\partial T} = -\eta_s;$$

следовательно:

$$\gamma = \epsilon_s + T \frac{\partial \gamma}{\partial T},$$

т. е. поверхностное натяжение можно рассматривать как сумму двух членов, из которых первый ϵ_s можно считать независимым от температуры,

если пренебречь небольшими изменениями в связи с тепловым расширением жидкости.

Таким образом температурная зависимость поверхностного натяжения определяется, следовательно, вторым членом, который назовем энтропийным или «кинетическим», чтобы подчеркнуть его связь с характером тепловых движения частиц, в отличие от первого члена «потенциального» характеризующего лишь силы взаимного сцепления.

В таком представлении поставленная задача сводится к нахождению условий, при которых «кинетический» член поверхностного натяжения становится равным нулю. Эти условия можно, например, найти, если выразить поверхностную энтропию через частоты поверхностных (капиллярных) и объемных колебаний, как это делает Я. И. Френкель [5] исходя из представлений о структуре свободной поверхности жидкости развитых Л. М. Мандельштамом [6]. По этой теории свободной поверхности жидкости соответствует особая форма теплового движения, которую можно трактовать как результат суперпозиции капиллярных волн всевозможных направлений и длин. Сочетая с представлениями Дебая об упругих волнах, суперпозицией которых осуществляется тепловое движение в объеме твердых (и до некоторой степени жидких) тел, Я. И. Френкель выводит следующее выражение для поверхностной энтропии:

$$\eta_s = n' k \ln \frac{\bar{v}}{\bar{v}'},$$

где n' — число частиц, приходящихся на единицу поверхности, отождествленное с числом степеней свободы нормальных колебаний, осуществляющихся в форме капиллярных волн, k — константа Больцмана, а \bar{v} и \bar{v}' — соответственно средние частоты объемных и поверхностных колебаний.

Подставляя это выражение в первоначальную формулу для поверхностного натяжения, получим

$$\gamma = \epsilon_s - n' k T \ln \frac{\bar{v}}{\bar{v}'};$$

откуда нетрудно видеть, что искомым условием независимости поверхностного натяжения от температуры для рассматриваемого участка кривой является равенство

$$\bar{v} = \bar{v}',$$

что, повидимому, может наступить только при полном совпадении симметрии объемной и поверхностной фазы.

«Кинетический» член поверхностного натяжения может быть выражен и в тепловых единицах:

$$-T \frac{\partial \gamma}{\partial T} = q_s.$$

Тогда ему придается смысл скрытой теплоты поверхности, а полная поверхностная энергия тогда представится, как состоящая из свободной и связанной поверхностной энергии:

$$\epsilon_s = \gamma + q_s.$$

Поскольку же при $\frac{\partial \gamma}{\partial T} = 0$ и $q_s = 0$, то оказывается, что в температурных интервалах, соответствующих горизонтальным участкам Δh — кривых, вся поверхностная энергия является свободной энергией, и, следовательно, процессы изотермического образования новой поверхности протекают без тепловой компенсации со стороны окружающей среды, т. е. целиком обратимо. Следовательно, молекулы, поступающие для образования новой поверхности, движутся к ней свободно, не испытывая избыточного торможения со стороны молекул внутренней фазы, не умень-

и своей кинетической энергии, что опять-таки может наступить лишь в условиях выравнивания различий в структуре поверхностных и внутренних фаз, когда характер движения молекул в них становится практически одинаковым.

3. Третья особенность $\Delta h - t$ кривых — сохранение их направления обе стороны аномального участка — прежде всего свидетельствует о том, что полная поверхностная энергия жидкости вне упомянутого аномального интервала остается почти постоянной. Очевидно, что и общая энергия (или теплосодержание) жидкости при переходе через аномальный интервал также не должна резко изменяться.

Последнее обстоятельство указывает на то, что фазы, разделенные аномальными интервалами, должны быть термодинамически весьма близкими; а в соответствии с этим и взаимные превращения их должны протекать почти без изменения (в конечном счете) энергии, т. е. без теплового эффекта.

Таким образом исследуемые превращения в жидкой фазе по своей природе таковы, что не затрагивают макроскопических свойств системы, сказываются лишь на микроструктуре фаз; точнее, на их характере симметрии. Действительно, по всем рассмотренным выше признакам исследуемые превращения не сопровождаются прерывным изменением термодинамических величин, определяющих состояние системы. Не должны прерывно изменяться также объем и давление. Однако производные по температуре, судя по характеру температурной зависимости поверхностного натяжения и показателя преломления, связанных с плотностью, значит, и с объемом вещества, должны при этом превращении претерпеть излом.

Обобщая все описанные особенности исследуемых превращений, не трудно видеть в них характерные черты своеобразных явлений, известных под названием фазовых превращений II рода. Это поразительное сходство, которым мы склонны считать более чем с внешним признаком, побуждает нас к глубокому обобщениям в области молекулярно-полиморфных превращений и фазовых превращений II рода. Несмотря на то что подобные до сих пор были известны только для кристаллических тел, в основе их мы склонны усматривать явления, общие по своей природе для некристаллических фаз.

Прежде чем развивать и обосновывать свои идеи о природе молекулярно-полиморфных превращений, как о фазовых превращениях II рода, мы сочли необходимым получить к тому более убедительные прямые экспериментальные доказательства. С этой целью мы обратились к методу, бывшему уже классическим в этих случаях — к определению температурной зависимости теплоемкости полиморфных веществ в тех же температурных интервалах, в которых были установлены описанные выше аномалии поверхностного натяжения и показателя преломления света.

В результате тщательных и многократных измерений, подробно описанных в другом месте [4], мы получили $C_p - t$ кривые, о характере которых можно судить по приведенной на рис. 3 кривой теплоемкости для монохлоруксусной кислоты в жидком и переохлажденно-жидком состоянии.

Приведенная иллюстрация красноречиво свидетельствует о наличии в них аномалий на $C_p - t$ кривых, расположенных в тех же температурных областях, что и ранее описанные аномалии для поверхностного натяжения. Замечательно, что по виду эти аномальные участки, выраженные часто очень резкими λ -образными максимумами, совершенно тождественны тем, которые обычно получаются для кристаллических тел в случае фазовых превращений II рода.

Таким образом типичный характер обнаруженных нами аномалий в температурной зависимости теплоемкостей полиморфных веществ в области переохлажденно-жидкого состояния не оставляет сомнения в том, что и

явления, ответственные за их происхождение, имеют ту же природу, что и фазовые превращения II рода. Следовательно, можно считать установленным, что изучаемые нами процессы молекулярно-полиморфных превращений в жидкостях, лежащие в основе соответствующих им монокристалло-полиморфных переходов, протекают, по крайней мере формально, подобно фазовым превращениям II рода в кристаллах.

Не ограничиваясь установлением формального характера исследуемых процессов, мы сочли необходимым попытаться установить молекулярный механизм их в свете ранее развитых обобщений. Эта попытка нам казалась тем более уместной потому, что вокруг физических представлений о фазовых превращениях II рода даже в более простых случаях — в кристаллах, возникло немало противоречивых суждений как в части

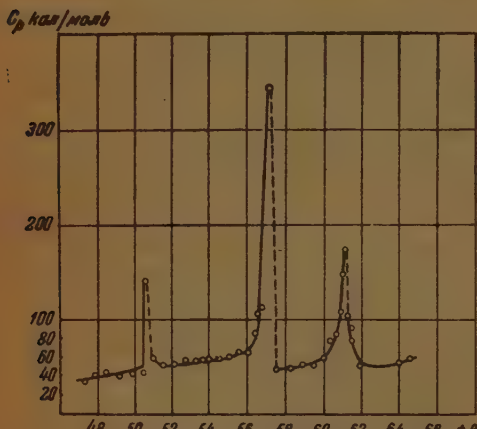


Рис. 3. Зависимость молекулярной теплоемкости от температуры для переохлажденно-жидкой монохлоруксусной кислоты

общей оценки внутренней природы меняющихся фаз (Л. Д. Ландау [7] и В. Семенченко [8]), так и в части молекулярно-структурных представлений (Я. Френкель [5], Паулинг [9] и Фаулер [10]).

Не останавливаясь на работе этих противоречий, мы считаем, что в значительной мере они могут быть сняты нашей трактовкой природы фазовых превращений II рода на базе более общих представлений о молекулярно-полиморфных превращениях.

Основываясь на бесспорных фактах совпадения точек фазовых превращений кристаллически-полиморфных модификаций с температу-

рами их фазовых превращений II рода в переохлажденно-жидком состоянии и усматривая в этом, в качестве общей причины, молекулярно-полиморфные превращения, мы считаем, что основной признак исследуемых явлений — изменение симметрии фаз — следует понимать как изменение молекулярных конфигураций, которое, в свою очередь, должно вызывать как энергетическую компенсацию изменение ориентации молекул, создающее в конечном счете новый ближний порядок. Мы особенно подчеркиваем, что изменение симметрии в фазовых превращениях II рода является молекулярным свойством и, следовательно, возможным в любых агрегатных состояниях. Сами же фазовые превращения II рода часто являются по сути — по внутренней природе своей — молекулярно-полиморфными превращениями, независимо от того, происходят ли они в кристаллах или в жидкостях.

Остается теперь рассмотреть конкретный характер различий отдельными модификаций в жидких фазах, т. е. установить, существует ли какое-либо макроскопическое выражение различий симметрии двух взаимно превращающихся молекулярно-полиморфных модификаций в жидком состоянии. Поскольку тождество термодинамических свойств, в случае фазовых превращений II рода, исключает возможность прямого доказательства каких-либо различий в свойствах двух жидких фаз с различной симметрией, т. е. в нашем случае — различия в расплавах двух модификаций монокристалло-полиморфного вещества, мы обратились к косвенным, однако, достаточно убедительным средствам доказательства.

Для решения этой задачи мы воспользовались ранее установленными различия в молекулярных весах (степени ассоциации) отдельных модификаций одного и того же вещества в растворах (например, глиевой кислоты в диоксане [11]). Специальные криоскопические измерения показали, что это различие сохраняется и в том случае, если исследуемые растворы готовить не из кристаллических модификаций, а из их расплавов путем растворения их при температурах, превышающих соответствующие точки плавления.

Эти опыты окончательно убеждают нас в возможности существования молекулярно-полиморфных модификаций в жидких фазах и несколько освещают природу их взаимного превращения.

Суммируя описанные выше исследования, можно считать установленным, что расплавы различных монотропно-молиморфных модификаций, испытывающие молекулярно-полиморфные превращения, протекающие термодинамической классификации аналогично фазовым превращениям рода, оставаясь термодинамически весьма близкими, обнаруживают же какое-то микроструктурное различие, проявляющееся в их «кинетическом» поведении — активности в растворах. Это различие, по видимому, должно состоять в том, что в β -фазе, например, в отличие от α -фазы молекулы пребывают в такой конфигурации (очевидно в σ -дис-форме для исследованных нами монозамещенных уксусной кислоты) и соответственно так взаимно ориентированы, что при переходе в раствор, чтобы разорвать свою структуру, они вынуждены попарно ассоциироваться. Такое допущение, кажущееся на первый взгляд маловероятным за привычных представлений об энергетике изолированных молекул, действительно не способных к существованию в энергетически невыгодных конфигурациях, в действительности оказывается вполне уместным, так как в конденсированных фазах и растворах такие неустойчивые в изолированном виде конфигурации всегда найдут способ стабилизироваться, компенсируя свою неустойчивость за счет окружающих молекул путем соответствующей укладки в ассоциаты в жидкостях или сольват-комплексах в активных растворителях*.

В свете приведенных суждений о возможности энергетической компенсации небольших внутримолекулярных смещений силами межмолекулярного взаимодействия становится ясным не только сам факт существования стабильных молекулярных модификаций в конденсированных фазах растворов, но и парадоксальный характер молекулярно-полиморфных превращений, протекающих без скачкообразного изменения термодинамических свойств фаз — без заметного теплового эффекта. Молекулярно-полиморфные превращения (возможно и фазовые превращения II рода вообще) — являются, таким образом, в значительной мере внутренне компенсированными превращениями в отличие от фазовых превращений рода, протекающих с участием в компенсации окружающей среды.

Сами же молекулярно-полиморфные модификации (как фазы), будучи энергетически эквивалентными, являются в таком случае как бы рожденными состояниями, т. е. выражают собою различные микроспособы существования одной и той же системы. Однако молекулярно-полиморфные состояния, в отличие от классически вырожденных систем, являются, как показано нами, различимыми и тем самым принципиально, часто и практически, фиксируемыми.

Что же касается кристаллически-полиморфных разнообразий, которые представляют собой действительно энергетически различные модификации одного и того же вещества, то, по видимому, в силу поляризующего действия векториальных сил дальнего порядка, создающих дополнительное разнообразие в условиях существования молекулярных модификаций, —

* С этой точки зрения становится понятным почти полное отсутствие таутомерных превращений в газовой фазе.

вырождение снимается, и полиморфные разности становятся термодинамически различными.

В заключение мы считаем возможным высказать мысль, что, повидимому, в основе всякого фазового превращения лежат своеобразные молекулярно-полиморфные превращения, задающие ту или иную межмолекулярную ориентацию, в свою очередь, вызывающую изменение элементарных структурных групп вплоть до создания или разрушения структур данного порядка.

В соответствии с этим и явления агрегатных превращений (например, плавление и кристаллизация) представляются нам как неразрывное сочетание двух процессов: 1) молекулярно-полиморфного превращения, локализуемого в рамках структур ближнего порядка и идущего, как мы установили, по закону фазовых превращений II рода, и 2) собственно агрегатного превращения, нарушающего (или создающего) дальний порядок и протекающего по закону фазовых превращений I рода.

Первый протекает в некотором небольшом интервале температур, как процесс прогрессивно-нарастающих изменений, а второй — при строго определенной температуре, расположенной в пределах упомянутого интервала, свидетельствуя о внезапно наступающих некомпенсированных изменениях. Такое «сопровождение» агрегатных превращений фазовыми превращениями II рода, когда последние служат как бы неотъемлемым фоном или подготовительной стадией их, между прочим, подтверждается многочисленными случаями аномалий в термических коэффициентах ряда свойств, обнаруженных различными исследователями вблизи температур плавления и кристаллизации, т. е. с обеих сторон точки агрегатного превращения [12, 13, 14, 15].

Таким образом молекулярно-полиморфные превращения, находящие свое внешнее выражение в фазовых превращениях II рода, мы считаем универсальным и весьма распространенным, однако мало изученным, обычно не замечаемым явлением, отражающим процессы изменчивости многочисленных энергетически эквивалентных состояний, на фоне которых обычные фазовые превращения являются лишь частным случаем, внутренне некомпенсированных, предельно локализованных превращений.

Выводы

1. Рассмотрены и детально проанализированы обнаруженные ранее аномальные явления в температурной зависимости ряда свойств жидкостей (поверхностного натяжения, рефракции и теплоемкости).

2. Проведенный анализ упомянутых аномалий, а также дополнительные криоскопические исследования полиморфных модификаций гликолевой кислоты позволяют установить существование молекулярно-полиморфных превращений в жидких фазах, протекающих по термодинамической классификации как фазовые превращения II рода.

3. Установлено, что различие взаимно превращающихся фаз таит в себе внутримолекулярные изменения, в свою очередь, вызывающих новые межмолекулярные соотношения (например, ассоциацию).

4. Допускается, что энергетически изменения внутри- и межмолекулярных соотношений могут взаимно компенсироваться, чем и объясняется отсутствие тепловых эффектов при фазовых превращениях II рода.

5. Высказано допущение, что в основе всякого фазового превращения лежат своеобразные молекулярно-полиморфные превращения в конечном счете изменяющие структурные группы ближнего.

В свете такого допущения объясняются известные аномалии в температурных коэффициентах ряда свойств вблизи точки плавления.

ЛИТЕРАТУРА

1. С. Уразовский и П. М. Четаев, ДАН СССР, **67**, 101, 1949.
 2. С. Уразовский и П. М. Четаев, Журн. физ. химии, **23**, 1421, 1949.
 3. С. Уразовский и П. М. Четаев, ДАН СССР, **67**, 313, 1949.
 4. С. Уразовский и И. А. Сидоров, ДАН СССР, **70**, 859, 1950.
 5. И. П. Френкель, Кинетическая теория жидкостей, изд. АН СССР, 1945.
 6. Л. М. Мандельштам, Ann. d. Phys., **41**, 609, 1913.
 7. Л. Д. Ландау и Е. П. Лифшиц, Статистическая физика, ОНТИ, 1938.
 8. К. Семенченко, Журн. физ. химии, **21**, 1461, 1947.
 9. Pauling, Phys. Rev., **36**, 430, 1930.
 10. Fowler, Proc. Roy. Soc., A **149**, 1; **151**, 1, 1935.
 11. С. Уразовский и Е. А. Коган, Журн. физ. химии, **24**, 63, 1950.
 12. Ф. Гачковский и П. Г. Стрелков, Sow. Phys., **12**, 58, 1937.
 13. Ubbelohde, Trans. Farad. Soc., **34**, 292, 1938.
 14. Eyring, Trans. Farad. Soc., **24**, 162, 1928.
 15. М. Бартенев, Журн. физ. химии, **24**, 1016, 1950; **23**, 1075 1949 и др.
-

К ТЕОРИИ СПЛОШНОГО СПЕКТРА МЕТАНА И СХОДНЫХ МОЛЕКУЛ

М. А. Ковнер и Ш. Е. Цимринг

Несмотря на то, что метану посвящены многочисленные теоретические и экспериментальные исследования, до сих пор электронный спектр мало изучен. Дункан и Гове [1] нашли, что в области 850—1450 Å спектр поглощения метана является чисто сплошным и объяснили это высоким значением первого потенциала возбуждения молекулы.

При поглощении радиации электрон возбуждается настолько, что рвет возможность поддержания химической связи, и наступает диссоциация. Это предположение находится в хорошем согласии с данными Грота [2], установившего, что в шумановской области происходит реакция $\text{CH}_4 + h\nu \rightarrow \text{CH}_3 + \text{H}$. Дункан и Гове указывают, что аналогичными свойствами обладают и другие молекулы с тетраэдрической симметрией, частности, GeH_4 , $\text{Pb}(\text{CH}_3)_4$, CCl_4 и др. Однако исследование Дункана и Гове выполнено лишь для ограниченной области длин волн, и не исключается возможность наличия колебательной структуры в области коротких волн. Кроме того, отсутствуют данные по распределению интенсивности в найденном сплошном спектре.

В настоящей работе предпринята попытка расчета электронных уровней метана на основе метода валентных структур квантовой химии.

Электронные уровни

Представлениями группы симметрии T_d являются линейные комбинации функций, соответствующих двадцати валентным структурам, из которых линейно независимы лишь четырнадцать. Пользуясь этими линейными комбинациями [3] и вычисляя матричные элементы обычным методом «островов», получим вековое уравнение, определяющее электронные энергетические уровни метана; в силу симметрии последнее распадается на следующие уравнения:

$$(\Gamma_1) \begin{vmatrix} x+4\alpha-3(\beta+\gamma)-6\delta & \frac{3}{4}x+3\alpha-\frac{9}{2}(\beta+\gamma) & 3x+12\alpha-\frac{27}{2}(\beta+\gamma)-9\delta \\ \frac{3}{4}x+3\alpha-\frac{9}{2}(\beta+\gamma) & \frac{9}{2}x-9\alpha-18(\beta+\gamma)+9\delta & \frac{9}{2}x+9\alpha-\frac{63}{2}(\beta+\gamma)+18\delta \\ 3x+12\alpha-\frac{27}{2}(\beta+\gamma)-9\delta & \frac{9}{2}x+9\alpha-\frac{63}{2}(\beta+\gamma)+18\delta & \frac{27}{2}x+36\alpha-72(\beta+\gamma) \end{vmatrix} = 0$$

$$(\Gamma_2) \frac{1}{2}x - \alpha + 5(\beta + \gamma) - 5\delta = 0;$$

$$(\Gamma_3) \frac{1}{2}x - \alpha - (\beta + \gamma) - \delta = 0 \quad (\text{двухкратно});$$

$$(\Gamma_3) x - (\beta + \gamma) - 6\delta = 0 \quad (\text{двухкратно});$$

$$(\Gamma_4) \frac{1}{2}x - (\beta + \gamma) - 2\delta = 0 \quad (\text{трехкратно});$$

$$(\Gamma_5) \frac{1}{2}x - \alpha - (\beta + \gamma) - \delta = 0 \quad (\text{трехкратно}),$$

$\epsilon = Q - W$; Q — полная кулоновская энергия молекулы, W — ее пол-энергия; α и δ — обменные интегралы соответственно спаренных и а-ренных электронов атома С и атомов Н; β — обменный интеграл Н; γ — внутриатомный обменный интеграл «гибридизованных» элек-ов атома С. В случае равновесной тетраэдрической конфигурации-рала α и δ , γ могут быть определены элементарным путем:

$$\alpha = \frac{1}{4} N_{ss} + \frac{3}{4} N_{\sigma\sigma} + \frac{\sqrt{3}}{2} N_{\sigma s}; \quad (7)$$

$$\delta = \frac{1}{4} N_{ss} + \frac{1}{12} N_{\sigma\sigma} - \frac{1}{2\sqrt{3}} N_{\sigma s} + \frac{2}{3} N_{\pi\pi}. \quad (8)$$

эграл

$$\gamma = \frac{1}{16} [F_0(2s, 2s) - 2F_0(2s, 2p) + F_0(2p, 2p) + 4G_1 + 28F_2].$$

более точные значения интегралов F и G были найдены в [4]. Тогда 1,15*. При $R_{C-H} = 1,09 \text{ \AA}$ расстояние Н — Н равно 1,78 \AA, п по-дуле (59,12) в [5] $\beta = -0,67$.

Уравнение (1) может быть практически решено лишь при выбранных-енных значениях интегралов типа N . Уравнения (2) — (6) решаются-ентарно.

Правила отбора

Все три компоненты дипольного момента p_x , p_y и p_z преобразуются по-смерному представлению Γ_5 группы T_d . Легко убедиться, что только-водимое представление Γ_1 Γ_5 Γ_5 содержит Γ_1 . Таким образом разре-только переход $\Gamma_1 \rightarrow \Gamma_5$.

Электронно-колебательный переход разрешен, если прямое произведе-вида $D_i = \Gamma_1 \Gamma_5 \Gamma_i \gamma_1^{(v_{1i})} \gamma_{33i}^{(v_{3i})} \gamma_{55i}^{(v_{5i})}$ содержит $\Gamma_1(\gamma_j^{(v_{ji})})$ — приводимое-ставление, по которому преобразуются колебательные функции коле-ия Γ_j с квантовым числом v_{ji} в электронном состоянии i). Пользуясь-мулами А. С. Компанейца [6], легко найти характеры этих представ-ий для дважды и трижды вырожденных колебаний в функции колеба-ьных квантовых чисел, и, разлагая на неприводимые представления-пы T_d , найдем, что разрешены следующие переходы:

$$\begin{aligned} &1 \quad v_{31} \neq 0; \quad v_{51} \neq 0; \\ &2 \quad \begin{cases} v_{32} \neq 0; & v_{52} \neq 0; \\ v_{32} = 0; & v_{52} \neq 0, 1; \end{cases} \\ &3 \quad \begin{cases} v_{33} \neq 0; & v_{53} \neq 0; \\ v_{33} \neq 0; & v_{53} \neq 0, 1; \end{cases} \\ &4 \quad \begin{cases} v_{34} \neq 0; & v_{54} = 0, 1, 2, 3, 4, 5, \dots; \\ v_{34} = 0; & v_{54} \neq 0; \end{cases} \\ &5 \quad \begin{cases} v_{35} \neq 0; & v_{55} = 2, 4, 5, 6, \dots; \\ v_{35} = 0; & v_{55} \neq \text{нечетному числу} \\ v_{35} = 3, 5, 6, \dots; & v_{55} = 3, 5, 6, \dots \end{cases} \end{aligned}$$

В частности, следова-тельно, разрешен чисто-электронный переход.

правил отбора следует, что отсутствие колебательной структуры в-эктронном спектре метана во всяком случае не может быть объяснено

* В работе все энергетические величины выражены в электрон-вольтах.

запретом электронно-колебательных переходов. Как уже отмечалось, переходы, возможно, соответствуют более коротким волнам, не исследованным Дунканом и Гове.

Численные значения и дискуссия

Для расчета энергетических уровней по формулам (1—6) необходимо располагать надежными численными значениями интегралов N_{ss} , $N_{\pi\pi}$ и $N_{\sigma\sigma}$. Задача является более сложной в сравнении с расчетами молекул с π -связями, где единственный обменный интеграл α определяет из спектроскопических данных.

Пенни [7], исследовавший дважды вырожденные колебания в метане, пользовался значениями интегралов N_{ss} , $N_{\pi\pi}$, найденными из спектра O_2 . Очевидно, что это неправильно, так как равновесные расстояния в O_2 и CH_4 равны соответственно 0,97 и 1,09 Å, а волновые функции s - p -электронов в атомах O и C существенно различаются по параметрам экранирования. По этой же причине интегралы, найденные Джемсом Кулидикем для H_2O , также не могут быть использованы в расчете CH_4 . Следовательно, предложенное Пенни значение интеграла N_{ss} , вычисленное при помощи упомянутых значений N_{ss} и $N_{\pi\pi}$, также недостоверно. Кроме того, расчет Пенни вообще является неправильным, так как в его формуле для δV ошибочно отброшен член, содержащий $\left(\frac{\partial M}{\partial x}\right)_0$ и не равный нулю. Помимо набора значений интегралов, данного Пенни, известен еще набор Ван-Флека: $N_{ss} = -2$; $N_{\sigma\sigma} = -2,3$; $N_{\pi\pi} = 0,6$; $N_{\sigma\sigma} = -1$. Способ определения этих значений также не свободен от возражений, связанных хотя бы с переопенкой ван-Флемом энергии возбуждения атома C в валаентное состояние. Однако ими можно воспользоваться для приближенной оценки длин волн. Именно, из формул (1—6) получаем

$$\lambda_{\Gamma_1 \rightarrow \Gamma_1} = 1034 \text{ Å}; \lambda_{\Gamma_1 \rightarrow \Gamma_2} = 959 \text{ Å}; \lambda_{\Gamma_1 \rightarrow \Gamma_3} = 924 \text{ Å};$$

$$\lambda_{\Gamma_1 \rightarrow \Gamma_4} = 649 \text{ Å}; \lambda_{\Gamma_1 \rightarrow \Gamma_5} = 510 \text{ Å}; \lambda_{\Gamma_1 \rightarrow \Gamma_6} = 480 \text{ Å}, \lambda_{\Gamma_1 \rightarrow \Gamma_7} = 650 \text{ Å}.$$

При других значениях N , естественно, получились бы другие значения. Однако область спектра сохраняется, как показывают наши вычисления со многими другими наборами разумных значений N , и совпадает с той областью, в которой Дункан и Гове наблюдали континуум.

Уровни Γ_3 , Γ_4 , Γ_5 являются вырожденными, и в этих состояниях тетраэдрическая конфигурация молекулы не может быть устойчивой [8], а устойчивая молекула CH_4 не может иметь другой конфигурации. Поэтому поглощение света должно сопровождаться диссоциацией молекулы на радикалы, принадлежащие к другим группам симметрии, в частности, как показывает опыт [2], на CH_3 и H. С этой точки зрения, вполне понятно наличие континуума, как общего свойства молекул с тетраэдрической симметрией.

Отметим, что единственный дозволенный чисто электронный переход ведет к отталкивательному состоянию Γ_5 .

В заключение авторы считают своим приятным долгом выразить благодарность проф. В. М. Чулановскому за рекомендацию темы и ценные советы и указания.

Выводы

1. По методу валентных структур вычислены электронные энергетические уровни молекулы метана.
2. Получены правила отбора для электронно-колебательных переходов.
3. Вычислены приближенные значения длин волн для электронных переходов.

Показано, что наличие континуума в ультрафиолетовом спектре на может быть объяснено вырождением возбужденных электронных уровней молекул с тетраэдрической симметрией.

Отмечено, что вычисление обменных интегралов $C-H$, принадлежащее Пенни, является ошибочным.

Государственный университет
им. Чернышевского
Саратов

Поступила
7. II. 1950

ЛИТЕРАТУРА

- В. F. Duncan и J. P. Howe, Journ. Chem. Phys., **2**, 851, 1934.
V. Groth, Zschr. phys. Chem., **B 38**, 366, 1937.
L. Eyring, Frost, Turkevich, Journ. Chem. Phys., **1**, 777, 1933.
W. Ufford, Phys. Rev., **58**, 568, 1938.
Бете, Квантовая механика простейших систем, ОНТИ, 1935, стр. 361.
С. Компанеев, ЖЭТФ, **11**, 1175, 1940.
V. Penney, Trans. Farad. Soc., **81**, 734, 1935.
Л. Д. Ландау и Е. М. Лифшиц, Квантовая механика, ч. 1, 1948, стр. 425.

КВАНТОВАЯ МЕХАНИКА ВЫРОЖДЕННЫХ КОЛЕБАНИЙ МОЛЕКУЛЫ МЕТАНА

М. А. Ковнер и Ш. Е. Цимринг

Энергия основного электронного состояния CH_4 может быть определена по следующей формуле квантовой аддитивной схемы

$$W_0 = Q_0 + 4\alpha_0 - 6\delta_0 - 3\beta_0 + V_0,$$

где Q_0 — полная кулоновская энергия молекулы, α_0 и δ_0 — обменные интегралы соответственно спаренных и неспаренных электронов С и Н, β_0 — обменный интеграл электронов атомов Н и V — энергия возбуждения атома С в валентное состояние, причем индекс нуль указывает на равновесную тетраэдрическую конфигурацию молекулы.

Как показал Ван-Флек, приближение локализованных валентностей является хорошим. Поэтому мы приняли формулу (1) за основу при составлении квантово-механической функции потенциальной энергии молекулы.

Как известно [1], возможны следующие два подхода к проблеме: непосредственное последовательное вычисление динамических коэффициентов по данным квантовой химии или использование известных из опыта значений этих коэффициентов для наиболее точного определения обменных интегралов (с последующим применением последних для расчета динамических коэффициентов других молекул).

При любом из этих подходов необходимо найти зависимость энергии от изменений расстояний С — Н (q_i) и изменений углов между связями НСН (α_{ij})*. Так как зависимость обменных и кулоновских интегралов от расстояний С — Н неизвестна, то мы ограничились лишь вычислением динамических коэффициентов k_α , a и l .

Предварительно остановимся на проблеме так называемого «орбитального увлечения». Возможны два предположения:

- 1) сохраняют свои оси симметрии, направленные к вершинам тетраэдра
- 2) полностью или частично «увлекаются» смещающимися атомами водорода

Первое предположение является традиционным, так как ошибочно предполагалось, что оно необходимо следует из принципа Паули. Между тем, как показано в серии работ [2] Линнетта и Уитлея, принцип Паули допускает вторую возможность. Могут быть построены ортонормированные линейные комбинации $2s$ и $2p$ функций, оси которых смещены по отношению к осям, направленным к вершинам тетраэдра. При таком смещении выигрывается энергия взаимодействия атомов Н и С и проигрывается энергия, связанная с изменением состояния гибридизации. Наиболее энергетически выгодным оказывается частичное смещение оси волновых функций вслед за атомами Н, которое, таким образом, можно охарактеризовать определенным «коэффициентом увлечения». Первое предположение противоречит также инвариантности энергии молекулы по отношению

* Мы сохраняем привычное обозначение для углов α_{ij} . Обменный интеграл с двумя индексами в работе не встречается.

пространственному вращению ее в целом. Мы исходим поэтому из второго предположения.

При смещении атомов водорода из их положений равновесия необходимо учесть энергию дисперсионного взаимодействия между ними, так последняя также сказывается на динамических коэффициентах. Тогда

$$W = \left[\sum_{i=1}^4 Q_i - \frac{1}{2} \left(\sum_{i=1}^4 \alpha_i + \sum_{\substack{i,j=1 \\ i \neq j}}^4 \delta_{ij} \right) \right] + \frac{3}{2} \sum_{i=1}^4 \alpha_i + \\ + \sum_{j>i=1}^4 Q_{ij} - \frac{1}{2} \sum_{j>i=1}^4 \beta_{ij} + \sum_{j>i=1}^4 E_{ij} + V. \quad (2)$$

где Q_i — кулоновские интегралы между Н и С, а Q_{ij} и E_{ij} — соответственно энергии кулоновского и дисперсионного взаимодействия между атомами Н и Н.

Гибридные функции имеют вид:

$$\psi_{\sigma_i} = A_i \psi_{2s} + a_{i1} \psi_{2p_z} + a_{i2} \psi_{2p_y} + a_{i3} \psi_{2p_x}, \quad (3)$$

где

$$\alpha_i = (N_{\sigma\sigma} - N_{\pi\pi}) \sum_{i=1}^4 B_i^2 \cos^2 \varphi_i + 2N_{\sigma\sigma} \sum_{i=1}^4 A_i B_i \cos \varphi_i + N_{ss} + 3N_{\pi\pi}, \quad (4)$$

$B_i = \sqrt{a_{i1}^2 + a_{i2}^2 + a_{i3}^2} = \sqrt{1 - A_i^2}$ и φ_i — угол между мгновенными положениями связи С—Н и оси симметрии гибридной функции ψ_{σ_i} .

Выражение, стоящее в квадратных скобках в (2), обладает сферической симметрией, т. е. зависит только от расстояний С—Н; Q_{ij} и β_{ij} могут быть вычислены по формулам (59, 11) и (59, 12) в [3]. Для вычисления E_{ij} мы воспользовались формулой, предложенной в работе Г. Самойлова и М. Е. Дяткиной [4], предполагая, что в CH_4 поляризуемость атома Н та же, что и в сложных органических соединениях. Конец

$$V = V_0 + \Delta V,$$

$$\Delta V = 2,59 \Delta \mu \quad (5)$$

$\Delta \mu$ — изменение параметра гибридизации, вызванное «орбитальным сжатием» ($\Delta \mu = \mu - \mu_0 = \sum_{i=1}^4 A_i^4 - \frac{1}{4}$). Коэффициент при $\Delta \mu$, равный 2,59, получен при помощи формулы, указанной одним из нас [5], при вычислениях внутриатомных интегралов типа F и G , найденных Уффордом [6].

Было бы желательно выразить W через естественные колебательные координаты и непосредственно сопоставить с формулой для потенциальной энергии метана [7], принадлежащей Б. И. Степанову

$$W = W_0 + \frac{1}{2} k_a \sum_{i=1}^4 q_i^2 + h \sum_{j>i=1}^4 q_i q_j + a \sum_{\substack{4j=1 \\ i \neq j}} q_i \alpha_{ij} + \\ + \frac{1}{2} k_a \sum_{j>i=1}^4 \alpha_{ij}^2 + l \sum_{\substack{i,j,k=1 \\ i \neq j \neq k}}^4 \alpha_{ik} \alpha_{ij}. \quad (6)$$

Однако формула (2) позволяет вычислить W лишь в функции смещения атомов. Но последние трудно выразить через естественные колебательные координаты, а поэтому наиболее удобно найти W в функции координат симметрии для дважды и трижды вырожденных колебаний в отдельности. В свою очередь, естественные колебательные координаты также выражаются через координаты симметрии [7] и, таким образом, открываем возможность сопоставления формулы (2) с формулой (6).

Трижды вырожденные колебания

Координатами симметрии являются величины p и q [7]:

$$\alpha_{12} = \alpha_{34} = p; \quad \alpha_{13} = \alpha_{14} = \alpha_{23} = \alpha_{24} = 0;$$

$$q_1 = q_2 = -q_3 = -q_4 = q.$$

Обозначая угол, на который поворачивается ось каждой гибридной функции вслед за атомом Н через ξ , пользуясь условиями ортонормированности функций (3) и формулой (5), получим

$$\Delta V = 11,67\xi^2,$$

причем использовано также условие того, что в направлениях осей симметрии волновые функции (3) максимальны.

Далее, замечая, что $\varphi_i = \frac{p}{2} - \xi$, разлагая вышеупомянутые выражения для Q_{ij} и β_{ij} из [3] и E_{ij} из [4] в ряды по степеням p и q , правую часть формулы (4) по степеням φ_i и q и члены, входящие в квадратные скобки в (2), — по степеням q , после приведения подобных членов получим

$$\begin{aligned} W_3 = W_0 &+ \left[2 \left(\frac{d^2 Q_i}{dr_{C-H}^2} \right)_{q=0} - \frac{1}{4} \left(\frac{d^2 N_{ss}}{dr_{C-H}^2} \right)_{q=0} + \frac{5}{4} \left(\frac{d^2 N_{\sigma\sigma}}{dr_{C-H}^2} \right)_{q=0} + \right. \\ &+ \frac{3\sqrt{3}}{2} \left(\frac{d^2 N_{s\sigma}}{dr_{C-H}^2} \right)_{q=0} - 2 \left(\frac{d^2 N_{\pi\pi}}{dr_{C-H}^2} \right)_{q=0} + 0,49 \left. \right] q^2 + \\ &+ 0,64pq + \frac{3}{2} \left[3(N_{\sigma\sigma} - N_{\pi\pi}) - \sqrt{3}N_{s\sigma} \right] - \left(\frac{p}{2} - \xi \right)^2 - \\ &- 12\sqrt{3}N_{s\sigma}\xi^2 + 0,612p^2 + 11,67\xi^2. \end{aligned}$$

Значение угла ξ найдем из условия:

$$\frac{\partial W}{\partial \xi} = 0,$$

соблюдающегося при любых p и q . Именно

$$\xi = \kappa_3 \frac{p}{2},$$

где

$$\kappa_3 = \frac{3(N_{\pi\pi} - N_{\sigma\sigma}) - \sqrt{3}N_{s\sigma}}{3(N_{\pi\pi} - N_{\sigma\sigma}) - 9\sqrt{3}N_{s\sigma} + 7,78}.$$

κ_3 является «коэффициентом увлечения», характерным для трижды вырожденных колебаний.

Подставляя (9) в (8) и (7) в (6) и учитывая (10), получим две формулы:

$$V_3 = W_0 + \left\{ \left[2 \left(\frac{d^2 Q_i}{dr_{C-H}^2} \right)_{q=0} - \frac{1}{4} \left(\frac{d^2 N_{ss}}{dr_{C-H}^2} \right)_{q=0} + \frac{5}{4} \left(\frac{d^2 N_{\sigma\sigma}}{dr_{C-H}^2} \right)_{q=0} + \right. \right. \\ \left. \left. + \frac{3\sqrt{3}}{2} \left(\frac{d^2 N_{\sigma\sigma}}{dr_{C-H}^2} \right)_{q=0} - 2 \left(\frac{d^2 N_{\pi\pi}}{dr_{C-H}^2} \right)_{q=0} + 0,49 \right] q^2 + 0,64pq \right\} + \\ + [\kappa_3 (2,9175 - 3\sqrt{3}N_{\sigma\sigma}) + 0,612] p^2; \quad (11)$$

$$W_3 = W_0 + 2(k_q - h)q^2 + 4apq + k_\alpha p^2, \quad (12)$$

опоставления которых определяются $k_q - h$, a и k_α .

Дважды вырожденные колебания

В этом случае условия ортонормировки исключают возможность следования гибридных функций за колеблющимися атомами Н [2]. Если допустить, что орбитальное следование происходит так же, как в случа трижды вырожденных колебаний, то часть энергии, зависящая от ξ , мет вид:

$$W(\xi) = \frac{3}{4} [3(N_{\pi\pi} - N_{\sigma\sigma}) - \sqrt{3}N_{\sigma\sigma}] \left[\left(\frac{p}{2} - \xi \right)^2 + \right. \\ \left. + \left(\frac{p}{2} + \xi \right)^2 \right] - 12\sqrt{3}N_{\sigma\sigma}\xi^2 + 11,67\xi^2.$$

условия $\frac{\partial W(\xi)}{\partial \xi} = 0$ следует, что $\xi = 0$. Таким образом, несмещенные ридизованные функции являются энергетически наиболее выгодными, «коэффициент увлечения» в случае дважды вырожденных колебаний = 0.

Координатами симметрии для дважды вырожденных колебаний являют- [7]

$$q_2 = \alpha_{34} = p; \quad \alpha_{13} = \alpha_{24} = \alpha_{14} = \alpha_{23} = -\frac{p}{2}; \quad q_1 = q_2 = q_3 = q_4 = 0. \quad (13)$$

Из формулы (6) теперь получим

$$W_2 = W_0 + \frac{3}{2} (k_\alpha - 2l) p^2. \quad (14)$$

Из (13) следует, что углы φ_i в (4) равны $\frac{p}{2}$;

$$A_i = \frac{1}{2}; \quad B_i = \frac{\sqrt{3}}{2}.$$

ользуясь (4) и вычисляя Q_{ij} , β_{ij} и E_{ij} в (2), как указано выше, в функ- ни p получим

$$W_2 = W_0 + \left\{ \frac{3}{8} [3(N_{\pi\pi} - N_{\sigma\sigma}) - \sqrt{3}N_{\sigma\sigma}] + 0,428 \right\} p^2. \quad (15)$$

опоставление (15) и (14) позволяет вычислить $k_\alpha - 2l$, и, если k_α опре- елено из формул (11), (12), то отсюда можно найти l в функции инте- ралов N :

$$k_\alpha = \kappa_3 (2,9175 - 3\sqrt{3}N_{\sigma\sigma}) + 0,612, \\ l = \frac{1}{2} k_\alpha - \frac{1}{8} [3(N_{\pi\pi} - N_{\sigma\sigma}) - \sqrt{3}N_{\sigma\sigma}] - 0,143*.$$

* Здесь все энергетические величины выражены в электрон-вольтах. (Для по- учения k_α и l в см⁻² нужно эти выражения умножить на $\frac{1,6 \cdot 10^{-12}}{4\pi^2 m_H c^2 r_{C-H}^2}$.)

Численные результаты и их обсуждение

Все встречающиеся до сих пор в литературе значения интегралов типа N определены из грубо приближенных расчетов совершенно другого характера. Поэтому мы обратимся к определению эффективных значений этих интегралов на основе наших формул и динамических коэффициентов, установленных Б. И. Степановым [7]. Полагая $k_a = 0,7165 \cdot 10^{-6} \text{ см}^{-2}$, $l = 0,039 \cdot 10^6 \text{ см}^{-2}$, найдем из соотношений (11), (12) и (15), (14), что

$$N_{\sigma\sigma} - N_{\pi\pi} = -3,96; \quad N_{ss} = -0,48. \quad (1)$$

В контрольных целях нами был рассмотрен еще случай смещения двух атомов Н на угол $\frac{p}{2}$, при неподвижных других двух атомах Н и $q = 0$. Формула (6) в этом случае примет вид:

$$W_1 = W_0 + \frac{1}{4} \left(\frac{5}{2} k_a - 3l \right) p^2. \quad (17)$$

Предполагая и в этом случае наличие орбитального следования, из формул (2) и (4), получим

$$W_1 = W_0 + \frac{3}{4} [3(N_{\pi\pi} - N_{\sigma\sigma}) - \sqrt{3} N_{ss}] \left[\left(\frac{p}{2} - \xi \right)^2 + \xi^2 \right] - 12\sqrt{3} N_{ss} \xi^2 + 11,67\xi^2 + 0,26p^2, \quad (18)$$

причем в формулу (4) подставлены значения:

$$\varphi_1 = \varphi_2 = \frac{p}{2} - \xi, \quad \varphi_3 = \varphi_4 = \xi.$$

Минимизируя (18) по ξ , найдем, что $\xi = \kappa_1 \cdot \frac{p}{2}$, где $\kappa_1 = \frac{\kappa_3}{2}$. Из формул (12), (14), (17), следует, что

$$4(W_1 - W_0) - (W_2 - W_0) - [(W_3 - W_0) - 2(k_q - h)q^2 - 4apq] = 0. \quad (19)$$

Соотношение (19) соблюдается тождественно, т. е. независимо от численных значений динамических коэффициентов. Легко убедиться, что из формул (11), (15) и (18) следует

$$4(W_1 - W_0) - (W_2 - W_0) - (W_3 - W_0 - f(p_1q)) = 0, \quad (20)$$

где $f(p_1q)$ — выражение в фигурных скобках в (11). Вычисления показали, что (20) соблюдается при любом другом выборе функций Н — Н взаимодействий. Совпадение (19) и (20) является хорошим подтверждением правильности всего метода расчета.

Особо следует остановиться на значении динамического коэффициента a , который из (11), (12) оказывается равным $0,036 \cdot 10^6 \text{ см}^{-2}$, что в 10 раз меньше значения a , найденного в статье Б. И. Степанова [7]. Отчасти это расхождение можно попытаться объяснить наибольшей чувствительностью определяемого из опыта значения a к малым вариациям экспериментальных частот и других динамических коэффициентов, как это хорошо видно из табл. 2 в статье Б. И. Степанова [7]. Но главной причиной этого расхождения следует считать то обстоятельство, что в нашем расчете не учтена зависимость обменных интегралов от расстояний С — Н, как это видно из формулы (4), в которой разность $N_{\sigma\sigma} - N_{\pi\pi}$ вынесена за знак суммы. На этот источник ошибок указано Б. И. Степановым [1] в случае воды, и наш расчет показывает, что эта же ошибка приводит также к недооценке a в случае метана.

В заключение авторы считают своим приятным долгом выразить благодарность проф. Б. И. Степанову за интерес к работе и ценные советы.

Выводы

1. Составлены квантово-химические формулы, выражающие зависимость энергии молекулы метана от координат, характеризующих ее вырожденные колебания.
2. Показано из энергетических соображений, что при трижды вырожденных колебаниях гибридные волновые функции частично следуют колеблющимся атомами водорода, и вычислен «коэффициент увлечения».
3. Найдены квантово-химические формулы для динамических коэффициентов взаимодействия k_α , l и a .
4. При помощи опытных значений k_α и l определены новые эффективные значения интегралов N_{ss} и $N_{ss} - N_{pp}$.

Государственный университет
им. Н. Г. Чернышевского
Саратов

Поступила
7.II.1950

ЛИТЕРАТУРА

1. В. Волькенштейн, М. А. Ельяшевич и Б. И. Степанов, Колебания молекул, т. II, стр. 192.
2. M. Lippett and P. J. Wheatley, Trans. Farad. Soc., 45, 33, 1949.
3. Бете, Квантовая механика простейших систем, ОНТИ, 1935, стр. 261.
4. Г. Самойлов и М. Е. Дяткина, Журн. физ. химии, 22, 1300, 1948.
5. А. Ковнер, Журн. физ. химии, 22, 129, 1948.
6. W. Ufford, Phys. Rev., 53, 568, 1938.
7. И. Степанов, Журн. физ. химии, 7-8, 866, 1941.

ОСОБЕННОСТИ ГОРЕНИЯ СМЕСЕЙ ВОДОРОДА С БРОМОМ

В. И. Кокочавили

С целью экспериментального обоснования ряда вопросов теории горения нам представлялось интересным изучить систему, состоящую из компонентов с сильно отличающимися молекулярными весами. Этим объясняется наш выбор реакции водорода с бромом, механизм которой в настоящее время изучен более полно, чем любой другой сложной реакции.

Реакция водорода с бромом осуществляется при помощи неразветвленных цепей. Молекулы брома и водорода при прямом столкновении не реагируют друг с другом, реакция проходит через посредство атомов брома и водорода. Концентрация атомного брома определяется термодинамическим равновесием с молекулярным бромом. Благодаря этому наблюдаемая суммарная скорость процесса зависит только от концентрации стабильных реагирующих веществ — водорода, брома и бромистого водорода.

После обнаружения нами возможности распространения пламени в смесях водорода с водородом мы исследовали пределы распространения пламени. Известны отличительные особенности горения водородо-воздушных смесей, зависящие от различия молекулярных весов водорода и дейтерия, с одной стороны, и кислорода и азота, — с другой. В смесях водорода с бромом эти явления выражены гораздо резче. Нам удалось наблюдать принципиально новое явление неустойчивости плоского фронта пламени.

В случае смесей брома с водородом нет подобия между полем температуры и полем концентрации. С одной стороны, это не позволило точно рассчитать скорость распространения пламени по хорошо известной нам кинетике этой реакции, а с другой — именно это обстоятельство дало возможность объяснить особенности характера распространения пламени в смесях с избытком водорода и с избытком брома. На примере этой реакции нам удалось проверить общие выводы теории горения, построенной Н. Н. Семеновым и Я. Б. Зельдовичем [1], и объяснить явления специфические для этой реакции.

Методика

Ввиду того что механизм распространения пламени сверху вниз и снизу вверх существенно различен, нами были промерены предельные давления, при которых пламя способно распространяться в обоих направлениях. Наблюдения проводились при красном свете или при полном затемнении рабочей комнаты.

Труба для наблюдений с внутренним диаметром в 5 см и длиной 70 см, снабженная двумя шлифами, на концах имела впаянные молибденовые электроды на равных расстояниях от шлифов. Искровой промежуток между электродами был около 5 мм. Труба была установлена строго вертикально.

Поджигание газовой смеси производилось мощной индукционной катушкой, снабженной прерывателем Венельта.

Другая труба длиной около 2 м, в которой производилось измерение скорости распространения пламени, была соединена посредством широкого крана со стеклянным баллоном емкостью в 80 л, который выполнял роль искусственной «атмосферы». Кран имел отверстие в 20 мм, таким образом он не представлял существенного сопротивления для прохождения газов из трубы в баллон в процессе горения. В баллоне устанавливалось давление воздуха на 1—2 мм меньше, чем в трубе, чтобы по открытии крана воздух из баллона не проникал в трубу с газовой смесью. В этой трубе искровой промежуток помещался на расстоянии 20 см от отверстия крана. Перед поджиганием газовой смеси кран открывался, и труба сообщалась с искусственной «атмосферой», в результате чего система принимала давление, практически равное давлению в баллоне. Труба

да отметки на равных расстояниях, что позволяло в случае медленного распространения пламени измерять скорость распространения при помощи секундомера.

При больших скоростях из-за малой активности пламени применялась следующая методика: на равных расстояниях в трубе помещались последовательно соединенные тонкие вольфрамовые спирали. В цепь включался источник тока и шлейф, чик от которого фиксировался фоторегистром. Во время прохождения пламени сопротивление спиральки резко менялось, что вызывало резкий скачок в записи шлейфом. Нанося на ту же фотобумагу тем или иным способом также шкалу времени на форму фронта пламени, легко подсчитать нормальную скорость распространения пламени.

Пределы распространения пламени вверх и вниз

Исследуя явления распространения пламени, мы нашли, что в богатых бромом смесях предел распространения пламени сверху вниз в открытой трубе вполне удовлетворительно совпадает с пределом в закрытой, значительно до стехиометрического соотношения брома и водорода, и нет существенное расхождение в смесях, богатых бромом.

С целью элиминирования зависимости пределов распространения пламени от мощности искры нами применялась искра очень большой мощности. Увеличение мощности искры вовсе не меняло положение пределов. Поджигание газовой смеси производилось кратковременным включением дуктора в цепь. Пламя, получаемое при поджигании, имело темнокрасный цвет и, в зависимости от соотношения концентрации брома и водорода, распространялось с той или иной скоростью. В зависимости от соотношений газов существенно менялась также и форма пламени.

Изучение пределов распространения пламени сверху вниз показало, что распространение пламени возможно лишь в сравнительно узком интервале концентраций и что область распространения

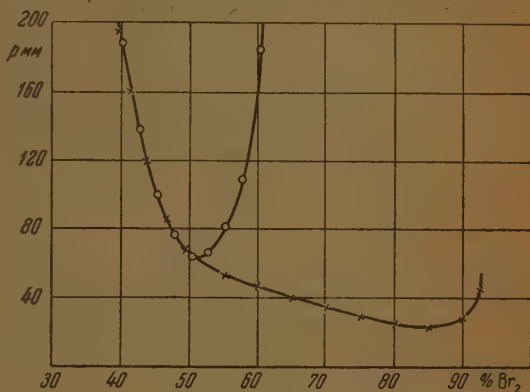


Рис. 1

почти симметрично расположена относительно смеси, соответствующей стехиометрическому соотношению брома и водорода (кривая с кружочками на рис. 1).

Область же распространения пламени снизу вверх сильно смещена в сторону смесей, богатых бромом (левая и правая кривые с крестиками на том же рис. 1). Предел по давлению, при котором еще возможно распространение пламени снизу вверх, непрерывно понижается при увеличении концентрации брома и только вблизи концентрации брома около 90%гибает вверх. В этой области поджигание смеси происходит легко, а распространение пламени вниз затруднено по сравнению с распространением снизу вверх.

Разница в пределах распространения сверху вниз и снизу вверх начинает заметно сказываться при содержании брома больше 50%. Само распространение вверх происходит сильно выпуклым, занимающим весь диаметр трубы фронтом, позади которого тянется размазанный длинный шлейф свечения, укорачивающийся по мере уменьшения давления. Начиная с 65—70% содержания брома, шлейф на пределе по давлению исчезает, и распространение происходит в виде вытянутого шарика, имею-

щего диаметр заметно меньший, чем внутренний диаметр трубы. По мере увеличения концентрации брома шарик пламени становится более резко очерченным. Шарик уменьшается в диаметре и принимает форму полусферы. На пределе распространения по концентрации, соответствующему 92 % брома, полусфера пламени имеет в диаметре не более 1,5 см при диаметре трубы в 5 см.

Смесь, состоящая из 94 % Br_2 и 6 % H_2 , образует полусферы пламени еще меньшего диаметра, и при максимально достижимом давлении их распространение не превышает расстояния в 20—25 см.

Добавка НВг не меняет качественной стороны явления распространения пламени, но лишь повышает предел распространения пламени.

Скорость распространения пламени в смесях водорода с бромом

Измерение скорости распространения пламени проводилось в вертикально поставленных трубах ($d_1 = 4,8$ см и $d_2 = 2,7$ см), соединенных с искусственной «атмосферой».

Распространение пламени сверху вниз в смесях с содержанием от 4 до 55 % брома происходит сплошным фронтом, имеющим сферическую форму сравнительно небольшой выпуклости, которая возрастает с увеличением давления и процентного содержания брома. Наиболее устойчивый фронт получается в смесях, содержащих от 40 до 45 % Br_2 . При максимально достижимом давлении порядка 350—400 мм выпуклость составляет около 1,2—1,5 см, а на пределе 0,5—0,8 см. При больших давлениях наблюдается вибрация фронта пламени с большой частотой, исчезающая при приближении к пределу.

Стехиометрическая смесь при $p = 340$ мм уже не дает сферического фронта пламени в чистом виде. Сферический фронт большой выпуклости в 1,5 см постоянно нарушается, стремясь приобрести форму, явно выра-

женную для смеси с 80 % Br_2 . При этом распространение пламени вибрирующее, неравномерное, и только при давлениях 170 мм и ниже распространение становится равномерным со сферическим фронтом пламени.

Смесь, содержащая 60 % брома, не образует сферического фронта в измеренном нами интервале давлений. Пламя уже не образует сплошного фронта. Фронт пламени расчленивается и состоит из 3—5 отдельных самостоятельных фронтов пламени (рис. 2), которые идут вниз параллельно друг дру-

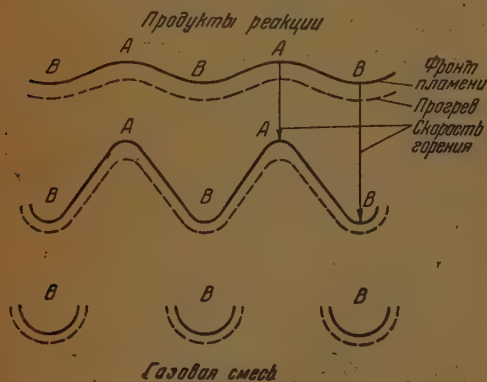


Рис. 2

гу, в среднем с одинаковой скоростью, но в каждый момент они перегоняют друг друга. Распространение каждого отдельного элемента пламени скачкообразное, неравномерное, и фронт в целом распространяется неравномерно. Неустойчивость пламени следует также из того, что распространение можно наблюдать и при давлениях, ниже принятого за предельное, но оно в этом случае не доходит до конца трубы и затухает, пройдя только незначительную ее часть.

Фронт пламени в смеси с содержанием 65 % Br_2 образует уже шесть таких полусфер пламени меньших размеров, располагающихся примерно по окружности, а в центре и между полусферами пламени ясно можно

есть неохваченное пламенем пространство. В этих случаях распространение пламени еще более неравномерное, и даже при максимально близком давлении пламя не доходит до конца трубы.

Попытка сфотографировать форму фронта на панхроматических или других чрезвычайно сенсibilизированных материалах ввиду слабой активности пламени не удалась.

Получить распространение пламени для смеси с 40% брома в тонкой трубе не удалось, так как при $p = 320$ мм и ниже смесь в ней не горит.

Наблюдения по измерениям скоростей распространения пламени помещены на рис. 3. Разница в скоростях распространения пламени в узкой и широкой трубе является наибольшей для смесей с содержанием 40% брома и уменьшается при увеличении содержания брома.

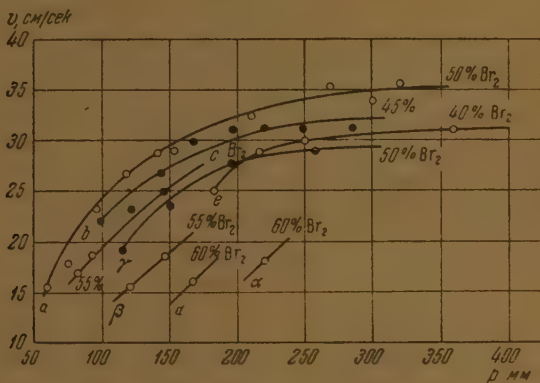


Рис. 3

Для пересчета на нормальные скорости измерялась кривизна фронта пламени. С этой целью на стеклянную трубу надевались проволочные кольца на расстоянии 0,2 см друг от друга. Выпуклость фронта пламени определялась визуально для нескольких точек интервала скоростей. Отметим, что кривизна фронта пламени на протяжении распространения практически остается постоянной. Пересчет на нормальную скорость производился по формуле:

$$v_{\text{норм}} = v_{\text{набл}} \frac{S_{\text{тр}}}{S_{\text{пл}}} = \frac{d^2}{d^2 + 4h^2} v_{\text{набл}},$$

где $S_{\text{тр}}$ — сечение трубы равно $\frac{\pi d^2}{4}$, $S_{\text{пл}}$ — поверхность пламени мы вычисляли по формуле шарового сегмента:

$$S_{\text{пл}} = \frac{\pi}{4} (d^2 + 4h^2),$$

где d — диаметр трубы, а h — выпуклость фронта пламени.

Исходя из измеренных скоростей распространения пламени, приведем рассчитанные нормальные скорости в виде кривых на рис. 4, откуда следует, что значения нормальных скоростей, начиная с определенного давления, хорошо ложатся на прямую, параллельную оси абсцисс. По мере приближения к пределу нормальная скорость становится меньше.

Особенности горения смесей водорода с бромом

Основной задачей теоретической интерпретации полученных нами данных по распространению пламени в смесях водорода с бромом является объяснение особенностей горения этих смесей. Такими особенностями являются а) наличие широкой области концентраций, при которых имеет место распространение пламени снизу вверх, но не сверху вниз; б) своеобразие формы пламени при распространении пламени сверху вниз вблизи предела.

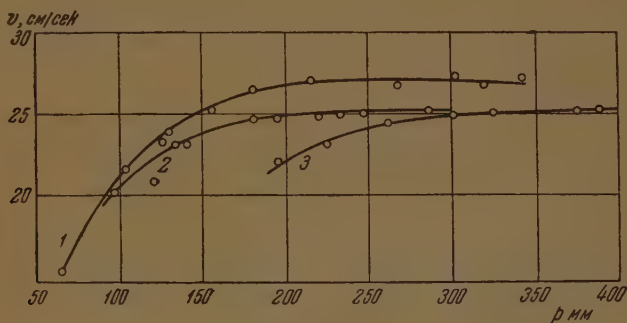


Рис. 4

Первая особенность пламени водорода с бромом наблюдается также и у ряда других водородных пламен. Такое различие впервые было наблюденно Уайтом [2] в случае водородо-воздушных смесей. Аналогичные наблюдения были сделаны Клузиусом и Кутшмидтом [3].

Согласно определениям Я. Б. Зельдовича и Н. П. Дроздова [4] «верхний предел для водородо-воздушных смесей при распространении вверх 73,5% H_2 , 26,5% воздуха, вниз 72,6% H_2 , 27,4% воздуха». Получаемое отношение $z = \frac{27,4}{26,5} = 1,03$.

Поведение смесей брома с водородом качественно носит такой же характер: в смесях с недостатком водорода отношение предельных концентраций весьма велико. В случае смесей с большим содержанием водорода и малым содержанием брома оба предела практически совпадают (рис. 1).

В количественном отношении в смесях с бромом эффект значительно сильнее. На верхнем пределе при $p = 200$ мм имеет место распространение пламени вверх в смеси, состоящей из 40% Br_2 и 60% H_2 , а при распространении вниз — в смесях 60% Br_2 и 40% H_2 .

При недостатке водорода на нижнем пределе пламя распространяется в смесях, состоящих из 8% H_2 и 92% Br_2 , а вниз имеет место распространение пламени в смесях 40% H_2 и 60% Br_2 . В этом случае $z = 5$. Это отношение, являющееся величиной, характеризующей направление распространения, значительно превышает известные значения. Минимальная концентрация водорода в смеси, при которой еще возможно распространение пламени, поразительно мала: она опускается ниже 8% при давлениях около 190 мм.

Расчет максимального повышения температуры при условии полного сгорания такой смеси, при отсутствии тепловых потерь дает представление о том, насколько мала концентрация водорода на пределе распространения пламени снизу вверх (8% H_2 и 92% Br_2):

$$\Delta T = \frac{8,2 \cdot 12000}{100 \cdot 8,7} = 220^\circ C.$$

Значительная теоретическая температура горения 220°C ничтожно мала в сравнении с минимальной температурой самовоспламенения, зарегистрированной в наших опытах [5], где она достигает 425°C . Согласно Боденштейна и Линда [6], при температуре 250°C имела место очень медленная реакция.

Из этого сопоставления температур следует, что факт распространения пламени в смесях с малым содержанием водорода представляет собой явление, требующий специального объяснения. Исходя из данных о влиянии замены водорода дейтерием, а также влияния гелия, азота и аргона, приходим к выводу, что для указанного эффекта весьма существенно изменение молекулярного веса горючего (H_2 , D_2) к молекулярному весу инертного газа. Причина особой резкости эффекта в нашем случае объясняется большим молекулярным весом брома.

Объяснение возможности горения весьма бедных смесей, предложенное И. Б. Зельдовичем и Н. П. Дроздовым [4], основано на рассмотрении теплового баланса покоящегося относительно смеси шарика пламени, на поверхности которого идет химическая реакция.

В результате диффузии к поверхности такого шарика подходят реагирующие вещества; диффузионные же явления обуславливают отход продуктов реакции от поверхности шарика пламени, при этом выделяющаяся теплота реакции с поверхности горения отводится теплопроводностью смеси.

И. Б. Зельдович показал, что в случае взаимной диффузии газов, температуры близки по молекулярному весу (например, CO , воздух), температура такого шарика пламени совпадает с теоретической температурой горения. Это равенство обусловлено существованием простой связи коэффициента диффузии (от которого зависит подача реагирующего вещества, а также скорость выделения тепла) с коэффициентом теплопроводности смеси, от которой зависит отвод тепла [1]).

В изученном же нами случае бромоводородных смесей с малым содержанием водорода это соотношение оказывается существенно нарушенным. Температура горения резко повышается, поскольку коэффициент диффузии легкого водорода в такой смеси велик, а теплопроводность смеси, определяемой главным образом из тяжелых молекул, мала. В шарик пламени такой смеси за счет термодиффузии устремляется горючее (водород) большого объема, тепло же с шарика пламени передается малому объему инертного газа. В результате этого и достигаются температуры, во много раз превышающие теоретическую».

Такое объяснение механизма явления, при котором поддерживается горение в смесях с малым содержанием водорода горячее пламя. Вместе с тем этот механизм определяет и основные особенности такого горения.

а) Относительно газа шарик пламени покоится. Это значит, что в трубке такой шарик будет двигаться вверх, увлекаемый конвекционными потоками.

б) Повышение температуры получается за счет различия между температурой, из которого сожжен водород, и объемом, который нагрет пламенем. Такое различие объемов возможно лишь в том случае, если пламя захватывает лишь малую часть всего сечения трубы. Для горения смесей, содержащих каким-либо компонентом, характерна неполнота выгорания.

в) Термин «шарик пламени» условен. Таким было бы пламя в идеальных условиях, в безграничном пространстве при отсутствии силы тяжести, которая вызывает движение пламени, так что последнее приобретает форму шарика.

Понятно, что это не меняет качественной стороны дела.

Заметим также, что Н. Я. Бубен и Д. А. Франк-Каменецкий [7] показали, что для установления определенного соотношения между подачей горючего вещества и отводом тепла имеет важное значение также термодиффузия.

В смеси, состоящей из компонентов различного молекулярного веса при наличии градиента температуры легкий компонент устремляется в сторону высокой температуры. Таким образом термодиффузия увеличивает поток водорода к шарiku пламени и дает дополнительное повышение температуры сверх обусловленного соотношением между коэффициентами диффузии и теплопроводности.

Существенно новыми являются поразительные формы пламени, наблюдаемые нами в смесях с содержанием 55—65% Br_2 и при сравнительно высоких давлениях, описанные нами выше. Напомним, что в этом случае зажигание производилось в верхней части трубки, и пламя распространялось вниз. Таким образом наблюдаемые маленькие фронты пламени действительно распространялись вниз относительно газа, а не переносились конвективными потоками. В этих смесях пламя расчленилось в отдельные клинья, которые распространялись самостоятельно, а не сплошным фронтом. Такая форма распространения до сих пор не была известна и является новой.

Наблюдение ее заставляет нас поставить важный принципиальный вопрос теории горения: всегда ли устойчив сплошной, слабо изогнутый фронт пламени?

Мы не будем здесь исследовать этот вопрос в самом общем виде: устойчивость нормального горения с гидродинамической и газодинамической точки зрения относится к теории возникновения детонации, которой мы совершенно не касаемся. Экспериментальный материал подсказывает, что объяснение наблюдаемых нами новых форм пламени следует искать на тех же путях, которые позволили объяснить различие пределов распространения вверх и вниз.

Для того чтобы исследовать устойчивость сплошного фронта, поставим вопрос о зависимости скорости распространения пламени от кривизны фронта. Вопрос этот ставился раньше в связи с теорией бунзеновской горелки. В конусе пламени у вершины пламя сильно вогнуто относительно поступающей из горелки смеси.

Исследованные в бунзеновской горелке смеси горючих с воздухом имеют конус, закругленный у вершины; это значит, что скорость пламени у самой вершины больше, чем на боковой поверхности конуса. С точки зрения самой простой тепловой теории, увеличение скорости пламени вогнутой поверхности вполне естественно: частицы газа, приближающиеся к вогнутой поверхности, нагреваются быстрее, не только спереди (как это было бы при плоской поверхности), но и с боков.

В современной теории учитывается тот факт, что наряду с нагреванием смеси происходит путем диффузии и изменение ее состава. Для смесей, близких по молекулярному весу, изменение состава и изменение температуры связаны между собой так же, как при адиабатической реакции. Качественно влияние вогнутости пламени при этом остается без изменения: перед фронтом происходит кроме нагрева еще и диффузия. То же самое происходит и перед вогнутым фронтом, но более интенсивно (с нескольких сторон сразу), что ускоряет процесс. Температура горения при этом не меняется, так как одновременно с интенсификацией нагрева более интенсивно происходит диффузионный отвод реагирующих веществ.

Положение радикально меняется, когда мы переходим к рассмотрению смесей, содержащих малый процент горючего водорода. В такой смеси коэффициент диффузии водорода гораздо больше коэффициента теплопроводности. Поэтому приближающийся к вогнутой поверхности пламени элемент объема газа кажется в невыгодном положении: водород путем диффузии уйдет из такого элемента объема раньше, чем придет тепло; не дойдя до вершины, газ может даже стать негорючим. Напротив, выпуклая поверхность пламени в случае большого коэффициента диффузии представляет преимущество: пламя радиуса r собирает горючее с шаровой поверхности радиуса $r + \delta_1$, так что на каждую единицу

у площади пламени приходится площадь, бо́льшая в $\left(\frac{r+\delta_1}{r}\right)^2$ раз, та, в которой собирается горючее. Одновременно увеличена, правда, и отдача тепла до $r + \delta_2$; через δ_1 мы обозначили расстояние, на которое простирается изменение концентрации перед пламенем, через δ_2 — расстояние, на которое распространяется тепло. В нашем случае коэффициент диффузии больше коэффициента теплопроводности, поэтому $\delta_1 > \delta_2$, и, следовательно, для выпуклого пламени эффект больше невыгодного. Окончательный результат наших рассуждений заключается в том, что в бромоводородных смесях с малым содержанием водорода скорость пламени увеличивается для выпуклого пламени и уменьшается для вогнутого.

Какое отношение имеет зависимость скорости пламени от кривизны фронта?

Представим себе цилиндрическую трубу, наполненную взрывчатой смесью. Плоский фронт, все участки которого распространяются относительно смеси с одинаковой скоростью, пройдет всю трубу без изменения формы.

Пусть, однако, малое возмущение нарушило плоскую форму фронта, и горь стал изогнутым (рис. 2).

В обычных смесях скорость пламени на вогнутых участках увеличится, выпуклых в сторону распространения участках — понизится. В результате точки AA пойдут вниз быстрее, точки BB отстанут, и кривизна вывинется, фронт снова станет плоским. Плоское пламя оказывается в этом случае устойчивым.

Рассмотрим теперь смесь 40% H_2 и 60% Br_2 .

В этой смеси с недостатком водорода мы можем ожидать, что выпуклость увеличит, а вогнутость уменьшит скорость пламени. В результате элементы пламени BB уйдут вперед, AA отстанут, кривизна увеличится еще более, и фронт оказывается неустойчивым и будет деформироваться, пока не распадется на отдельные участки BBB (рис. 2). Находящаяся в промежутках между этими участками смесь AA отдает водород диффузией и становится неспособной к горению, раньше чем ее коснется пламя.

Таково описание и объяснение наблюдаемых на опыте многообразных форм распространения пламени. В последнем счете появление их мы объясняем резким различием молекулярных весов реагирующих компонентов.

Различие это в явлениях самовоспламенения сказалось в зависимости теплопроводности от состава.

В явлениях распространения пламени различие молекулярных весов водорода и брома сказалось в различии коэффициента диффузии и коэффициента теплопроводности.

За живой интерес к моей работе выражаю большую благодарность ад. Н. Н. Семенову и чл.-корр. АН СССР Я. Б. Зельдовичу.

Выводы

1. Измерены и изучены области распространения пламени в бромоводородных смесях различного состава снизу вверх и сверху вниз в зависимости от состава смеси. Ввиду различного механизма горения и большого различия молекулярных весов компонентов указанные пределы горения различны.
2. Изучена скорость распространения пламени в смесях различного состава брома с водородом.
3. Установлена зависимость скорости распространения пламени от давления, состава и диаметра трубы.
4. Изучено тормозящее действие бромистого водорода на скорость распространения пламени в смесях водорода с бромом.

5. Наблюдено весьма своеобразное расчленение сплошного фронта пламени на отдельные самостоятельные части с искривленной поверхностью.

6. Дано объяснение наблюдаемым при распространении пламени специфическим явлениям.

7. Поставлен и теоретически разобран вопрос об устойчивости плоского фронта пламени.

Государственный университет
им. И. В. Сталина
Тбилиси

Поступила
3.III.1950

ЛИТЕРАТУРА

1. Я. Б. Зельдович, Теория горения и детонация газов, Изд-во АН СССР, 1944; Я. Б. Зельдович, и Н. Н. Семенов, ЖЭТФ, 10, 1116, 142, 1940.
 2. J. U. White, Journ. Chem. Soc., 121, 1268, 1922.
 3. K. Clusius u. Kutschmidt, Zschr. Elektroch., 42, 498, 1936.
 4. Я. Б. Зельдович и Н. П. Дроздов, Цитировано по монографии Я. Б. Зельдовича: Теория горения и детонация газов, АН СССР, 1944.
 5. В. И. Кокочашвили, Журн. физ. химии, 23, 15, 21, 1949.
 6. M. Bodenstein u. S. Lind, Zschr. phys. Chem., 57, 168, 1906.
 7. Н. Я. Бубен, Диссертация, Инст. хим. физ. АН СССР, 1940.
-

ПОЛИМОЛЕКУЛЯРНАЯ АДсорбция НА НЕОДНОРОДНЫХ ПОВЕРХНОСТЯХ

В. И. Левин

Теория адсорбционных и каталитических явлений на неоднородных поверхностях, основанная на применении к анализу этих явлений математической статистики [1 — 4], до сих пор не учитывала процессы сорбции в области высоких относительных давлений, где уже нельзя пренебрегать образованием на поверхности многих слоев адсорбирующего вещества.

Статистическая теория исходила из уравнения изотермы Лэнгмюра, занного с допущением об образовании на поверхности адсорбента более чем одномолекулярного слоя адсорбтива. Поэтому и уравнения изотерм адсорбции на неоднородной поверхности, полученные на основе этой предпосылки, применимы лишь в условиях, исключающих образование нескольких слоев.

В настоящей работе сделана попытка при помощи статистического метода получить уравнения изотермы, применимые как к мономолекулярной, так и к многослойной адсорбции на неоднородной поверхности, обладающей широким и плавным распределением по теплотам адсорбции в первом приближении.

Наиболее известной теорией, дающей возможность описать одним и тем же уравнением процесс адсорбции на однородной поверхности в широком интервале относительных давлений, включая области моно- и полимоллекулярной адсорбции, является теория Брунауэра — Теллера [5]. Хотя отправные предпосылки этой теории свободны от возражений, она хорошо описывает опытные данные в области низких давлений $x = p/p_s$ (p — давление сорбтива, p_s — давление насыщенного пара при данной температуре) от 0,05 — 0,10 до 0,35 — 0,50.

Выше указанных значений x начинает заметно сказываться процесс капиллярной конденсации и уравнение Брунауэра в его простейшей форме не соблюдается. При значениях $x = 0,05 — 0,10$ оно также не соблюдается, так как в этой области более резко проявляется неоднородность поверхности. При малых x опытные значения адсорбции всегда больше, чем требуемые теорией. Связь отклонений в области малых давлений с неоднородностью поверхности подтверждается непостоянством параметров уравнения Брунауэра, вычисленных при различных относительных давлениях [6] и непосредственными калориметрическими данными по теплотам адсорбции [1, 5, 7].

В литературе описан ряд попыток усовершенствования теории, имеющих целью привести последнюю в соответствие с опытными данными в области высоких относительных давлений [8]. Большинство этих попыток связано с постулированием или иного закона взаимодействия частиц адсорбтива с адсорбентом и другим, учитывающего изменение характера этого взаимодействия с изменением сорбции.

Единственной известной нам попыткой учесть неоднородность поверхности в теории полимоллекулярной адсорбции является работа Мак-Миллана [9], в которой уравнение изотермы адсорбции представлено в виде суммы двух уравнений Брунауэра, различающихся своими параметрами. Однако суммирование двух изотерм здесь не достаточно, так как зависимости дифференциальных теплот адсорбции от количества адсорбированного вещества, полученные калориметрически [1, 5, 7] и другим путем из экспериментальных данных [1], согласно указывают на существование на поверхностях многих твердых тел широких распределений теплот по теплотам адсорбции, которые не могут быть сведены к двум типам теплот.

Одной из форм написания уравнения Брунауэра для случая адсорбции на однородной поверхности, не осложненной капиллярной конденсацией, является следующее выражение [5]:

$$\frac{v}{v_m} = \frac{cx \frac{dy}{dx}}{1 + cy}; \quad y = \sum_{i=1}^n x^i. \quad (1)$$

В этом выражении v — количество адсорбированного вещества, v_m — количество последнего, отвечающее мономолекулярному покрытию, $x = p/p_s$ — относительное давление адсорбтива в газовой фазе, индекс n показывающее предельное число адсорбционных слоев, которое может образоваться на данном адсорбенте. Константа c определяется выражением

$$c = e^{\frac{(Q-Q_K)}{RT}}, \quad (2)$$

где Q — теплота адсорбции в первом слое, Q_K — теплота адсорбции во всех последующих слоях, принимаемая обычно равной теплоте конденсации.

При $n = \infty$, т. е. при неограниченной адсорбции на свободной поверхности, уравнение (1) принимает следующий вид:

$$\frac{v}{v_m} = \frac{c \frac{x}{(1-x)^2}}{1 + c \frac{x}{1-x}} = \frac{cx}{(1-x)(1-x+cx)}. \quad (3)$$

При ограниченном n получается более сложное выражение:

$$\frac{v}{v_m} = \frac{cx}{1-x} \cdot \frac{1 - (n+1)x^n + nx^{n+1}}{1 + (c-1)x - cx^{n+1}}. \quad (4)$$

При малых относительных давлениях (при $p \ll p_s$ и, соответственно $x \ll 1$) эти уравнения приближаются к уравнению Лэнгмюра:

$$\lim_{x \rightarrow 0} \frac{v}{v_m} = \frac{cx}{1-x} = \frac{\left[\exp \frac{(Q-Q_K)}{RT} \right] \frac{p}{p_s} \exp \frac{(Q_K)}{RT}}{1 - \left[\exp \frac{(Q-Q_K)}{RT} \right] \frac{p}{p_s} \exp \frac{(Q_K)}{RT}} = \frac{\frac{p}{p_{s,0}} e^{\frac{Q}{RT}}}{1 - \frac{p}{p_{s,0}} e^{\frac{Q}{RT}}}, \quad (5)$$

так как

$$p_s = p_{s,0} e^{-\frac{Q_K}{RT}}. \quad (6)$$

Напротив, при больших значениях x величина cy становится значительно больше единицы ($cy \gg 1$), и мы получим в этом случае два других предельных уравнения:

$$\lim_{x \rightarrow 1} \frac{v}{v_m} = \frac{1}{1-x} \quad \text{при } n = \infty \quad (7)$$

$$\lim_{x \rightarrow 1} \frac{v}{v_m} = \frac{1 - nx^{n+1} + (n-1)x^n}{(1-x)(1-x^{n+1})} \quad \text{при } n < \infty. \quad (8)$$

Допустим, что поверхность адсорбента состоит из набора участков, в пределах каждого из которых справедливо уравнение (1), и что распределение этих участков по теплотам адсорбции в первом слое Q характеризуется функцией распределения $\rho(Q)$. Величину теплоты адсорбции в прочих слоях Q_K будем попрежнему считать постоянной и равной теплоте

адсорбции. При этих допущениях мы можем изобразить изотерму адсорбции на неоднородной поверхности в виде следующего интеграла:

$$\frac{v}{v_m} = \int_{Q_{\min}}^{Q_{\max}} \frac{cx \frac{dy}{dx}}{1+cy} \rho(Q) dQ. \quad (9)$$

Для упрощения выражения (9) воспользуемся описанным нами ранее приемом [3]. Применяя теорему о среднем значении, мы можем вынести $\rho(Q^*)$ (где Q^* — некоторое среднее значение Q), лежащее между Q_{\min} и Q_{\max} , за пределы интеграла:

$$\frac{v}{v_m} = \rho(Q^*) \int_{Q_{\min}}^{Q_{\max}} \frac{cx \frac{dy}{dx}}{1+cy} dQ. \quad (10)$$

Выражение (10) можно, далее, представить в следующем виде:

$$\frac{v}{v_m} = x \frac{d \ln y}{dx} \int_0^y \rho(Q^*) dy \int_{Q_{\min}}^{Q_{\max}} \frac{c(Q)}{[1+c(Q)y]^2} dQ. \quad (11)$$

Подинтегральная функция $\frac{c}{(1+cy)^2}$ обладает максимумом в точке $Q = Q_k - RT \ln y$, по обе стороны от которого она весьма быстро убывает, стремясь к нулю. Поэтому в случае широких и плавных распределений Q мы можем приближенно положить, что среднее значение Q^* совпадает с Q_m , отвечающей максимуму функции $\frac{c}{(1+cy)^2}$.

С другой стороны, основываясь также на указанном свойстве этой функции, мы можем расширить пределы интегрирования по Q до $-\infty$ и $+\infty$. При этом интеграл (11) легко вычисляется, и мы получаем выражение:

$$\begin{aligned} \frac{v}{v_m} &= x \frac{d \ln y}{dx} \int_0^y \rho(Q_k - RT \ln y) dy \int_0^\infty \frac{RT dc}{(1+cy)^2} = \\ &= x \frac{d \ln y}{dx} \int_0^y \rho(Q_k - RT \ln y) RT d \ln y = x \frac{d \ln y}{dx} \int_{Q^* = Q_k - RT \ln y}^{Q_{\max}} \rho(Q) dQ. \end{aligned} \quad (12)$$

Из выражения (12) в случае неограниченной адсорбции получается уравнение:

$$\frac{v}{v_m} = \frac{1}{1-x} \int_{Q_k - RT \ln \frac{x}{1-x}}^{Q_{\max}} \rho(Q) dQ. \quad (13)$$

При конечном числе слоев получается уравнение:

$$\frac{v}{v_m} = \frac{1 - nx^{n-1} + (n-1)x^n}{(1-x)(1-x^{n-1})} \int_{Q_k - RT \ln \frac{x-x^n}{1-x}}^{Q_{\max}} \rho(Q) dQ. \quad (14)$$

Рассмотрим предельные случаи. Если равновесное давление p на много меньше, чем давление насыщенного пара p_s , то можно пренебречь вели-

чиной x и ее степенями в сравнении с единицей. В этих условиях (3) приближается к уравнению:

$$\frac{v}{v_m} = \int_{Q^* = Q_k - RT \ln y}^{Q_{\max}} \rho(Q) dQ = \int_{Q^* = Q_k - RT \ln \frac{p}{p_s}}^{Q_{\max}} \rho(Q) dQ. \quad (3)$$

Выражение (15) можно при помощи (6) записать в виде:

$$\frac{v}{v_m} = \int_{Q^* = -RT \ln \frac{p}{p_s, 0}}^{Q_{\max}} \rho(Q) dQ, \quad (4)$$

т. е. в виде обычного выражения для изотермы адсорбции на неоднородной поверхности, выведенного при условии мономолекулярного покрытия [1—3].

Когда величина Q^* с ростом давления достигает значения Q_{\min} , чем соответствует равенство:

$$y = e^{-\frac{Q_{\min} - Q_k}{RT}}, \quad (5)$$

то интеграл $\int_{Q^*}^{Q_{\max}} \rho(Q) dQ$ при любой функции распределения становится равным единице [1—3]. При этом изотерма (12) обращается в уравнение:

$$\frac{v}{v_m} = x \frac{d \ln y}{dx} \quad (18)$$

или

$$\frac{v}{v_m} = \frac{1}{1-x} \quad \text{при } n = \infty \quad (19)$$

и

$$\frac{v}{v_m} = \frac{1 - nx^{n-1} + (n-1)x^n}{(1-x)(1-x^{n-1})} \quad \text{при } n < \infty. \quad (20)$$

В этих уравнениях отсутствуют параметры, характеризующие адсорбцию в первом слое. Это значит, что первый адсорбционный слой практически заполнен и дальнейшая адсорбция происходит на поверхности, уже покрытой адсорбтивом. Как и следовало ожидать, уравнения (19) и (20) совпадают с уравнениями (7) и (8), выведенными для однородной поверхности.

Определим частные формы изотермы адсорбции, отвечающие двум конкретным функциям распределения.

Весьма распространенной зависимостью в области мономолекулярной адсорбции является параболическая изотерма $v \sim Ap^y$, которой отвечает показательное распределение по теплотам адсорбции [1—3]

$$\rho(Q) = H e^{-\alpha Q}. \quad (21)$$

Подстановка функции (21) в уравнение (12) приводит к изотерме:

$$\frac{v}{v_m} = x \frac{d \ln y}{dx} H \int_{Q_k - RT \ln y}^{Q_{\max}} e^{-\alpha Q} dQ = \frac{H}{\alpha} e^{-\alpha Q_k} x \frac{d \ln y}{dx} \approx \frac{H}{\alpha} e^{-\alpha Q_k} \frac{d \ln y}{dx} y^{\alpha RT}. \quad (22)$$

в случае неограниченной адсорбции ($n = \infty$) при этом получается уравнение:

$$\frac{v}{v_m} = \frac{H}{\alpha} e^{-\alpha Q_K} \frac{1}{1-x} \left(\frac{x}{1-x} \right)^{\alpha RT} \quad (23)$$

в случае же адсорбции, ограниченной n слоями, получается следующее уравнение:

$$\frac{v}{v_m} = \frac{H}{\alpha} e^{-\alpha Q_K} \frac{1 - nx^{n-1} + (n-1)x^n}{(1-x)(1-x^{n-1})} \left(\frac{x - x^n}{1-x} \right)^{\alpha RT} \quad (24)$$

В области малых относительных давлений ($x \ll 1$) уравнения (23) и (24) приближаются к выражению:

$$\frac{v}{v_m} = \frac{H}{\alpha} e^{-\alpha Q_K} x^{\alpha RT} = \frac{H}{\alpha} e^{-\alpha Q_K} \frac{p^{\alpha RT}}{p_s^{\alpha RT}} = A p^{\alpha}, \quad (25)$$

соответствующему с параболической изотермой.

Таким образом уравнение (23), выражающее изотерму полимолекулярной адсорбции на неоднородной поверхности, при малых значениях x , и которых образованием нескольких слоев адсорбированного вещества можно пренебречь, обращается в обычную изотерму адсорбции на неоднородной поверхности, выведенную в предположении мономолекулярности сорбционного слоя.

Для линейной функции распределения по теплотам адсорбции [1—3]:

$$\rho(Q) = H(Q_{\max} - Q) \quad (26)$$

уравнения (13) и (14) дают следующие изотермы:

$$\frac{v}{v_m} = \frac{H}{2} \frac{1}{1-x} \left[Q_{\max} - Q_K + RT \ln \frac{x}{1-x} \right]^2 \quad \text{при } n = \infty \quad (27)$$

$$= \frac{H}{2} \frac{1 - nx^{n-1} + (n-1)x^n}{(1-x)(1-x^{n-1})} \left[Q_{\max} - Q_K + RT \ln \frac{x - x^n}{1-x} \right]^2 \quad \text{при } n < \infty. \quad (28)$$

При $x \ll 1$ эти выражения обращаются в изотерму

$$\frac{v}{v_m} = \frac{H}{2} \left[Q_{\max} - Q_K + RT \ln \frac{p}{p_s} \right]^2 = [A + B \ln p]^2, \quad (29)$$

характерную для распределения (26) при мономолекулярной адсорбции [1—3].

Выводы

1. На основе уравнения полимолекулярной адсорбции Брунауэра выведено общее уравнение изотермы адсорбции на неоднородной поверхности произвольной функцией распределения участков поверхности по теплотам адсорбции. Это уравнение применимо как при малых относительных давлениях (в области практически мономолекулярной адсорбции), так и в области многослойной адсорбции до начала капиллярной конденсации.

2. При малых относительных давлениях ($x \ll 1$) выведенное уравнение изотермы обращается в обычные изотермы адсорбции на неоднородной поверхности, характерные для мономолекулярной адсорбции.

3. После заполнения первого адсорбционного слоя неоднородность поверхности перестает сказываться, и для всех функций распределения получается одно и то же уравнение изотермы, совпадающее с уравнением изотермы на однородной поверхности.

ЛИТЕРАТУРА

1. С. З. Рогинский, Адсорбция и катализ на неоднородных поверхностях, Изд-во АН СССР, Москва, 1948.
 2. В. И. Левин, Успехи химии, **17**, 174, 1948.
 3. В. И. Левин, Сборник, Проблемы кинетики и катализа, вып. VII, стр. 20.
 4. М. И. Темкин, С. Л. Киперман, Журн. физ. химии, **21**, 92, 1947.
 5. С. Брунауэр, Адсорбция газов и паров, Перев. под ред. акад. М. М. Дубинина, ИЛ, Москва, 1948.
 6. M. H. Armbruster, Journ. Amer. Chem. Soc., **64**, 2545, 1942; M. H. Armbruster, J. B. Austin, *ibid.*, **66**, 159, 1944.
 7. W. D. Harkins, J. E. Boyd, Journ. Amer. Chem. Soc., **64**, 1145, 1942; W. D. Harkins, G. Jura, Journ. Amer. Chem. Soc., **66**, 919, 1944.
 8. M. A. Cook, Journ. Amer. Chem. Soc., **70**, 2925, 1948; G. Halsey, Journ. Chem. Phys., **16**, 931, 1948.
 9. W. G. McMillan, Journ. Chem. Phys., **15**, 390, 1947.
-

О МЕХАНИЗМЕ ОКИСЛЕНИЯ РТУТИ КИСЛОРОДОМ В РАСТВОРАХ ЭЛЕКТРОЛИТОВ

И. А. Баюцкая

В прежних работах [1] для ряда случаев было показано, что растворение металлов в однородной поверхности в растворах электролитов происходит по электрохимическому механизму: а именно, на поверхности металла одновременно протекает несколько электрохимических реакций, скорость каждой из которых непосредственно зависит от одновременного протекания другой реакции и определяется разностью потенциалов, устанавливающейся на границе металла с раствором. Последняя может быть вычислена из условия постоянства числа зарядов на поверхности металла.

К такому случаю растворения металлов относится, в частности, разложение амальгамных металлов водой [2]. При рассмотрении этого процесса необходимо учитывать три реакции:



Поскольку перенапряжение водорода на амальгаме велико, то можно предположить, что скорости (2) и (3) реакций по сравнению со скоростью (1) реакции велики. Потенциал, устанавливающийся на электроде, определяется концентрацией металла в амальгаме ионов металла в растворе у поверхности электрода, т. е. может быть вычислен по формуле Нернста. При этом скорость выделения водорода, равная наблюдаемой скорости растворения металла, являющейся разностью скоростей (2) и (3) реакций, может быть определена по формуле Тафеля.

Представлялось интересным рассмотреть с этой точки зрения механизм растворения металлов в растворах электролитов в атмосфере кислорода. В качестве металла с однородной поверхностью мы выбрали ртуть. Электролитом служила 2 N H_2SO_4 . Следуя вышеприведенной схеме, механизм растворения ртути можно представить в виде трех сопряженных электрохимических реакций:



В результате в растворе должны были бы получиться эквивалентные количества ионов ртути и перекиси водорода.

Образование перекиси водорода при окислении металлов уже описывалось в литературе; согласно Шенбейну [3], при окислении амальгамами свинца в присутствии H_2SO_4 образуются эквивалентные количества PbSO_4 и H_2O_2 . Кольгоф и Миллер [4] при рассмотрении полиграмм, снятых в растворах, содержащих кислород, также считали, что при окислении ртути образуется перекись водорода как результат протекания двух электрохимических реакций. Вывод этот, однако, не был подтвержден ни аналитическими, ни кинетическими измерениями.

Кинетика восстановления кислорода в перекись водорода была изучена Н. Д. Тоановым [5], А. И. Крайневичевым [6], З. А. Иофа, Е. П. Андреевой и А. Б. Шимелевичем [7]. Названные авторы показали, что эта реакция протекает со значительным перенапряжением, выражаемым формулой Тафеля с коэффициентом b , несколько большим $\frac{2RT}{F}$, а именно 0,130—0,140 (при использовании десятичных логарифмов), что стадией, определяющей скорость (4) реакции является одноэлектронный переход образованием иона O_2^+ или молекулы HO_2 :

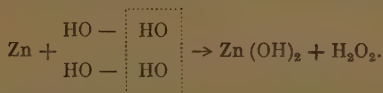


Было важно выбрать условия опыта такими, чтобы скорость восстановления кислорода в перекип водорода была бы достаточно мала, и можно было бы не учитывать скорости подачи кислорода к поверхности электрода. В противном случае кинетика реакции (4) и, следовательно, всего процесса будет определяться диффузией кислорода, и полученные результаты не позволят сделать вывод о механизме растворения. Как показали наши измерения, при использовании серной кислоты в качестве электролита это условие выполняется.

Ионизация атомов ртути и разряд ее ионов происходят сравнительно быстро, поэтому, как и в случае разложения амальгам водой, потенциал устанавливающийся на ртутном электроде, определяется концентрацией ионов ртути в растворе у поверхности электрода, т. е. формулой Нернста, а скорость наблюдаемого растворения ртути, равная разности скоростей (2) и (3) реакций, скоростью реакции восстановления кислорода в перекип при потенциале ртутного электрода.

Наряду с вышеописанным электрохимическим механизмом окисления ртути молекулярным кислородом в растворе электролита можно было бы представить себе чисто химический механизм: молекулярный кислород реагирует со ртутью на ее поверхности с образованием окиси или перекиси ртути с последующим растворением последней в кислоте.

Траубе [8] дает несколько иную схему окисления:



Как в первом, так и втором случае скорость реакции не должна зависеть от потенциала электрода.

Экспериментальная часть

Опыты проводились в приборе, изображенном на рис. 1. Прибор состоял из основной ячейки В, в которой проводились измерения как поляризационных кривых, так и скорости саморастворения ртути, и резервуара ртути А. Ртутный резервуар А на дне своем имел небольшой внутренний впай, погруженный своим отверстием в ртуть. Аналогичное устройство имелось и на две ячейки В. Это устройство предохраняло от внесения в ячейку загрязнений, находящихся на поверхности ртути. Ртутный электрод Е, находящийся на дне сосуда В, поляризовался относительно вспомогательного электрода Е₁, а потенциал электрода измерялся относительно электрода Е₂. Поверхность электрода Е равнялась 7,1 см².

Ртуть, налитая на дно ячейки В, из резервуара А заливалась раствором 2 N H₂SO₄ от 15 до 20 см³. Сифоны наполнялись раствором предварительно. После того как ячейка В была залита ртутью и раствором, через раствор в течение 18—20 час. продувался водород из электролизера, предварительно очищенный прохождением через палладиевый катализатор и раствор плюмбита натрия и высушенный над хлористым кальцием. Ртутный электрод при этом катодно поляризовался током 1,4—2,1 · 10⁻⁵ А/см². После этого ртуть на дне ячейки В менялась путем вывода прежней отсасыванием через трубку В и заливки новой из резервуара А. Вновь налитая ртуть катодно поляризовалась в течение 2 час. в атмосфере водорода при прежней плотности тока. После этого продувание водорода через раствор прекращалось, и раствор насыщался кислородом полученным электролитически и очищенным пропусканием через раствор перманганата калия и высушенным над хлористым кальцием. Ртуть при этом продолжала катодно поляризоваться при прежней плотности тока. Спустя 20 мин снималась кривая зависимости потенциала ртутного электрода от плотности наложенного тока. Во время снятия кривой кислород непрерывно продувался через раствор. Было установлено, что после очистки раствора и электрода вышеописанным методом потенциал электрода устойчив и удерживается без изменения длительное время при плотности тока, 1,4 · 10⁻⁵ А/см². Если электрод оставить под большей плотностью тока, то потенциал электрода будет сдвигаться в отрицательную сторону тем быстрее, чем выше плотность тока, так как наступает концентрационная поляризация по кислороду. Выдерживание электрода при плотностях тока ниже 1,4 · 10⁻⁵ А/см² ведет к сдвигу потенциала в положительную сторону и тем сильнее, чем ниже плотность тока, что связано, вероятно, с накоплением ионов ртути в растворе. Учитывая выше сказанное, снятие поляризационных кривых проводилось следующим образом: измерялся потенциал ртути при $i = 1,4 \cdot 10^{-5}$ А/см², затем при какой-либо другой плот-

и тока, после этого опять при $i = 1.4 \cdot 10^{-5}$ А/см². Если потенциал оказывался низким, то вновь быстро измерялся потенциал при выбранной плотности тока. Когда значения потенциала при ряде последующих измерений при одной и той же плотности тока оказывались совпадающими, то мы переходили к следующей плотности тока. Плотность тока менялась от $7,05 \cdot 10^{-5}$ до $2,82 \cdot 10^{-5}$ А/см². Увели-

чение диапазона измерения плотности тока не удавалось, так как при больших плотностях тока в этой форме наблюдалась концентрационная поляризация по роду, а при более низких плотностях тока — растворение ртути. Было обнаружено, что прекращение прохождения пузыря кислорода через раствор в течение 2—3 сек. ведет к смещению потенциала электрода в отрицательную сторону.

Если не производить катодного восстановления раствора в атмосфере водорода, а сразу снимать поляризационную кривую, то вся кривая оказывается на 18 мВ сдвинутой в сторону отрицательных потенциалов, т. е. скорость восстановления кислорода уменьшается. При этом наклон кривой становится несколько меньше. Окисление поверхности ртутного электрода также приводит к сдвигу кривой в сторону отрицательных потенциалов.

При соблюдении всех вышеописанных методов очистки раствора и подготовки электрода данные измерений довольно хорошо воспроизводятся.

В опытах по определению скорости саморастворения ртути подготовка рас-

твора и электрода также проводилась вышеописанным методом. После насыщения раствора кислородом при одновременной катодной поляризации электрода током $1.4 \cdot 10^{-5}$ А/см² для предотвращения растворения ртути поляризация электрода прекращалась, при этом засекалось время и измерялся потенциал. Опыт обычно продолжался 6—8 час. В первый период течения опыта потенциал электрода измерялся через каждые 1—30 мин., а затем значительно реже, приблизительно через 60 мин., так как потенциал электрода со временем изменялся все меньше и меньше.

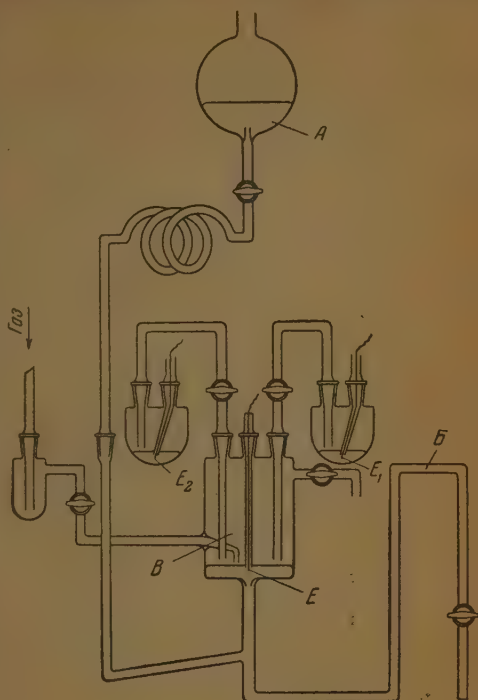
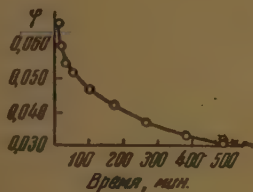


Рис. 1

Рис. 2. Изменение потенциала ртути со временем в исходном растворе $2\text{NH}_4\text{SO}_4$

Из полученных данных строилась кривая зависимости потенциала растворяющегося ртутного электрода от времени (рис. 2). После окончания опыта раствор отделялся от ртути и подвергался полярографическому анализу. Время окончания опыта точно фиксировалось. Прекращение

прохождения кислорода через раствор, особенно в первый период течения опыта, влекло за собой сдвиг потенциала в положительную сторону, что связано с накоплением ионов ртути, перешедших в раствор, у поверхности электрода из-за медленности диффузии в объем раствора. Перемешивание раствора пузырьками кислорода вновь сдвигало потенциал электрода в отрицательную сторону. Подготовка раствора и электрода к опыту вышеописанным способом позволяла нам иметь одни и те же условия в опытах по определению скорости восстановления кислорода в зависимости от потенциала и в опытах по скорости саморастворения ртути. Однако отсюда не следует, что такая методика является оптимальной для определения скорости восстановления кислорода.

Для измерения скорости саморастворения ртути при более положительных потенциалах мы предварительно вводили в раствор некоторое заранее рассчитанное количество ионов одновалентной ртути путем анодного растворения. Заметного накопления ионов Hg_2^{++} за счет саморастворения во время анодной поляризации не происходило, так как потенциал электрода с первого же момента поляризации сдвигался в положительную сторону и саморастворение за такой короткий интервал времени можно было не учитывать. В таких растворах потенциал ртути был на 50—60 мВ положительнее, чем в исходном чистом растворе 2 N H_2SO_4 , скорость саморастворения значительно ниже, и изменение потенциала электрода происходит значительно медленнее. Поэтому потенциал электрода измерялся через 4—5 и большее число часов, а сам опыт длился 2—3 суток. Опыт показал, что ионы ртути в сифоны практически не попадают.

Для приготовления растворов использовались дважды перегнанная вода и дважды перегнанная серная кислота. Ртуть тщательно очищалась пропусканием через колонку с подкисленным раствором азотной кислоты ртути и дистиллированную воду. Электродом сравнения всегда служила ртуть в 2 N H_2SO_4 насыщенной Hg_2SO_4 .

Прибор помещался в водяной термостат с температурой 27,5°—28° C. Концентрация ионов ртути, появившихся в растворе в результате реакции саморастворения ртути, определялась нами полярографически. Плотность предельного тока восстановления перекиси водорода нам не всегда удавалось получить, так как наличие в растворе малейших загрязнений, вносимых пропускаемым газом, способствовало началу восстановления водорода; таким образом на предельный ток восстановления перекиси водорода накладывалось начало волны восстановления водорода.

Так как коэффициент диффузии ионов ртути в растворе 2 N H_2SO_4 неизвестен, то мы предварительно готовили путем анодного растворения раствор известной концентрации ионов ртути и снимали его полярограмму. Полярографическая кривая, снятая в таком растворе, изображена на рис. (кривая 1). По концентрации ионов ртути в растворе и предельному току восстановления ионов ртути, вычислялся коэффициент в формуле Ильковского, связывающий предельный ток и концентрацию восстанавливающегося вещества. За значение предельного тока брался ток при наложенном напряжении на капельный ртутный электрод, равном 0,4 В.

Вычисление концентрации перекиси водорода, образующейся в результате растворения ртути, по полярограмме приводит к большой относительной ошибке из-за отсутствия четкой площадки предельного тока восстановления перекиси водорода. Поэтому мы с целью доказательства эквивалентного образования в результате реакции ионов ртути и перекиси водорода готовили синтетические растворы с эквивалентным содержанием ионов ртути и перекиси водорода и снимали полярограммы. На рис. приведена полярограмма в $1,35 \cdot 10^{-4}$ M растворе Hg_2SO_4 в 2 N H_2SO_4 (кривая 1), $1,35 \cdot 10^{-4}$ M растворе перекиси водорода (кривая 2) и в растворе, содержащем $1,35 \cdot 10^{-4}$ M Hg_2SO_4 и $1,35 \cdot 10^{-4}$ M H_2O_2 (кривая 3), кружками изображена полярограмма раствора после опыта (кривая 4). Опыты по саморастворению ртути в данном случае велись без предварительной под-

овки раствора и электрода, так как нам было важно установить только отношение между предельным током восстановления Hg_2^{++} и H_2O_2 . Оводя опыты таким образом, мы избегали накопления в растворе H_2O_2 , связанного с катодной поляризацией электрода в атмосфере кислорода. Спадение полярограмм, снятых в растворах после опыта и синтетически изготовленных, вполне удовлетворительное и может служить доказательством образования H_2O_2 в результате реакции в количестве, эквивалентном количеству ионов ртути, перешедших в раствор. Небольшой максимум области электрокапиллярного нуля, выступающий на кривых 1 и 2,

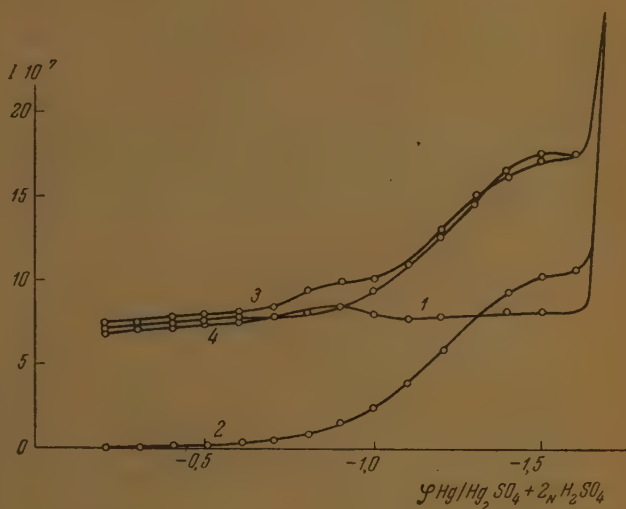


Рис. 3. Полярограммы растворов: 1— $1,35 \cdot 10^{-4} \text{ M Hg}_2\text{SO}_4 + 2\text{N H}_2\text{SO}_4$; 2— $1,35 \cdot 10^{-4} \text{ M H}_2\text{O}_2 + 2\text{N H}_2\text{SO}_4$; 3— $1,35 \cdot 10^{-4} \text{ M Hg}_2\text{SO}_4 + 1,35 \cdot 10^{-4} \text{ M H}_2\text{O}_2 + 2\text{N H}_2\text{SO}_4$; 4—раствора, в котором происходило саморастворение ртути

является максимумом второго рода, связанным с вытекательным движением ртути в капле. Отсутствие максимума на кривой 4 объясняется тем, что в раствор, в котором проводились опыты по саморастворению ртути, пропускаемым длительное время газом невольно вносятся загрязнения, которые в незначительном количестве подавляют максимумы II рода. Специальным опытом было показано, что перекись водорода не реагирует с ионами дивалентной ртути. Для этого готовились два раствора, один из которых содержал ионы ртути известной концентрации, а другой — эквивалентную концентрацию перекиси водорода. После этого равные объемы растворов смешивались. Снятая полярограмма показала, что концентрация дивалентных ионов ртути в растворе стала ровно в два раза ниже, как и следовало ожидать, из-за разбавления. В случае окисления одновалентных ионов в дивалентные предельный ток при смешении остался неизменным.

Для проверки того, разлагается ли часть перекиси водорода в результате стояния раствора, мы снимали полярограмму непосредственно после приготовления раствора с эквивалентным содержанием Hg_2^{++} и H_2O_2 и спустя двое суток; заметного изменения концентрации H_2O_2 в растворе не было обнаружено. Во всех случаях полярографического анализа учивался ток зарядки.

Результаты измерения зависимости потенциала покоящегося ртут-

ного электрода от плотности наложенного тока для реакции восстановления кислорода приведены в табл. 1 и на рис. 4.

Таблица 1

i А/см ²	φ
$7,05 \cdot 10^{-6}$	-0,159
$1,05 \cdot 10^{-5}$	-0,183
$1,41 \cdot 10^{-5}$	-0,201
$2,11 \cdot 10^{-5}$	-0,226
$2,82 \cdot 10^{-5}$	-0,245

Из приведенных данных следует, что для реакции восстановления кислорода существует линейная зависимость между потенциалом электрода и логарифмом плотности наложенного тока. Угол наклона прямой оказался равным 0,142.

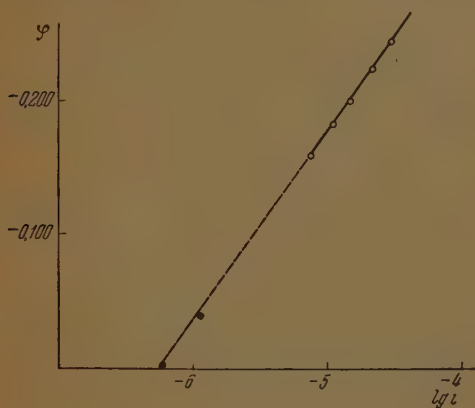


Рис. 4. Поляризационная кривая восстановления O_2 в $2N H_2SO_4$; сплошными кружками обозначены логарифмы, определенной на опыте плотности тока саморастворения ртути

Определив полярографически концентрацию ионов ртути в растворе после проведения опыта по саморастворению ртути, мы, зная объем раствора, которым был залит ртутный электрод, поверхность электрода и время течения опыта, вычисляли среднюю скорость растворения ртути \bar{i}_H и сравнивали ее со средней скоростью восстановления кислорода \bar{i}_{O_2} на растворявшемся ртутном электроде. Для вычисления последней величины кривая зависимости потенциала растворяющегося ртутного электрода от времени (рис. 2) делилась на n участков по времени таким образом, что в течение каждого отрезка времени изменение потенциала не превышало 3—4 мВ. На кривой зависимости потенциала от логарифма плотности тока (рис. 4) находилась скорость восстановления кислорода $i_{O_2}^k$, соответствующая среднему потенциалу электрода φ_k за данный k -й промежуток времени t_k , а затем и общее количество восстановившегося кислорода $i_{O_2}^k t_k$ за это время на 1 см² поверхности электрода. Суммированием количеств восстановившегося кислорода за все n промежутков времени было найдено общее количество восстановившегося

$$\text{кислорода } \sum_{k=1}^{k=n} i_{O_2}^k t_k.$$

Делением этой величины на время течения опыта мы получили среднюю скорость восстановления кислорода \bar{i}_{O_2} . Результаты измерений и расчета скорости саморастворения ртути приведены в табл. 2.

Таблица 2

Интервалы изменения потенциала электрода за время опыта	$\bar{i}_{O_2} \cdot 10^7$ кул./см ² сек.	$\bar{i}_{Hg} \cdot 10^7$, кул./см ² сек.	$\frac{\bar{i}_{Hg}}{\bar{i}_{O_2}}$
0,064—0,037	$11,7 \cdot 10^{-7}$	11,1	0,95
0,060—0,030	9,6	10,7	1,11
0,067—0,031	10,0	12,0	1,20
0,053—0,030	9,5	10,2	1,07
0,063—0,033	11,7	11,7	1,00
Среднее . . .	10,5	11,2	1,07
0,007—0,001	5,5	4,9	0,89
0,011—0,004	5,9	6,9	1,16
Среднее . . .	5,7	5,9	1,03

Из таблицы следует, что средние значения скорости саморастворения ртути и восстановления кислорода на растворяющемся ртутном электроде весьма близки и зависят от потенциала электрода; при этом как первая, так и вторая величины по мере сдвига потенциала в положительную сторону убывают.

Полученные результаты по скорости саморастворения ртути графически удобно изобразить следующим образом: на кривой зависимости потенциала от логарифма плотности тока для восстановления кислорода к среднему значению скорости восстановления кислорода на растворяющемся ртутном электроде, вычисленному вышеописанным способом, можно отнести средний потенциал ртути за время ее растворения, а затем отнести логарифм среднего значения определенной на опыте скорости саморастворения ртути с 1 см² поверхности \bar{i}_{Hg} к этому потенциалу. Такие точки изображены на рис. 4 сплошными кружками и практически попадают на продолжение поляризационной кривой.

Таким образом было показано, что на основании кинетических закономерностей, установленных для реакции электровосстановления кислорода поляризационными измерениями на ртутном электроде в условиях, когда реакция является единственной, можно определить скорость растворения ртути и образования перекиси водорода при потенциале саморастворения ртути. Если бы мы задали определенный режим размешивания, то значение потенциала саморастворения могло бы быть вычислено из уравнения реакции (4) и нормального потенциала электрода.

Действительно, из сформулированных выше положений следуют два отношения:

$$i_{O_2} = k_1 [O_2] e^{-\frac{\alpha n F}{RT}} \quad (5)$$

$$\varphi = (\varphi_0)_{Hg^{++}}^* + \frac{RT}{2F} \ln \frac{i_{Hg^{++}}}{(i_d)_{Hg^{++}}} \quad (6)$$

* Величину $\varphi_{Hg^{++}}^*$ при этом нужно относить к суммарному содержанию граммов ртути в литре раствора независимо от того, в каком виде ртуть находится в растворе.

где $[O_2]$ — концентрация кислорода в растворе, $i_{Hg^{++}}$ — наблюдаемый ток растворения ртути, равный разности между скоростью образования ионов ртути и их разрядом, $(i_d)_{Hg^{++}}$ — ток диффузии ртути при условии, что концентрация ртути в растворе равняется нулю, а концентрация у поверхности электрода — единице. Величина $(i_d)_{Hg^{++}}$ зависит, очевидно, от режима размешивания. Из уравнений (5) и (6) получается для стационарного значения потенциала саморастворения φ_s , при котором $i_o = i_n$

$$\varphi_s = \varphi_0 + \frac{RT}{F(2+\alpha)} \ln \frac{k'_1 [O_2]}{(i_d)_{Hg^{++}}} \quad (7)$$

где

$$k_1 = k_1 e^{-\frac{\alpha \varphi_0 F}{RT}}$$

Уравнение (7) определяет зависимость потенциала φ_s от концентрации кислорода $[O_2]$, величины $(i_d)_{Hg^{++}}$, т. е. иначе говоря, режима размешивания и φ_0 . Последняя величина, в свою очередь, зависит от комплексообразования в растворе и при увеличении прочности образующихся комплексов сдвигается к отрицательным значениям. Из уравнения (7) следует, что потенциал φ_s смещается в положительную сторону при увеличении $[O_2]$ и в отрицательную при увеличении интенсивности размешивания (увеличение $(i_d)_{Hg^{++}}$) и прочности образующихся в растворе комплексов. Заметим, что уравнение (5), а следовательно, и (7) правильны только при отсутствии концентрационной поляризации по кислороду. Нетрудно показать, что в том случае, когда скорость реакции определяется скоростью диффузии кислорода, вместо уравнения (7) имеет место соотношение

$$\varphi_s = \varphi_0 + \frac{RT}{2F} \ln [O_2] + \frac{RT}{2F} \ln \frac{(i_d)_{O_2}}{(i_d)_{Hg^{++}}},$$

где $(i_d)_{O_2}$ — предельный ток диффузии кислорода.

Выражаю искреннюю благодарность акад. А. Н. Фрумкину за ценные указания и советы при выполнении настоящей работы.

Выводы

Показано, что растворение ртути в 2 N H_2SO_4 в атмосфере кислорода сопровождается образованием эквивалентного количества переноси водорода. Скорость растворения ртути зависит от потенциала электрода и может быть определена на основании кинетических закономерностей, установленных для реакции электровосстановления кислорода поляризационными измерениями на ртутном электроде в условиях, когда эта реакция является единственной. Таким образом растворение ртути в 2 N H_2SO_4 в атмосфере кислорода протекает по электрохимическому механизму.

Академия Наук СССР
Институт физической химии
Москва

Поступила
21.III.1950

ЛИТЕРАТУРА

1. А. Н. Фрумкин, Труды 2-й конференции по коррозии металлов, АН СССР 1940, стр. 5; Я. М. Колотыркин и А. Н. Фрумкин, Журн. физ. химии, 15, 346, 1941.
2. З. А. Иофа и З. Б. Печковская, ДАН СССР, 59, 265, 1948; З. А. Иофа и О. Л. Капцан, Труды 2-й Всесоюзной конференции по электрохимии, Киев 1949, стр. 124.
3. Schönbein, Journ. prakt. Chem., 71, 285; 78, 63; 79, 65.

- M. Kolthoff a. C. S. Miller, Journ. Amer. Chem. Soc., **62**, 2171, 1940.
- И. Д. Томашов, Коррозия металлов с кислородной деполяризацией, Изд. АН СССР, М.—Л., 1947.
- А. И. Красильщиков, Журн. физ. химии, **18**, 537, 1944; **20**, 1187, 1946; **1**, 849, 1947; Сборн. работ по физ. химии, 403, 1947; А. И. Красильщиков В. А. Андреева, Журн. физ. химии, **20**, 1199, 1946. И. Д. Нефедова А. И. Красильщиков, Журн. физ. химии, **21**, 855, 1947.
- А. А. Иофа, Я. Б. Шимшелевичи Е. П. Андреева, Журн. физ. химии, **7**, 828, 1949.
- Graube, Ber. Deutsch. chem. Gesellsch., **26**, 1474, 1893; **18**, 1894, 1885.

КИНЕТИКА ГЕТЕРОГЕННОГО ГИДРОЛИЗА ПОЛИАМИДНЫХ ВОЛОКОН В КИСЛОЙ СРЕДЕ

*Е. К. Манкаш и А. Б. Пакивер**

Несмотря на то что поведение многочисленных классов высокополимеров (целлюлоза, полиамиды, полиэфир) при обработке кислотами имеет большое практическое значение, так как различные природные и искусственные волокна (среди них хлопок, шерсть, натуральный шелк, вискозный шелк) разрушаются кислотами, этот вопрос не был достаточно исследован и кинетика процесса гидролиза высокополимеров остается до настоящего времени недостаточно изученной.

Известно, что эфирные (кислородные, амидные и другие) связи легко разрываются в водной среде в присутствии гидроксоний-ионов. Реакция идет по схеме:



Разрывом цепевидных молекул при обработке водными растворами кислот объясняется потеря крепости шелка, шерсти, целлюлозных волокон. При повышенной температуре в кислой среде этот же процесс имеет место в гидролизной промышленности при получении сахаров и спирта из целлюлозы.

Процесс кислотного гидролиза высокополимерных веществ может происходить в гомогенной среде (в растворе) или в гетерогенных условиях, когда волокна подвергаются гидролитическому расщеплению, не теряя своего волокнистого состояния.

Наибольшее число работ было посвящено исследованию гетерогенного кислотного гидролиза целлюлозы в виде волокон или волокнистой массы. Среди этих работ необходимо, в первую очередь, упомянуть работы В. И. Шаркова [1], который привел многочисленные данные, подтверждающие, что гидролиз целлюлозы как в гомогенной, так и в гетерогенной среде происходит в присутствии большого избытка воды по уравнениям мономолекулярных реакций. Правда, при гидролизе целлюлозы в гетерогенных условиях, по данным В. И. Шаркова, постоянно констатируется не сразу, так как в первый период гидролиз протекает значительно скорее. Это же наблюдение дало повод Николсону [2], Фрилетту и Марку [3] и другим исследователям сделать вывод о том, что структура целлюлозных волокон неоднородна и что наряду с основной, трудно гидролизуемой частью в целлюлозе существует некоторое количество другого, легче гидролизуемого вещества. При этом без достаточного основания было принято, что трудно гидролизуемое вещество — из аморфной целлюлозы. Этот принципиальный вывод о кристаллическости целлюлозы был сделан названными авторами на основании кинетических исследований процесса гидролиза целлюлозных волокон в кислой среде. Поскольку эти выводы противоречат многочисленным исследованиям советских химиков (В. А. Каргин и Д. И. Лейпунская [4], В. А. Каргин и Н. В. Михайлов [5], В. А. Каргин и Г. Л. Слободский [6], В. А. Каргин и П. В. Козлов [7] и другие), нам казалось желательным подробнее исследовать процесс гидролиза высокополимеров с кинетической точки зрения. При этом мы отказались от исследования целлюлозных волокон, так как химическое строение целлюлозы весьма сложно. В качестве объекта исследования были взяты синтетические полиамидные волокна, строение которых значительно проще и для которых одновременное наличие в волокне кристаллической и аморфной фазы очень мало вероятно.

* В экспериментальной работе участвовала А. И. Кукошкова.

Одновременно мы вновь пересчитали экспериментальные данные Никерсона о разлизе целлюлозных волокон, используя закономерности, найденные нами для амидных волокон.

Гидролиз полиамидных волокон (шерсть, натуральный шелк, синтетические во-на) в кислой среде был подвергнут недавно изучению со стороны Эледа и Фрейлиха но эти авторы не пошли далее определения количества кислоты, связанной кон-ти группами в момент разрыва амидных связей по схеме (1). Таким образом нам шлось заново подойти к изучению процесса гидролиза высокополимеров, применив этой цели общие кинетические уравнения. Применение обычных кинетических внений первого порядка не могло дать положительных результатов, так как здесь имеем реакцию, идущую в гетерогенной среде и с наличием диффузионных де-пты

Для описания кинетики мономолекулярных реакций, протекающих в гетерогенной среде с торможением, вызываемым адсорбционными про-сами на катализаторе, А. В. Фростом [9] было выведено уравнение, позволяющее характеризовать скорость реакции и ее температурный коэффициент.

Аналогичное уравнение для гетерогенных реакций, в которых значи-тельную роль играют диффузионные процессы, было предложено Б. В. Дроз-ым и А. Л. Ротиняном [10] применительно к процессам выщелачивания, мывки и обжига пористых материалов. В приведенном виде это урав-ние имеет вид:

$$\frac{1}{t} \ln \frac{a}{a-x} = \alpha + \beta' \frac{x}{t}, \quad (4)$$

левая часть представляет собой выражение константы скорости реак-и первого порядка, коэффициент α характеризует скорость данной реак-и, а β' является коэффициентом торможения, вызываемого диффузией гентов через поверхностный слой материалов. Если количество пре-щенного вещества x выражено в долях единицы, и m — число г-молей рдого вещества на 1 г-моль реагента, то $m\beta' = \beta$, и уравнение (4) имеет вид:

$$\frac{1}{t} \ln \frac{1}{1-x} = \alpha + \beta \frac{x}{t}. \quad (5)$$

Константы α и β находятся в зависимости от величины коэффициента рфузии. Когда коэффициент диффузии D стремится к бесконечности ($\rightarrow \infty$), то β стремится к нулю ($\beta \rightarrow 0$) и α стремится к константе первого рядка ($\alpha \rightarrow k_1$), т. е. уравнение (5) принимает вид обычного уравнения ового порядка. В этом случае скорость диффузии значительно преобла-т над скоростью реакции, и кинетика определяется химической реак-ей.

В обратном случае, когда скорость диффузии мала по сравнению со скоростью реакции, кинетика определяется диффузией. Тогда пределом, которому стремится β , является величина, обратная начальной концен-ции: $\beta' \rightarrow 1$; $\beta \rightarrow m$; $D \rightarrow 0$ и $\alpha \rightarrow kD$. Реакция вообще не идет дальше поверхностного слоя.

Разделив α на β , мы получим величину, пропорциональную коэффи-иенту диффузии для данной реакции:

$$\frac{\alpha}{\beta} = k'D = \gamma; \quad (6)$$

с $k' = \frac{BS\mu}{v}$, где B — количество реагента в единице объема твердой ы, S — поверхность раздела фаз, v — объем реагента, μ — переходный эффициент от поверхностной к объемной концентрации.

Уравнение (5) в координатах $\frac{1}{t} \ln \frac{1}{1-x}$ и $\frac{x}{t}$ представляет прямую ли-ю, тангенс угла наклона которой к оси абсцисс дает величину β , а

отрезок, отсекаемый прямой на оси ординат от O , соответствующей величине α .

В случае обычных реакций первого порядка в гомогенной среде прямая идет параллельно оси абсцисс, $\beta = 0$. При нулевом порядке прямая идет параллельно оси ординат, т. е. $\frac{x}{t}$ — константа.

Экспериментальная часть

Гидролиз полиамидного волокна в гетерогенных условиях проводился следующим образом. Навеска в 2 г волокна обрабатывалась 100 мл титрованной кислоты (0,05 N или 0,2 N H_2SO_4) при 20, 77, 96 и 101°. Опыты при 20° ставились в герметически закрытых колбах в течение 5—90 суток и не дали заметных результатов. Опыты при 77—101° проводились путем нагревания на водяной бане или непосредственно на слабом огне, — с обратным холодильником, в течение 0,25—15 час. Количество кислотной связанной волокон, определялось титрованием. Количество NH_2 -групп определялось обратным титрованием свободной кислоты 0,1 N щелочью в присутствии метилоранжа. $COOH$ -группы определялись по разности расхода щелочи в присутствии двух индикаторов — метилоранжа и фенолфталеина.

Из полученных данных вычислялись

а) количество связанной кислоты в миллиэквивалентах на 1 г волокна; б) процент гидролиза полиамида по конечным группам NH_2 или $COOH$; в) молекулярный вес гидролизованного полиамида по формуле, предложенной В. В. Коршаком и С. Р. Рификовым [11].

$$M = \frac{10000}{b},$$

где b — количество миллилитров 0,1 N кислоты, пошедшей на связывание концов NH_2 -групп (соответственно — количество миллилитров 0,1 N щелочи, пошедшей на связывание концевых $COOH$ -групп).

Для исследования были взяты образцы полиамидного волокна с различной молекулярной структурой, являющейся следствием степени вытянутости волокна.

№ 1. Полиамидный шелк, вытянутый в производственных условиях в 4—4,5 раза.

2. Полиамидный шелк, невытянутый (взятый с прядильной машины).

№ 3. Полиамидный шелк, «полувытянутый», т. е. вытянутый в лаборатории вручную в 2 раза.

№ 4. Полиамидный шелк, «совершенно невытянутый» (фильерный).

№ 5. Полиамидный шелк, «регенерированный» (вытянутый в производстве шелк был нагрет без доступа воздуха в вазелиновом масле до 200° и подвергался сильной усадке).

Для сопоставления в таблицах приведены результаты кислотного гидролиза полиамидного шелка, нейлона и перлона [8] и кислотного гидролиза целлюлозных волокон — хлопка, лина, вискозного шелка [2].

В настоящей статье приведены только проценты гидролиза, вычисленные по связыванию кислоты концевой NH_2 -группой. Определение концевых $COOH$ -групп давало довольно близкие результаты и поэтому опускается в данной статье. Из приведенных данных по проценту гидролиза можно легко вычислить количество связанной кислоты (щелочи) на 1 г высокополимера и молекулярный вес гидролизованного полимера.

Действительно, если расход 0,1 N кислоты (щелочи) на связывание концевых NH_2 групп (соответственно $COOH$ -групп) равен b мл, то количество связанной кислоты равно

$$b' = 0,1 b \text{ миллиэквивалент/г волокна,}$$

процент гидролиза = $0,01 m_0 b$, где m_0 — молекулярный вес мономерной единицы остатка или при гидролизе полиамидного волокна:

$$\text{процент гидролиза} = 0,01 \cdot 113 b = 1,13 b.$$

$$\text{Молекулярный вес (см. выше)} = M = \frac{10000}{b}. \quad (9)$$

Таблица 1

Гидролиз полиамидного шелка при 77 и 90°

Время в часах	0,1 N° 77°	H ₂ SO ₄	0,05 N° 90°	H ₂ SO ₄
	№ 1	№ 2	найлон	перлон
5	1,12	1,87	0,72	0,85
10	1,40	2,77	1,0	1,12
25	1,60	4,72	1,1	1,5
50	1,70	6,90	1,45	2,2
100	1,75	7,20	—	—

* В этой и следующих таблицах номера образцов шелка соответствуют перечисленным выше образцам.

** Данные о гидролизе полиамидного шелка найлон и перлон взяты из работы Эледа и Фрелиха с пересчетом миллиэвивалентов связанной кислоты на процент гидролиза.

Таблица 2

Гидролиз полиамидного шелка при 97 и 101° в процентах 0,1 N H₂SO₄

Время в часах	№ 1		№ 2		№ 3		№ 4	№ 5
	96°	101°	96°	101°	96°	101°	101°	101°
0,5	—	0,75	0,42	1,4	1,9	2,75	2,25	2,4
1	0,45	1,0	0,75	1,65	3,15	3,5	2,95	2,65
2	0,75	1,15	1,2	2,05	3,9	4,2	3,85	2,9
5	1,05	1,20	1,7	2,55	4,53	4,55	4,55	3,25
10	1,1	1,27	2,15	—	—	5,0	—	—

Таблица 3

Влияние концентрации кислоты на гидролиз полиамидного шелка.
Шелк вытянутый

Время в часах	96°			101°		
	0,05 N	0,1 N	0,2 N	0,05 N	0,1 N	0,2 N
0,5	—	2,0	3,75	0,75	2,24	5,5
1,0	0,62	2,15	5,45	1,1	2,58	6,3
2,0	0,9	2,33	5,75	1,58	2,8	6,6
5,0	1,25	2,45	7,45	1,90	3,20	7,4
10,0	1,58	2,54	8,0	2,15	3,9	8,6

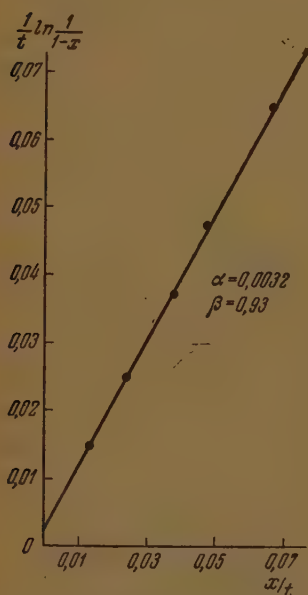
Приведенные экспериментальные данные были пересчитаны по уравнению (5) в предположении, что процесс подчиняется кинетическому уравнению первого порядка и тормозится диффузией реактива в глубь волокна.

Во всех случаях были получены величины, точно укладывающиеся на прямой линии в координатах $\frac{1}{t} \ln \frac{1}{1-x}$ и $\frac{x}{t}$, т. е. вполне удовлетворяющие уравнению (5) (см. рисунок). Вычисленные из этого уравнения величины α , β и γ приведены в табл. 5.

Таблица 4

Гидролиз целлюлозных волокон в процентах. Обработка 2,45N HCl+0,6 мол. FeCl₃ при 101° по Никерсону и Хэбл [2] степень гидролиза определялась по отщеплению CO₂/C₆H₁₀O₅; пересчеты в табл. 4 произведены нами)

Время в часах	Хлопок	Линт. оисл.	Гидроцелл.	Висков. шелк
0,5	1,8	—	7,5	6,0
1,0	3,0	10,6	9,2	9,2
2,0	4,2	13,0	12,6	13,5
3,0	—	15,2	—	—
4,0	5,5	—	17,0	18,2
5,0	—	18,0	—	—
6,0	6,1	—	—	21,0
7,0	—	22,0	21,9	—



Кинетика гидролиза совершенно невтянутого шелка в 0,1N H₂SO₄ при 101° C

Результаты, приведенные в табл. 5, показывают, что во всех случаях гетерогенного гидролиза высокополимерных веществ в кислой среде процесс складывается из химического разрыва эфирной связи по схемам (1) (2) и (3) и из диффузии реактива в глубь волокна. Таким образом суммарно процесс описывается уравнением (5). Процесс протекает по этому механизму как в более простом случае гидролиза полиамидных волокон, так и в более сложном случае гидролиза целлюлозных волокон. При этом нет нужды привлекать для объяснения этого процесса мало вероятные представления о многофазной структуре высокополимерных волокон и о наличии в волокнах кристаллической и аморфной структуры. Во всех случаях кинетика гидролиза полностью описывается простым кинетическим уравнением, учитывающим замедление реакции вследствие возрастающего сопротивления слоя вещества, через который происходит диффузия реактива.

Таблица 5

Сводка кинетических констант α , β и γ по уравнению (5)

Волокно	Концентр. $N H_2SO_4$	Темп. $^{\circ}C$	α	β	γ	Примечание
полиамидн., вытянутое	0,1 N	77	0,00002	0,88	0,000023	
» »	0,1 N	96	0,00020	1,0	0,00020	
» »	0,1 N	101	0,00020	0,99	0,00020	
полиамидн., не вытянутое	0,1 N	77	0,00010	0,94	0,00011	
» же	0,1 N	96	0,00020	0,98	0,00021	
»	0,1 N	101	0,00180	0,75	0,0024	
полиамидн., полувытян.	0,1 N	96	0,00100	0,90	0,0010	
» же	0,1 N	101	0,00200	1,0	0,0020	
энергич.		101	0,00250	1,04	0,0024	
полиамидн. совершенно не вытянут.	0,1 N	101	0,0032	0,93	0,0035	
полиамидн. вытянутое	0,05 N	96	0,00023	0,97	0,00025	
» »	0,005 N	101	0,0005	0,90	0,00055	
» »	0,2 N	96	0,0005	0,93	0,00054	
» »	0,2 N	101	0,0010	1,0	0,0010	
полиамидн. шелк найлон	0,05 N	90	$\sim 0,006$	1,0	0,020	По данным Эледа [8]
» же перлон	0,05 N	90	$\sim 0,012$	1,0	0,012	
целлюлоз. волокна: хлопчатоб.	2,45 N	101	0,0005	1,0	0,0005	По данным Никерсона [2]
линт	2,45 N	101	0,0010	1,0	0,0010	
гидроцел.	2,45 N	101	0,0080	1,0	0,0080	
вискозн. шелк.	2,45 N	101	0,0085	1,01	0,0085	

Одновременно, приведенные данные показывают, что кинетика реакции диффузии зависит от молекулярной структуры волокна. С увеличением степени вытягивания волокна (возрастание ориентации макромолекул) как для полиамидных, так и для целлюлозных волокон коэффициенты α и γ уменьшаются; тем самым эти кинетические коэффициенты могут быть использованы для оценки молекулярной структуры высокомолекулярного вещества.

Выводы

1. Гидролиз полиамидных и целлюлозных волокон в гетерогенных условиях в кислой среде хорошо описывается уравнением (5), предусматривающим ход реакции по уравнению первого порядка с замедлением вследствие диффузии.
2. Предположение о наличии многофазной структуры высокомолекулярных волокон (кристаллическая и аморфная фаза) становится излишним.
3. Кинетическое уравнение (5) позволяет оценить молекулярную структуру высокомолекулярных волокон: с увеличением констант α и γ молекулярная структура волокна становится более доступной для гидролиза, как для волокон менее вытянутых, и степень ориентации молекул меньше.
4. Степень ориентации молекулы в полиамидных волокнах, судя по кинетике кислого гидролиза в гетерогенной среде, может быть расположена в ряд.

Совершенно невытянутое волокно (фильтровая рвань) < «регенерированное» волокно (подвергавшееся усадке при 200°) < не вытянутое волокно < вытянутое в 4 раза волокно.

Аналогично для целлюлозных волокон степень ориентации макромолекул возрастает следующим образом: вискозный шелк < линт < хлоп.

5. С увеличением температуры и концентрации кислоты скорости гидролиза и диффузии возрастают.

Химико-технологический институт
Иваново

Поступила
3.III.1950

ЛИТЕРАТУРА

1. В. И. Шарков, Гидролизное производство, Гослестехиздат, М., 1945.
2. R. Nickerson a. J. Hable, Ind. Eng. Chem., **39**, 1507, 1947; **37**, 111, 1945; C. Conrad a. A. Scroggie, Ind. Eng. Chem., **37**, 592, 1945.
3. V. Frilette, J. Haule, H. Mark, Journ. Amer. Chem. Soc., **70**, 11, 1948; H. Philipp, M. Nelson, H. Zifle, Text. Res. Journ., **11**, 5, 1947.
4. В. А. Каргин, и Д. И. Лейпунская, Журн. физ. химии, **14**, 3, 1940, **15**, 1011, 1941.
5. В. А. Каргин и Н. В. Михайлов, Acta Phys.-Chim., **11**, 343, 1939; Журн. физ. хим., **14**, 195, 1940.
6. В. А. Каргин и Г. Л. Слонимский, Журн. техн. физ., **11**, 341, 19, Acta Phys.-Chim., **12**, 931, 1940; Журн. физ. химии, **15**, 9, 1941.
7. В. А. Каргин и П. В. Козлов, К. Ф. Х. П., **6**, 40, 1940.
8. E. Elöd a. H. Frölich, Mell Text., **30**, 103, 239, 1949.
9. А. В. Фрост, Вестн. МГУ, № 3—4, 111, 1946.
10. А. Л. Ротинян и Б. В. Дроздов, Журн. общ. химии, **19**, 1843, 1949.
11. В. В. Коршаки и С. Р. Рафиков. Синтез и исследование высокомолекулярных соединений, Изд-во АН СССР, М., 1949.

КОНСТАНТЫ УСТОЙЧИВОСТИ НЕКОТОРЫХ КОМПЛЕКСНЫХ СОЕДИНЕНИЙ СВИНЦА

К. Б. Яцимирский

В предыдущей статье [1] были выведены основные закономерности носительно устойчивости комплексных ионов в водном растворе. С целью проверки этих закономерностей было предпринято настоящее экспериментальное исследование, посвященное измерению констант устойчивости некоторых комплексов свинца. Нами было показано, что комплексы свинца устойчивости должны быть близкими к комплексам кадмия, отличаясь лишь несколько меньшей устойчивостью. В ряду анионов-аддендов устойчивость комплексов убывает в следующем порядке:



Несколько неясно в этом ряду положение роданид-иона. В случае роданидных комплексов $[\text{Hg}(\text{CNS})_4]^{2-}$ оказывается близким по устойчивости $[\text{HgBr}_4]^{2-}$. Для остальных же рядов данные отсутствуют.

На основании всего вышесказанного представляется возможным оценить константы устойчивости некоторых комплексов свинца. Константы устойчивости тиосульфатных комплексов кадмия: $[\text{Cd}(\text{S}_2\text{O}_3)_2]^{2-}$ и $[\text{Cd}(\text{S}_2\text{O}_3)_3]^{4-}$ соответственно равны 10^6 и 10^7 по данным Феррели, Риджтона и Рилей [2].

Приведенные значения являются верхним пределом для констант устойчивости соответствующих тиосульфатных комплексов свинца. Константа устойчивости $[\text{PbJ}_3]^-$ равна $2,78 \cdot 10^6$ по И. М. Коренману [3] и $4,5 \cdot 10^4$ по данным Лэнфорда [4]. Эти значения являются нижним пределом для констант устойчивости тиосульфатного комплекса свинца, так как тиосульфатные комплексы прочнее иодидных. Следовательно, для констант устойчивости $[\text{Pb}(\text{S}_2\text{O}_3)_2]^{2-}$ получаем $10^6 > K_y > 10^5$ и для $[\text{Pb}(\text{S}_2\text{O}_3)_3]^{4-}$ получаем $10^7 > K_y > 10^6$.

Используя данные для констант устойчивости $[\text{CdBr}_3]^-$ и $[\text{PbCl}_3]^-$, мы нашли пределы для констант устойчивости $[\text{PbBr}_3]^-$ $2500 > K_{\text{PbBr}_3}^- > 24$.

В связи с отсутствием данных по устойчивости роданидных комплексов кадмия аналогичную оценку для констант устойчивости роданидных комплексов свинца произвести невозможно, можно было лишь с уверенностью говорить о существовании подобных комплексов, так как в случае ртути подобные комплексные вещества существуют и по устойчивости сравнимы с устойчивостью бромидных комплексов.

Для проверки высказанных здесь соображений были предприняты опыты по определению констант устойчивости тиосульфатных и роданидных комплексов свинца.

Экспериментальная часть

Для определения констант устойчивости тиосульфатных комплексов свинца были произведены опыты по определению растворимости тиосульфата свинца в растворах тиосульфата натрия различной концентрации при 25°С.

Тиосульфат свинца был приготовлен путем смешивания раствора $\text{Na}_2\text{S}_2\text{O}_3$ и $\text{Pb}(\text{NO}_3)_2$, тщательным промыванием выпавшего осадка и высушиванием его. Чистота полученного продукта контролировалась химическим анализом.

PbS_2O_3 вносился в растворы тиосульфата натрия различной концентрации. Полученная смесь помещалась в ультратермостат и выдерживалась там при частом

взбалтывании 6—8 час. Концентрация тиосульфата определялась иодометрически до внесения в раствор тиосульфата свинца и после достижения равновесия (предварительные опыты показали, что равновесие достигается уже через 3—4 часа). Изменение концентрации тиосульфата представляло собой растворимость PbS_2O_3 .

Результаты этих опытов приводятся в табл. 1.

Предварительно была определена растворимость PbS_2O_3 в воде таким иодометрическим методом. Она оказалась равной $6,32 \cdot 10^{-4}$ моль/литр при 25°C .

Для определения констант устойчивости роданидных комплексов свинца измерялась растворимость роданида свинца в растворах роданистого калия различной концентрации.

Таблица 1

Растворимость тиосульфата свинца в растворах тиосульфата натрия

Начальная концентрация $\text{Na}_2\text{S}_2\text{O}_3$	Конечная концентрация $\text{S}_2\text{O}_3^{2-}$ (суммарная)	Растворимость PbS_2O_3	Концентрация свободного $\text{S}_2\text{O}_3^{2-}$	Вычисленная концентрация комплексных ионов		Вычисленная растворимость PbS_2O_3
				концентрация $[\text{Pb}(\text{S}_2\text{O}_3)_2]^{2-}$	концентрация $[\text{Pb}(\text{S}_2\text{O}_3)_3]^{3-}$	
0,025	0,027	0,002	0,023	0,001 ₃	0,000 ₅	0,001 ₇
0,046	0,050	0,004	0,041	0,002 ₂	0,001 ₅	0,003 ₇
0,069	0,075	0,006	0,059	0,003 ₃	0,003 ₁	0,006 ₄
0,101	0,110	0,009	0,083	0,004 ₄	0,006 ₁	0,010 ₄
0,107	0,118	0,011	0,088	0,004 ₃	0,006 ₅	0,011 ₇
0,137	0,155	0,018	0,111	0,006 ₅	0,010 ₅	0,016 ₅
0,172	0,195	0,023	0,133	0,007 ₃	0,015 ₅	0,023 ₃
0,193	0,219	0,026	0,146	0,007 ₇	0,019 ₉	0,026 ₇
0,241	0,278	0,037	0,176	0,009 ₅	0,027 ₆	0,037 ₁

Роданистый свинец был приготовлен также путем смешивания растворов KCNS и $\text{Pb}(\text{NO}_3)_2$, полученный осадок многократно промывался, высушивался при 100°C . Чистота $\text{Pb}(\text{CNS})_2$ была проконтролирована химическим анализом.

Роданид свинца вносился затем в растворы роданида калия различной концентрации. Концентрация роданида определялась аргентометрическим методом. Полученная соль помещалась в ультратермостат и выдерживалась в нем при 25°C в течение 6—8 час. при частом взбалтывании. После достижения равновесия концентрация свинца в растворе определялась колориметрическим методом с сероводородом.

Результаты опытов приводятся в табл. 2

Таблица 2

Растворимость роданида свинца в растворах роданида калия

Концентрация роданида в растворе	Растворимость $\text{Pb}(\text{CNS})_2$	Концентрация свободного CNS^-	Концентрация Pb^{2+}	Концентрация $[\text{Pb}(\text{CNS})_2]^-$	Концентрация $[\text{Pb}(\text{CNS})_3]^{2-}$	Вычисленная растворимость $\text{Pb}(\text{CNS})_2$
0,0460	0,0099	0,0460	0,0095	—	—	0,0095
0,0640	0,0057	0,0640	0,0049	—	—	0,0049
0,1089	0,0019	0,1089	0,0017	—	—	0,0017
0,1324	0,0016	0,1324	0,0012	—	—	0,0012
0,2630	0,0009	0,2630	0,0003	—	—	0,0003
0,4660	0,0008	0,4657	0,0001	0,0001	—	0,0002
0,6953	0,0006	0,6950	—	0,0001	—	0,0001
1,065	0,0006	1,064	—	0,0002	—	0,0002
2,771	0,0010	2,766	—	0,0005	0,0006	0,0011
4,023	0,0029	4,006	—	0,0008	0,0026	0,0034
5,000	0,0068	4,961	—	0,0010	0,0061	0,0071
6,019	0,0138	5,939	—	0,0012	0,0126	0,0138
7,550	0,0330	7,365	—	0,0016	0,0301	0,0317

Растворимость $\text{Pb}(\text{CNS})_2$ при 25°C определялась нами по концентрации роданида в насыщенном растворе и оказалась равной $39 \cdot 10^{-2}$ моль/литр.

Обсуждение результатов

Растворимость тиосульфата свинца в растворах $\text{Na}_2\text{S}_2\text{O}_3$ резко возрастает с увеличением концентрации последнего. Это явление может быть объяснено протекающими в системе процессами комплексобразования:



Образующиеся комплексы характеризуются определенными константами устойчивости (K_1 и K_2):

$$\frac{a_{\text{Pb}(\text{S}_2\text{O}_3)_2^{2-}}}{a_{\text{Pb}^{2+}} a_{\text{S}_2\text{O}_3^{2-}}^2} = K_1, \quad (1)$$

$$\frac{a_{\text{Pb}(\text{S}_2\text{O}_3)_3^{4-}}}{a_{\text{Pb}^{2+}} a_{\text{S}_2\text{O}_3^{2-}}^3} = K_2, \quad (2)$$

где a , с соответствующими индексами, — активности реагирующих ионов. Переходя к концентрациям, получаем

$$\frac{[\text{Pb}(\text{S}_2\text{O}_3)_2^{2-}]}{[\text{Pb}^{2+}] [\text{S}_2\text{O}_3^{2-}]^2} = K'_1. \quad (3)$$

$$\frac{[\text{Pb}(\text{S}_2\text{O}_3)_3^{4-}]}{[\text{Pb}^{2+}] [\text{S}_2\text{O}_3^{2-}]^3} = K'_2. \quad (4)$$

В этих уравнениях K'_1 и K'_2 — условные значения констант, связанные с истинными общеизвестными соотношениями:

$$K'_1 = K_1 \frac{f_{\text{Pb}^{2+}} f_{\text{S}_2\text{O}_3^{2-}}^2}{f_{\text{Pb}(\text{S}_2\text{O}_3)_2^{2-}}}; \quad (5)$$

$$K'_2 = K_2 \frac{f_{\text{Pb}^{2+}} f_{\text{S}_2\text{O}_3^{2-}}^3}{f_{\text{Pb}(\text{S}_2\text{O}_3)_3^{4-}}}, \quad (6)$$

где f , с соответствующими индексами, — коэффициенты активности реагирующих ионов.

К сожалению, в настоящее время оценить коэффициенты активности реагирующих ионов не представляется возможным, можно лишь предполагать, что соответствующие множители при K_1 и K_2 остаются примерно постоянными, и вместо истинных констант мы пользуемся условными (K'_1 и K'_2).

Для растворимости тиосульфата свинца в растворах тиосульфата натрия получается следующее выражение:

$$S = p + q[\text{S}_2\text{O}_3^{2-}] + r[\text{S}_2\text{O}_3^{2-}]^2, \quad (7)$$

в этом выражении p — концентрация Pb^{2+} и PbS_2O_3 , q и r — коэффициенты, соответственно равные

$$q = L_p K'_1; \quad (8)$$

$$r = L_p K'_2 \quad (9)$$

L_p — произведение растворимости PbS_2O_3 .

В целях дальнейшего упрощения можно пренебречь величиной L , так как она неизмеримо меньше остальных членов уравнения (7) и находится в пределах ошибок опытов:

$$S = q [S_2O_3^{2-}] + r [S_2O_3^{2-}]^2. \quad (10)$$

Значения q и r были найдены из уравнения (10) по методу наименьших квадратов. Для них получены следующие значения: $q = 0,054$, $r = 0,892$.

На основании вышеприведенного значения растворимости PbS_2O_3 мы вычислили произведение растворимости этой соли:

$$L_{PbS_2O_3} = 3,99 \cdot 10^{-7}.$$

Применяя эту величину и соотношения (8) и (9), мы нашли следующие значения для констант устойчивости:

$$K'_1 = 1,35 \cdot 10^5,$$

$$K'_2 = 2,23 \cdot 10^6.$$

Эти значения констант устойчивости полностью согласуются с вышеприведенными оценками их величины на основании использования выведенных рядов устойчивости комплексных ионов.

В последних столбцах табл. 1 приводятся вычисленные при помощи приведенных констант концентрации комплексных ионов $[Pb(S_2O_3)_2]^{2-}$ и $[Pb(S_2O_3)_3]^{4-}$, а также суммарная концентрация комплексных ионов свинца в растворе. Вычисленные значения суммарной концентрации комплексных ионов удовлетворительно совпадают с найденными на опыте значениями растворимости тиосульфата свинца в растворах тиосульфата натрия.

Приведенные данные показывают, что при низких концентрациях тиосульфата преобладающим ионом является $[Pb(S_2O_3)_2]^{2-}$, при более высоких концентрациях тиосульфата преобладает $[Pb(S_2O_3)_3]^{4-}$.

Рассмотрение данных по растворимости роданида свинца в растворах роданида калия показывает, что с повышением концентрации роданида калия вначале растворимость резко уменьшается в соответствии с правилом произведения растворимости, затем, начиная с $0,7 - 1,0 M$ концентрации KCNS, начинается увеличение растворимости, при более высоких концентрациях KCNS, наблюдается резкое увеличение растворимости пропорционально четвертой степени концентрации роданида в растворе.

Таким образом нам представляется несомненным в данном случае существование комплексного иона $[Pb(CNS)_6]^{4-}$. Условное значение константы устойчивости этого иона может быть вычислено, и оно оказывается равным

$$K'_y = 0,5,$$

где

$$K'_y = K \frac{f_{Pb^{2+}} f_{CNS^-}^6}{f_{Pb(CNS)_6^{4-}}}.$$

Произведение же растворимости $Pb(CNS)_2$ на основании проведенных измерений равно $2,00 \cdot 10^{-5}$.

Если допустить существование в растворе только комплексного иона $[Pb(CNS)_6]^{4-}$, то зависимость между растворимостью $Pb(CNS)_2$ и концентрацией KCNS выразится следующим образом:

$$S = \frac{L_p}{[CNS^-]^3} + K'_y L_p [CNS^-]^4 \quad (11)$$

и, переходя к численным значениям L_p и K'_y ,

$$S = \frac{2,00 \cdot 10^{-5}}{[\text{CNS}^-]^2} + 1,0 \cdot 10^{-5} [\text{CNS}^-]^4. \quad (12)$$

Уравнение (12) в первом приближении правильно передает ход изменения растворимости $\text{Pb}(\text{CNS})_2$ при изменении концентрации KCNS . В частности, дифференцирование этого уравнения показывает, что растворимость $\text{Pb}(\text{CNS})_2$ проходит через минимум при $1M$ концентрации NS , что также соответствует опытным данным. Однако значения растворимости $\text{Pb}(\text{CNS})_2$ в интервале концентраций KCNS от $0,26$ до $7M$ превосходят вычисленные по уравнению (12). Подобного рода отклонения можно объяснить увеличением растворимости $\text{Pb}(\text{CNS})_2$ вследствие возрастания ионной силы раствора, или вследствие образования комплексного иона $[\text{Pb}(\text{CNS})_3]^-$. При допущении существования такого иона с константой устойчивости, равной 10 , экспериментальные данные лучше согласуются с вычисленными. Тем не менее существование $[\text{Pb}(\text{CNS})_3]^-$ нельзя считать строго доказанным.

Наконец, оценка значения константы устойчивости $[\text{PbBr}_3]^-$ была произведена нами на основании данных Бэриджа [5] о растворимости Br_2 в растворах KBr . К сожалению, у Бэриджа приводятся данные лишь для нескольких точек, и поэтому можно говорить лишь о довольно грубой оценке константы устойчивости $[\text{PbBr}_3]^-$. Величина ее составляет $= 2 \cdot 10^3$, что находится в согласии с оцененным выше значением.

Выводы

1. На основании измерения растворимости тиосульфата свинца в растворах тиосульфата натрия и растворимости роданида свинца в растворах роданида калия вычислены константы устойчивости комплексных ионов $[\text{Pb}(\text{S}_2\text{O}_3)_2]^{2-}$, $[\text{Pb}(\text{S}_2\text{O}_3)_3]^{4-}$ и $[\text{Pb}(\text{CNS})_6]^{4-}$, оказавшиеся соответственно равными $1,35 \cdot 10^5$, $2,23 \cdot 10^6$ и $0,5$.

2. Вычисленные значения для констант устойчивости тиосульфатных комплексов свинца и оцененное значение для $[\text{PbBr}_3]^-$ находятся в согласии с предсказанными на основании теоретических соображений.

Химико-технологический институт
Иваново

Поступила
31.III.1950

ЛИТЕРАТУРА

- К. Б. Якимирский, Журн. физ. химии, **25**, 221, 1951.
E. Feggel, J. M. Ridgton, H. L. Riley, Journ. Chem. Soc., 1125, 1936.
И. М. Коренман, Журн. общ. химии, **16**, 157, 1946.
E. Lanford, Journ. Amer. Chem. Soc., **63**, 667, 1941.
L. J. Burgge, Journ. Chem. Soc., **129**, 703, 1926.

ВЛИЯНИЕ ПОВЫШЕННОЙ СТРУКТУРНОЙ ВЯЗКОСТИ НА ПРОЦЕСС КРИСТАЛЛИЗАЦИИ ДВОЙНЫХ ЭВТЕКТИК В ТРОЙНЫХ СИСТЕМАХ

С. В. Авакян и Н. Ф. Лашко

Процесс кристаллизации двойных эвтектик может претерпевать значительные нарушения под влиянием некоторых факторов. Наиболее существенными факторами, влияющими на этот процесс, являются состав сплавов или растворов, их температура кристаллизации, степень их переохлаждения, присутствие в сплаве примесей — поверхностно-активных или неактивных, вязкость жидкой фазы.

Изучение влияния этих факторов поможет расширить наши возможности управления процессом кристаллизации двойных эвтектик.

В предыдущих работах нами было изучено влияние состава сплава и температуры на процесс кристаллизации и структуру двойной эвтектики, а также влияние поверхностно-активных веществ на этот процесс [1—5].

В настоящей работе изложены результаты, полученные при изучении влияния повышенной структурной вязкости на процесс кристаллизации двойной эвтектики.

Известно, что с понижением температуры вязкость веществ, в том числе металлов и сплавов, заметно повышается. Кроме того, оказывается, что особенно повышена вязкость у жидкостей в переохлажденном состоянии, например у стекол, смол и др. С другой стороны, установлен определенный характер влияния переохлаждения на процесс кристаллизации двойных эвтектик. Поэтому совершенно необходимо изучить влияние вязкости в таком образом, проанализировать влияние степени переохлаждения на этот процесс.

Кристаллизация сплава или раствора происходит, главным образом, диффузионным путем. Однако диффузия — процесс, протекающий сравнительно медленно, даже в условиях жидкого состояния. Поэтому в процессе кристаллизации значительную роль играют концентрационные и конвекционные токи, которые постоянно перемешивают жидкость и способствуют выравниванию концентрационных и тепловых отклонений, возникающих в жидкой фазе. Повышенная вязкость жидкости должна прежде всего затруднять протекание этих выравнивающих процессов.

Изучение влияния повышенной вязкости на процесс кристаллизации двойной эвтектики было проведено на криогидратных системах. Как известно, вязкость криогидратных растворов можно искусственно повысить путем введения в них какого-либо гидрофильного коллоида, например, агар-агара или желатины. Однако, как показали опыты, истинно растворимые вещества диффундируют в студень приблизительно с такой же скоростью, как и в чистую воду. Таким образом, если повышение истинной вязкости растворов и сплавов сопровождается уменьшением скоростей диффузии их компонентов и интенсивности концентрационных и тепловых токов, то введение в водный раствор гидрофильных коллоидов способствует, главным образом, устранению концентрационных и тепловых токов и почти не изменяет скоростей диффузии растворенных веществ. Поэтому условия кристаллизации двойной эвтектики из раствора, обладающего истинной повышенной вязкостью, вследствие, например, сильного переохлаждения, не тождественны условиям, при которых протекает этот



Рис. 1

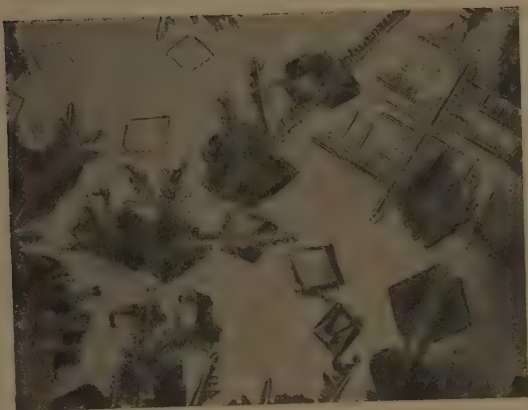


Рис. 2

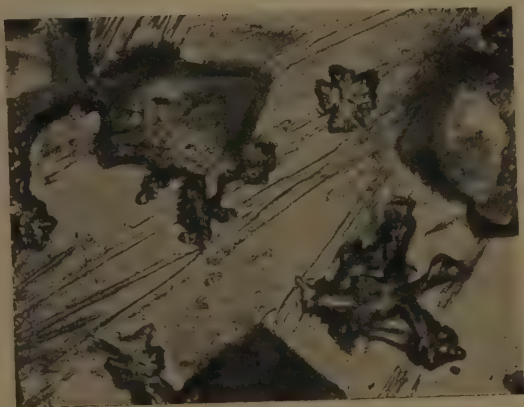


Рис. 3

цесс в растворе, вязкость которого искусственно повышена путем введения в него гидрофильного коллоида.

Описание опытов

Изучение влияния повышенной структурной вязкости проведено на двух криогидратных растворах $KCl - K_2Cr_2O_7 - H_2O$ и $O_3 - NaNO_3 - H_2O$. Вязкость этих растворов искусственно повышалась путем введения в них японского агар-агара.

Введение в эти растворы 0,15 % (весовых) агар-агара было достаточным для того, чтобы при комнатной температуре они существовали в форме геля, т. е. в них практически отсутствовали концентрационные и конвекционные токи.

Процесс кристаллизации двойных эвтектик $KCl - K_2Cr_2O_7$ и $KNO_3 - NaNO_3$ наблюдался при испарении из них воды. Предварительно было установлено, что скорость испарения воды из растворов как с повышенной структурной вязкостью, так и с нормальной вязкостью практически одинакова. Далее, было исследовано влияние повышенной структурной вязкости на характер кристаллизации каждой соли из ее водного раствора. Повышенная вязкость водных растворов азотнокислого калия и хромпика обуславливает менее интенсивное развитие того же вида дендритов, которые образуются в этом растворе с нормальной вязкостью. Кристаллизация протекает медленнее в начале процесса и быстрее к концу, сопровождается образованием более тонких дендритов. Форма кристаллов солей KCl и $NaNO_3$ при кристаллизации их в аналогичных условиях вначале также почти не отличается от формы кристаллов этих солей в растворе без агар-агара и протекает несколько медленнее, чем в условиях нормальной вязкости раствора. Однако к концу процесса наблюдается резкое возрастание скорости кристаллизации, а кристаллы продолжают свой рост в дендритной форме.

Характер кристаллизации двойной эвтектики $KNO_3 - NaNO_3$ из водного раствора, одновременно насыщенного обеими солями, при испарении в условиях повышенной структурной вязкости вначале ничем не отличается от этого процесса, протекающего в условиях нормальной вязкости. Одновременно в растворе порознь возникают и растут кристаллы обеих фаз в прежней форме. От места соприкосновения двух кристаллов различия фаз начинают последовательно кристаллизоваться обе фазы, образуя колонии двойной эвтектики (рис. 1, 2). К концу процесса наблюдается резкое увеличение линейной скорости кристаллизации дендритов ведущей фазы. Очевидно, линейная скорость роста ведомой фазы значительно отличается от скорости роста ведущей, но все же эвтектическая колония развивается в прежней своей форме. Вслед за ведущей фазой начинается интенсивная дендритная кристаллизация ведомой фазы как из углов эвтектической колонии, так и от ее граней (рис. 3).

Кристаллизация двойной эвтектики $KCl - K_2Cr_2O_7$ из их криогидратного раствора, близкого по составу к тройной-эвтектике в условиях повышенной структурной вязкости раствора вначале ничем не отличается от процесса, происходящего в растворах с нормальной вязкостью. Вначале образуются и порознь растут кристаллы обеих фаз. Различная окраска фаз позволяет качественно наблюдать постепенное изменение состава жидкости вокруг растущих кристаллов: вокруг бесцветных кристаллов хлористого калия жидкость приобретает темнокрасный цвет, вокруг желто-красных кристаллов хромпика — обесцвечивается. При соприкосновении кристаллов двух фаз каемка темнокрасной жидкости вокруг кристаллов хлористого калия сужается, и одновременно, жидкость вокруг кристалла хромпика из бесцветной становится темнокрасной. Сдвиг жидкости вокруг кристаллов хлористого калия хромпиком приводит к возобновлению интенсивного роста кристалла хлористого калия в дендритной форме.

Обсуждение результатов

Таким образом полученные результаты позволяют сделать следующее заключение о влиянии повышенной структурной вязкости на процесс кристаллизации двойных эвтектик из криогидратных растворов. Прежде всего необходимо отметить, что повышенная структурная вязкость не нарушает протекания нормального процесса кристаллизации двойных эвтектик. Повышенная структурная вязкость лишь замедляет скорость этого процесса. Далее такое замедление скорости роста кристаллов фаз эвтектических колоний приводит к постепенному пересыщению раствора обоими компонентами. При определенной степени пересыщения наблюдается резкое увеличение скорости роста фаз в дендритной форме.

Влияние степени переохлаждения, как было показано нами в предыдущей работе, начиная с некоторых значений, приводит к нарушению процесса кристаллизации двойной эвтектики. Это нарушение проявляется в неодновременности возникновения и роста кристаллов обеих фаз. Сначала возникают и растут кристаллы одной из фаз, а затем, спустя некоторое время, тем большее, чем больше степень переохлаждения, появляются и растут кристаллы другой фазы. В растворах, содержащих достаточное количество двойной эвтектики ($\text{KNO}_3 - \text{NaNO}_3$), наблюдается увеличение линейной скорости кристаллизации ведущей фазы и возникновение дендритных форм роста. При больших степенях переохлаждения в исследованных криогидратных системах наблюдается полное подавление процесса кристаллизации одной из фаз вплоть до появления тройной эвтектики.

Сравнение полученных результатов по влиянию повышенной структурной вязкости и степени переохлаждения на процесс кристаллизации двойных эвтектик из криогидратных растворов показывает, что наряду с некоторым их сходством наблюдается и различие. Сходство проявляется в том, что как переохлаждение, так и повышенная структурная вязкость способствуют возникновению дендритных форм роста некоторых фаз эвтектики. Различие же проявляется в том, что переохлаждение способствует нарушению одновременности появления кристаллов обеих фаз, а повышенная структурная вязкость не вызывает такого эффекта. Отсюда следует, что устранение концентрационных и тепловых токов не изменяет характера процесса кристаллизации двойных эвтектик из раствора. Влияние переохлаждения можно объяснить лишь различным изменением скоростей диффузии компонентов фаз эвтектики в этих условиях.

Выводы

1. Повышенная структурная вязкость раствора способствует появлению дендритных форм роста одной из фаз эвтектики.
2. В отличие от переохлаждения повышенная структурная вязкость, по видимому, не нарушает равновероятности возникновения кристаллов обеих фаз эвтектики в начальном этапе кристаллизации.
3. Устранение концентрационных и тепловых токов в жидкой фазе не изменяет характера процесса кристаллизации двойных эвтектик из раствора.

Москва

Поступила
3.IV.1950

ЛИТЕРАТУРА

1. С. В. Авакян и Н. Ф. Лашко, Журн. физ. хим., **23**, 315, 1949.
2. С. В. Авакян и Н. Ф. Лашко, Журн. физ. хим., **23**, 729, 1949.
3. С. В. Авакян, Е. Н. Кислякова и Н. Ф. Лашко, Журн. физ. хим., **24**, 1057, 1950.
4. С. В. Авакян, Диссертация, МАТИ, 1949.
5. С. В. Авакян и Н. Ф. Лашко, Журн. физ. хим., **23**, 858, 1949.

ВОПРОСУ ОБ ЭЛЕКТРОХИМИЧЕСКИХ СВОЙСТВАХ НИКЕЛЯ

Ю. В. Баймаков и Л. М. Евланников

Разнообразие электрохимических свойств никеля обращало на себя внимание многих электрохимиков. Независимо от характера раствора газовой среды его потенциал изменяется в пределах значений от $-0,4 + 0,30$ V. В статье Херинга и Буш приведены данные о работах, связанных с многочисленными попытками определения нормального потенциала никеля [1]. Однако никто не ставил вопроса о связи величины потенциала природой металла.

Этот вопрос был поставлен перед нами во время изучения потенциалов чистого никеля.

Для исследования был использован электролитический никель, полученный из растворов, тщательно очищенных от меди, кобальта и железа. Полученный металл давал качественной реакции на медь, железо (эфирная вытяжка после добавки родистого аммония), кобальт (реакция Фогеля). Металл содержал 0,0025% серы.

Осадок электролитического никеля состоял из волокнистых кристаллов, направленных перпендикулярно плоскости электрода. Средняя длина кристалла равна 0,02 мм; диаметр их в поперечнике — 0,0015 мм (рис. 1). При отжиге электролитического никеля, начиная с 700°C , происходит перекристаллизация и при 1200°C заканчивается образованием полиэдрической структуры (рис. 2). Металл перекристаллизовывается в зерна 0,04 до 0,3 мм в поперечнике, причем наблюдаются двойниковые образования, свидетельствующие о наличии в исходном металле внутренних напряжений, снятых

жигом

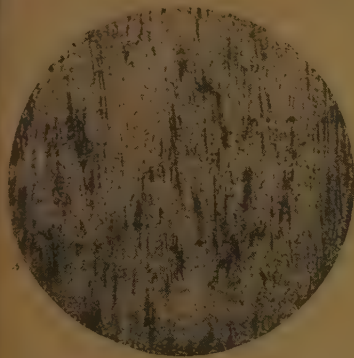


Рис. 1а

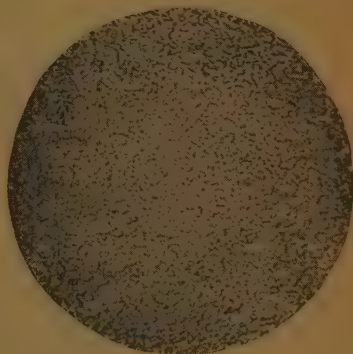


Рис. 1б

Отжиг образцов никеля производился в вакуумной печи. Печь была снабжена тройником, которое позволяло определять скорость выделения водорода в зависимости от возрастания температуры отжига [2]. При температуре 450°C наблюдается первый максимум скорости выделения водорода, при 1100°C — второй максимум.

Общее количество выделенного водорода равно 0,018 моля на 1 моль никеля (1,8 мол. %), причем количество водорода, выделяющегося при 50° , равно 0,4 мол. %.

Таким образом в электролитическом никеле содержится водород как бы двух категорий, причем выделение второй порции водорода начинается при определенной температуре порядка 700° и достигает максимума при 1100° . Сколько времени ни нагревали бы образец, при более низкой температуре (скажем 600°) вторичного выделения водорода не наблюдается.

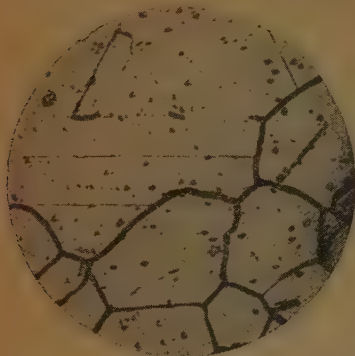


Рис. 2

Никель, отожженный в вакууме, можно вновь насытить водородом путем длительной катодной поляризации металла в растворе серной кислоты. Отжиг никеля вторично насыщенного водородом, сопровождается выделением водорода, однако на графике скорости выделения наблюдается один максимум при $450-500^{\circ}$. Второго максимума не наблюдается.

Условимся при дальнейшем изложении называть первородный осадок металла электролитическим, а отожженный в вакууме — металлургическим. Кроме того условимся обозначать водород, выделяемый при $400-500^{\circ}$, водородом № 1, водород, выделяемый при $700-1200^{\circ}$, водородом № 2.

С образцов электролитического и металлургического никеля М. С. Белецким были сняты рентгенограммы (по Дебаю). Электролитический никель имеет решетку гранцентрированного куба с расстояниями a , равными $3,50 \text{ \AA}$. Рентгенограмма электролитического никеля не имеет четких линий, они размазаны. Рентгенограмма металлургического никеля дает расстояние $a = 3,490 \text{ \AA}$ и отличается четкими линиями.

Рентгенограмма металлургического никеля, вторично насыщенного водородом, имеет четкие линии и по своим показателям вполне отвечает металлургическому никелю ($a = 3,490 \text{ \AA}$). В литературе имеются указания на то, что никель может поглощать от 4 до 3400 объемов водорода. Это разнообразие данных, вероятно, объясняется различными условиями насыщения никеля водородом и различием методов, применяемых для определения его содержания в металле. Указывается также на то, что путем восстановления эфирного раствора хлорида никеля фенилбромидом магния получаются гидриды никеля состава NiH_4 и NiH_2 [3]. Из полученных нами данных очевидно, что электролитический никель содержит водород № 1, слабо связанный с кристаллической решеткой металла, не влияющий на ее параметры, и водород № 2, прочно с нею связанный и влияющий на ее параметры. Трудно говорить о наличии гидрида, можно высказать предположение, что часть водорода находится в виде атомарного раствора, другая часть входит в состав кристаллической решетки в виде химического соединения или твердого раствора внедрения. Вероятнее всего, что получение прочного твердого раствора водорода № 2 в никеле с искаженной кристаллической решеткой возможно только в случае совместного выделения на катоде никеля и водорода. Катодное насыщение металлургического никеля водородом дает только атомарный раствор водорода № 1 в никеле.

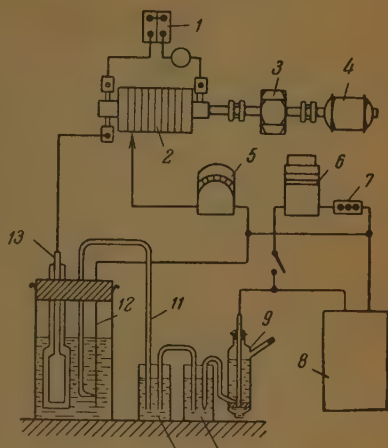
Электрохимические свойства электролитического никеля

Производились измерения потенциалов никеля в статическом состоянии, а также в процессе анодной поляризации металла. Измерения статических потенциалов производились при постоянной температуре в нормальных растворах химически чистого сульфата никеля.

Измерения потенциалов при анодной поляризации производились методом непосредственного отсчета потенциала на шкале гальванометра с очень большим сопротивлением. Схема изображена на рис. 3. Соотношение силы тока цепи, питающей ячейку электролиза через делитель напряжения, к силе тока, потребляемой цепью, в которой

оцен каломельный электрод и гальванометр, было достаточно велико. Сила тока, подаваемая на электрод, менялась от $1 \cdot 10^{-6}$ до $2000 \cdot 10^{-6}$ А на 1 см^2 . Сила тока измерения менялась от $4 \cdot 10^{-9}$ до $200 \cdot 10^{-9}$ А. Гальванометр градуировался по измерениям величин э. д. с. компенсационным способом; однако измерение потенциалов этим методом было невозможно ввиду их быстрого изменения, что и вызвало применение гальванометра с высоким сопротивлением.

Рис. 3. Схема установки для измерения потенциалов; 1 — аккумулятор, 2 — вращающийся реостат, 3 — редуктор числа оборотов, 4 — электромоторчик, 5 — гальванометр, 6 — мультифлекс-гальванометр, 7 — дополнительные сопротивления: $0,5 \cdot 10^6$; $0,10^6$; $2,0 \cdot 10^6 \Omega$, 8 — потенциометр с пятью декадами, 9 — электрод сравнения каломельный с насыщ. КСl, 10 — промежуточные сосуды, 11 — электролитические ключи, 12 — испытуемый электрод, 13 — вспомогательный электрод



Потенциалы электролитического никеля в среде водорода

Измерения производились в растворе химически чистого сульфата никеля (не содержащего иона хлора), при различных концентрациях иона водорода при постоянной температуре. Через сосуд непрерывно пропусклся газообразный водород, не содержащий серы и тщательно очищенный от кислорода.

Потенциал стабилизировался в течение нескольких десятков минут. Результаты показаны на рис. 4. Мы видим, что потенциал электролитического никеля зависит от величины pH, причем в интервале от $\text{pH} = 2$ до $\text{pH} = 6$ эта зависимость выражается уравнением:

$$\epsilon_1 = -0,012 + 0,058 \lg [\text{H}^+]. \quad (1)$$

При значениях pH от 0 до 2 значения потенциала не подчиняются этой зависимости. Как видно из графика, значения потенциалов никеля совпадают со значениями потенциала водородного электрода в интервале pH от 2 до 6. Таким образом никель в этом интервале pH является водородным электродом. Он перестает быть таковым при значениях pH ниже двух. На графике приведены потенциалы образцов электролитического никеля, которые были нагреты в среде водорода до температуры 450 и 650° С. Из данных видно, что получаются значения потенциалов, более электроположительные, уклоняющиеся от линейной зависимости. Сделанные наблюдения позволяют рассматривать потенциал, образующийся на никеле, как компромиссный, вызванный комплексом реакций:



Величины от Φ_1 до Φ_4 соответственно обозначают скорости реакций.

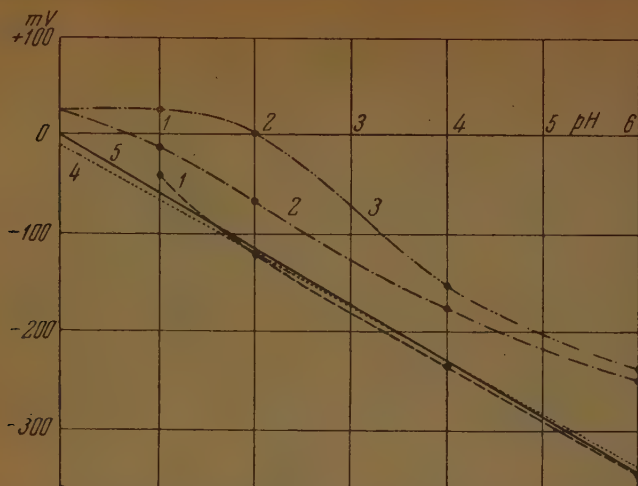


Рис. 4. Потенциалы на электрохимическом никеле в зависимости от pH электролита в среде водорода: 1 — никель, обработанный H_2 при $20^\circ C$; 2 — никель, обработанный H_2 при $450^\circ C$; 3 — никель, обработанный H_2 при $650^\circ C$; 4 — компромиссный потенциал Ni при $20^\circ C$, рассчитанный по формуле (1); 5 — равновесный потенциал водородного электрода при $20^\circ C$

Скорости реакций обмена могут быть выражены как экспоненциальные зависимости от величин энергии активации [4]:

$$\left. \begin{aligned} \Phi_1 &= k_1 \exp \frac{\alpha_1 \Delta \varepsilon_1 F}{RT}, \\ \Phi_2 &= k_2 \exp \frac{\beta_2 \Delta \varepsilon_2 2F}{RT}, \\ \Phi_3 &= k_3 [H^+] \exp \frac{-\alpha_3 \Delta \varepsilon_3 F}{RT}, \\ \Phi_4 &= k_4 [Ni^{++}] \exp \frac{-\beta_4 \Delta \varepsilon_4 2F}{RT}. \end{aligned} \right\} \quad (6)$$

Из приведенных данных очевидно, что для электролитического никеля в интервале pH от 2 до 6 значения Φ_2 и Φ_4 практически равны нулю. Поэтому компромиссный потенциал на никеле в среде водорода определяется равенством

$$\Phi_1 = \Phi_3. \quad (7)$$

В условиях, когда в реакции обмена принимает участие только водород, значение компромиссного потенциала в равновесном состоянии может быть выражено: $\varepsilon_K = \Delta \varepsilon_1 = \Delta \varepsilon_3$, подставляя значения из (6) соответственно в равенство (7). Логарифмируя это равенство, решаем в отношении ε_K , принимая во внимание, что $\alpha_1 + \alpha_3 = 1$, получаем

$$\varepsilon_K = \frac{RT}{F} \ln \frac{k_3}{k_1} + 0,058 \lg [H^+], \quad (8)$$

о совпадает с выражением (1), выведенным из экспериментальных данных. В данном случае ϵ_K равен равновесному водородному потенциалу никеле.

В том случае, когда в реакциях обмена принимают участие только ионы келя, выражение потенциала выводится из условия $\Phi_2 = \Phi_4$ и принимает значение равновесного никелевого электрода:

$$\epsilon_K = \frac{RT}{2F} \ln \frac{k_4}{k_3} + \frac{RT}{2F} \ln [\text{Ni}^{++}]. \quad (9)$$

При $\text{pH} < 2$ в среде водорода и для отожженного никеля в более широком диапазоне pH наблюдаются отклонения от зависимости (8). В обмене действуют не только реакции (1) и (3), но и (2) и (4), однако $\Phi_1 \neq \Phi_3$; $\Phi_2 \neq \Phi_4$, т. е. в раствор могут переходить ионы никеля, а из раствора стично выделяться водород. В этом случае значение компромиссного потенциала должно лежать между крайними значениями, выраженными зависимостями (8) и (9). Значение компромиссного потенциала выводится из условия:

$$\Phi_1 + \Phi_2 = \Phi_3 + \Phi_4. \quad (10)$$

Выражение для компромиссного потенциала ϵ_K может быть получено следующим путем: в выражение (10) подставляются значения Φ_1, \dots, Φ_4 из (6), разложенные в ряды. Подставляется величина $\Delta\epsilon \neq \epsilon_K - \epsilon_p$, где ϵ_p является равновесным потенциалом для данной электрохимической реакции.

Эти значения подставляются в полученное выражение, которое пишется в отношении ϵ_K .

В полученное выражение вводятся выражения для ϵ_p^H и ϵ_p^{Ni} , равные соответственно

$$\left. \begin{aligned} \epsilon_p^{Ni} &= \epsilon_0^{Ni} + \frac{RT}{2} \ln [\text{Ni}^{++}], \\ \epsilon_p^H &= \epsilon_0^H + \frac{RT}{F} \ln [\text{H}^+], \end{aligned} \right\} \quad (11)$$

где $\epsilon_0^H \neq 0$, так как он является нормальным потенциалом водорода на никеле.

Приводим окончательное выражение:

$$\begin{aligned} \epsilon_K &= A\epsilon_0^H + B\epsilon_0^{Ni} + A \frac{RT}{F} \ln [\text{H}^+] + B \frac{RT}{2F} \ln [\text{Ni}^{++}] + \\ &+ (A + B) \frac{RT}{F} (k_3 [\text{H}^+] + \frac{1}{2} k_4 [\text{Ni}^{++}]). \end{aligned} \quad (12)$$

Постоянные A и B являются более сложными выражениями, в которые соответственно входят постоянные и коэффициенты из выражений (6). В случае отсутствия реакций обмена ионами никеля величины Φ_2 и Φ_4 равны нулю; следовательно, B и k_4 равны нулю. Выражение (12) преобразуется в уравнение, аналогичное выражению (8).

Выражение (12) является уравнением второго порядка. По мере увеличения значений Φ_2 и Φ_4 возрастают слагаемые, относящиеся к никелю, а значения ϵ_K для различных pH все больше отдаляются от значений, получаемых из выражений (8) и (1). Это хорошо видно из данных, приведенных на рис. 4.

Потенциал электролитического никеля в присутствии кислорода воздуха

Электрод из электролитического никеля опускался в раствор химически чистого сульфата никеля. Потенциал измерялся периодически; его изме-

нения нанесены на графике (рис. 5). Время отложено на оси абсцисс в логарифмической шкале.

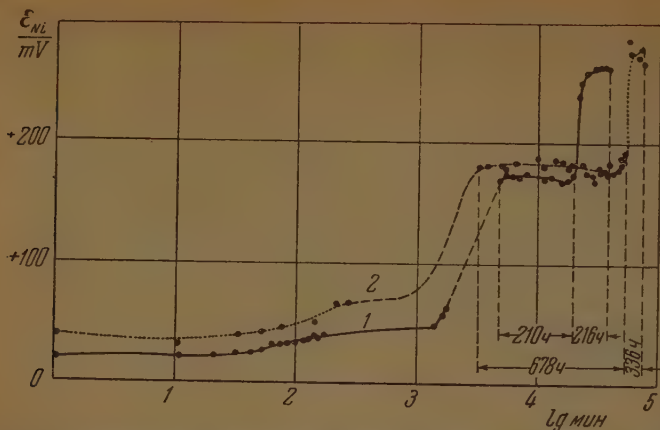
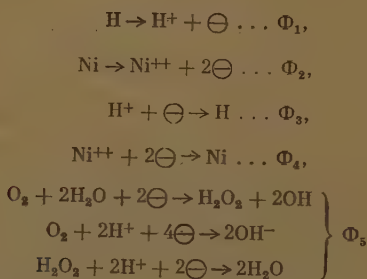


Рис. 5. Потенциалы на электролитическом никеле в нормальном никелевом электролите с $\text{pH} = 3$ в зависимости от времени испытания. Условные обозначения: 1 — чистый электролитический никель (образец № 1), 2 — то же (образец № 2)

В течение 1000 мин. потенциал сохраняет значение 0,02—0,03 V, затем потенциал поднимается до значения 0,18—0,19 V, причем этот период стабилизации потенциала продолжается от 200 до 670 час. Затем следует еще один подъем потенциала с последующей стабилизацией до 0,26—0,28 V.

В данном случае картина электрохимических реакций, определяющих значение компромиссного потенциала, усложнена тем, что в электролите растворен кислород.

Можно предполагать наличие следующих электрохимических реакций, определяющих обмен:



Стабилизация потенциала возможна при условии:

$$\Phi_1 + \Phi_2 = \Phi_3 + \Phi_4 + \Phi_5.$$

В первый период формирования электрода высокая скорость образования ионов водорода Φ_1 компенсирует количество образующихся ионов гидроксидов. Потребность в ионах водорода для реакций освоения кислорода и перекиси водорода несомненно велика, причем величина Φ_5 , выраженная в кулонах, бесспорно значительна. Этот первый период «нейтрализации» продуктов реакции восстановления кислорода образующимися

нами водорода, вероятнее всего, характеризуется компромиссным потенциалом, в основном определяемым равенством:

$$\Phi_1 + \Phi_2 = \Phi_5.$$

Реакции, отвечающие обмену Φ_2 и Φ_4 , имеют место в той мере, в какой определяется мономолекулярным слоем кислорода на никеле. Реакция Φ_3 подавлена комплексом реакций Φ_5 .

По мере израсходования электрохимически активного водорода в электролитическом никеле нарушается компенсация продуктов реакций Φ_5 . Выброс OH^- вызывает образование пленки $\text{Ni}(\text{OH})_2$, затрудняющей течение реакций Φ_1 и Φ_2 .

Абсолютные значения сумм $\Phi_1 + \Phi_2 = \Phi_3 + \Phi_4 + \Phi_5$ падают. Обмен завершается за счет Φ_1 и Φ_2 , — с одной стороны, и Φ_5 , — с другой. Устанавливается компромиссный потенциал, близкий к потенциалу равновесия реакции восстановления кислорода.

Наконец, наступает окончательная пассивность металла с значительным понижением силы тока обмена и установлением потенциала, близкого к комплексу реакций (5).

Чрезвычайно интересна для характеристики потенциала никеля его зависимость от значения pH. Опыт производился следующим образом: катодный электрод опускался в раствор NiSO_4 с $\text{pH} = 6$. Измерялся стабилизирующийся потенциал. Затем раствор в сосуде сливался и заменялся раствором сульфата с $\text{pH} = 4$, производилось измерение стабилизовавшегося потенциала и т. д. Было установлено, что при значениях pH от 6 до 2,3 стабилизирующийся потенциал равен $+0,20$ до $+0,22$ В. При $\text{pH} = 2,31$ происходит резкое падение значений стабилизовавшегося потенциала до $+0,04$ — $0,06$ В.

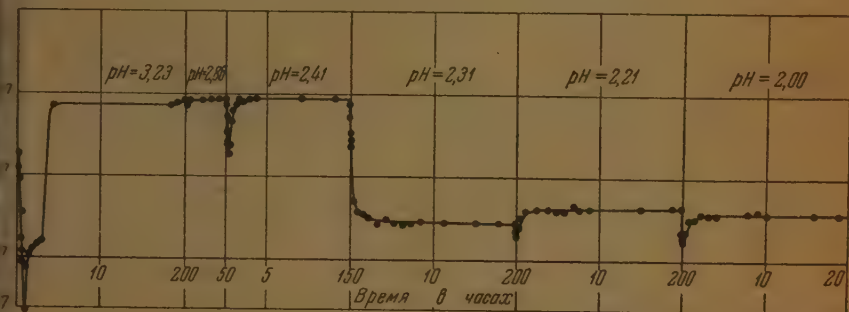


Рис. 6. Потенциалы на электролитическом никеле в зависимости от pH электролита и времени испытания

На рис. 6 показаны значения в интервале pH от 3,23 до 2,00. Это интересное явление можно объяснить следующим образом: в интервале pH от 6 до 2,41 концентрация ионов водорода недостаточна для того, чтобы во второй и третьей стадиях стабилизации потенциала (рис. 5) компенсировать образование ионов гидроксида и предотвратить образование прочных пассивных пленок на никеле. При $\text{pH} = 2,31$ и ниже количество ионов водорода возрастает настолько, что количество OH^- компенсируется избытком H^+ , и пассивность никеля определяется молекулярным слоем кислорода. Потенциал определяется как компромиссный потенциал реакций $\text{Ni} \rightleftharpoons \text{Ni}^{2+} + 2 \ominus$ и $\text{H} \rightleftharpoons \text{H}^+ + \ominus$.

Анодная поляризация электролитического никеля

Электрод из электролитического никеля подвергался анодной поляризации при непрерывном измерении потенциала на электроде. Измерения производились с применением схемы, показанной на рис. 3.

Результаты приведены на рис. 7. При pH в растворе, равном от 6 до 1,6 наблюдается пассивность металла при ничтожных силах тока. Лишь при pH = 1,16 наблюдалось анодное растворение никеля, но при силе тока $\sim 0,05$ mA на 1 cm^2 он пассивировался, и потенциал на аноде возрос до значений, отвечающих разряду гидроксил-иона.

Особенно хорошо видно поведение электролитического никеля из анализа кривых изменения силы тока и потенциала, записанных во времени (рис. 8). Потенциал от значения $+0,10 \text{ V}$ возрастает до значения $+0,30 \text{ V}$. Одновременно возрастает и сила тока до значения $13 \cdot 10^{-6} \text{ A}$. Затем наступает падение силы тока до величины $2-3 \cdot 10^{-6} \text{ A}$ при непрерыв-

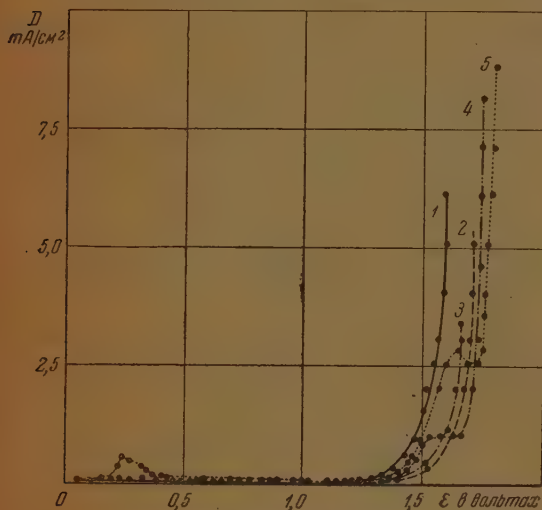


Рис. 7. Анодные потенциалы при поляризации электролитического никеля. 1—pH = 6,28; 2—pH = 3,98; 3—pH = 3,24; 4—pH = 2,18; 5—pH = 1,16

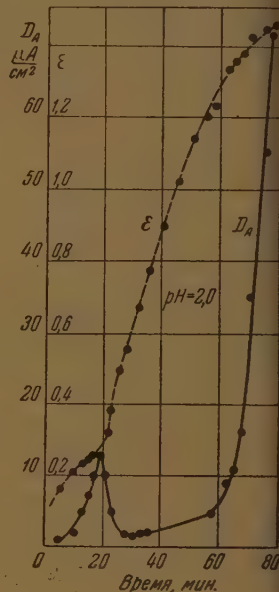


Рис. 8. Влияние степени поляризации электролитического никеля на анодный потенциал и плотность тока

ном росте значения потенциала. При значении потенциала, отвечающем массовому разряду гидроксила, начинается подъем кривой значений силы тока.

Наблюдается, следовательно, сильнейшее торможение реакции образования ионов никеля при анодной поляризации электролитического никеля.

Электрохимические свойства металлургического никеля. Измерение потенциалов в среде, насыщенной водородом

Потенциалы металлургического никеля измерялись в 1 N растворе химически чистого сульфата никеля. По полученным данным построена кривая зависимости потенциалов от величины pH (рис. 9). На этом же рисунке приведены для сравнения значения потенциалов электролитического

ния, измеренных при этих же условиях. Из сопоставления данных видно, что полученная зависимость не отвечает уравнению (8) и является одним из решений уравнения (12) для компромиссного потенциала,

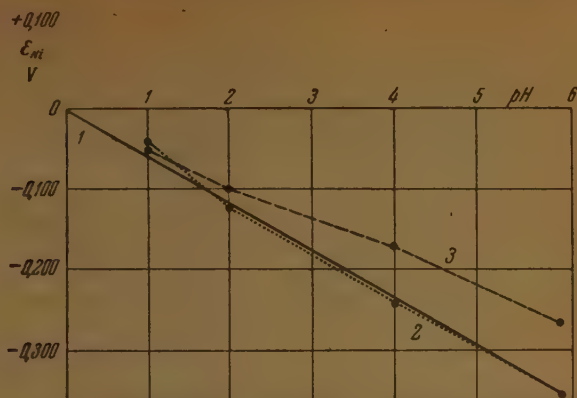


Рис. 9. 1 — равновесные потенциалы водородного электрода при 20° С; 2 — потенциалы на электролитическом никеле в среде H_2 при 20° С; 3 — потенциалы на металлургическом никеле в среде H_2 при 20° С

е. в данном случае при всех значениях pH скорости Φ_2 и Φ_4 имеют существенные значения.

Измерение потенциалов металлургического никеля в растворах, насыщенных воздухом

Потенциал металлургического никеля в 1 N растворе $NiSO_4$ устанавливается в течение нескольких часов, в пределах значений 0,18—0,28 V зависимости от pH (рис. 10).

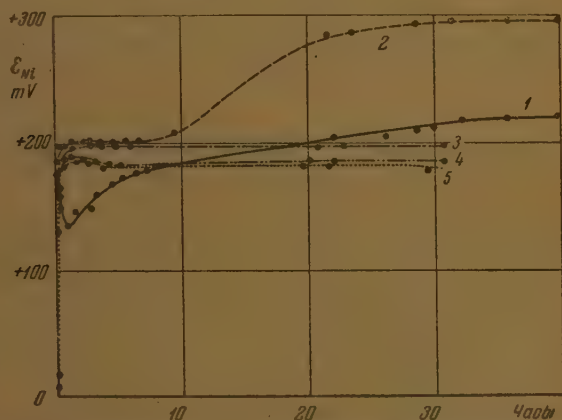


Рис. 10. Потенциалы на отожженном электролитическом никеле в зависимости от pH электролита и времени испытания. 1 — pH = 6,58; 2 — pH = 4; 3 — pH = 3,2; 4 — pH = 2,5; 5 — pH = 2,0

Нужно отметить, что при переходе от $\text{pH} = 2,5$ к $\text{pH} = 2,0$ не наблюдается резкого изменения потенциала, как это было в случае электролитического никеля. Вероятнее всего это вызвано тем, что в сочетании электрохимических реакций, (2), (3), (4), (5), практически отсутствует реакция (2) и значительно выше значение Φ , так как реакция (3) является основным компенсатором зарядов, потребляемый комплексом реакций (3).

Анодная поляризация металлургического никеля

Опыты проводились в условиях аналогичных изучению электролитического никеля. Данные приведены на рис. 11. При $\text{pH} = 6,2$ пассивность наступает при $2,0 \text{ mA}$ (на 1 cm^2). При меньших pH пассивность наступает при $15\text{--}80 \text{ mA}$ на 1 cm^2 . Следовательно, металлургический никель значительно активнее по сравнению с электролитическим. Интересно отметить, что эта внезапная пассивность во всех случаях наступает при потенциале на аноде, близком к $+0,30 \text{ V}$. Такой величины потенциала можно достигнуть в случае поляризации электролитического никеля при силе тока порядка $10\text{--}15 \cdot 10^{-6} \text{ A/cm}^2$, а в случае металлургического при $2500\text{--}80000 \cdot 10^{-6} \text{ A/cm}^2$.

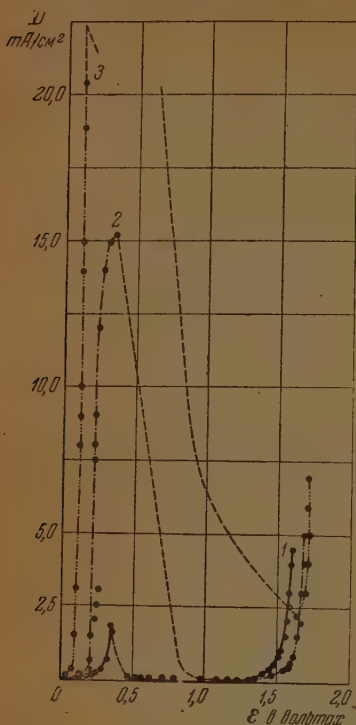


Рис. 11. 1 — $\text{pH} = 6,28$; 2 — $\text{pH} = 3,24$; 3 — $\text{pH} = 1,16$

Анодная поляризация металлургического никеля, вторично насыщенного водородом

Данные приведены на рис. 12; из этих данных видно, что при вторичном насыщении водородом сохраняется активность металлургического никеля.

О природе водорода в никеле и влиянии его на электрохимические свойства

Сопоставление количества водорода в металле, содержащегося в двух формах, с данными рентгенограмм приводит к выводу, что водород, слабо связанный с металлом и удаляемый при низкой температуре, является адсорбированным водородом или атомарным раствором водорода в металле. Этот вид водорода не влияет на характер кристаллической решетки металла и не влияет на электрохимические свойства никеля. Металлургический никель сохраняет высокую активность независимо от содержания в нем водорода этого вида.

Уравнение, выведенное А. Н. Фрумкиным, связывает величину силы тока обмена с величиной поляризации

$$\Delta\epsilon = - \frac{RT}{nF} \frac{i}{i_{06}}$$

Рассматривая кривые зависимости потенциала от плотности тока, мы видим, что при возрастании силы тока от нуля до $15\,000 \cdot 10^{-6}$ А, потенциал анода изменяется на 0,05—0,2 В. При анодном растворении электролитического никеля потенциал изменяется на 0,2 В при изменении силы тока от нуля до $15 \cdot 10^{-6}$ А (рис. 7).

Таким образом, не взирая на то, что потенциал металлургического никеля смещен от равновесного нормального —0,23 В до значения +0,1 В, благодаря наличию молекулярного слоя кислорода, мы все же констатируем наличие высоких сил токов обмена за счет реакций (3)—(5).

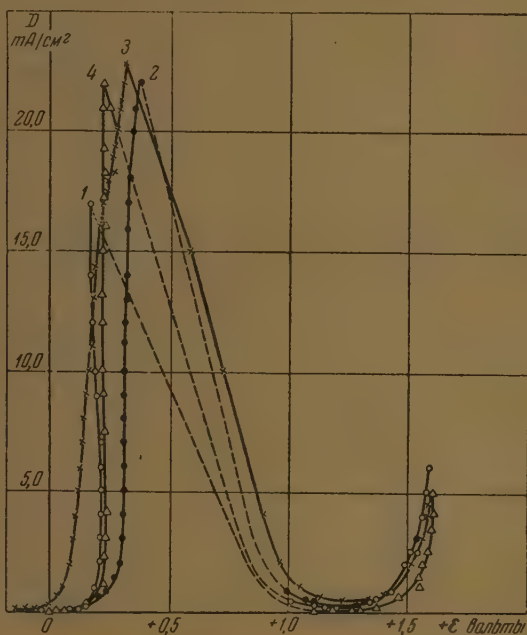


Рис. 12. 1 — металлургический никель, обработанный в атмосфере H_2 при $20^\circ C$ в течение 24 час.; 2 — никель, обработанный H_2 на катоде в растворе $1N H_2SO_4 + 40$ г/л K_2SO_4 в течение 1400 час.; 3 — никель, катодно обработанный H_2 в том же электролите в атмосфере H_2 в течение 60 час.; 4 — никель, не обработанный H_2 .

Наоборот, электролитический никель характеризуется весьма малыми токами обмена (даже при низких значениях pH).

Электролитический никель содержит водород первого вида, но, кроме того, содержит водород в форме, которая искажает кристаллическую решетку металла, и, как видно из приведенных данных, заметно изменяет электрохимические свойства никеля, делая его более пассивным. По характеру искажения решетки можно предполагать, что при внедрении атомов водорода в решетку образуется твердый раствор с обобществлением валентных электронов, но с повышенной плотностью заряда вокруг протонов. Столь высокая пассивность электролитического никеля может быть объяснена тем, что протоны в кристаллической решетке на поверхности кристаллов создают электрические поля, значительно сильнее, чем разуплотняют помы никеля. Эти поля благоприятствуют образованию более плотного двойного электрического слоя с атомами кислорода или гидроксидными ионами, препятствующего реакциям обмена и повышающего поляризацию в процессе образования ионов никеля.

Можно представить себе следующую картину: в процессе разряда на катоде катионы никеля входят в кристаллическую решетку металла при совместном разряде катионов водорода. Катионы водорода, освобожденного от гидратных оболочек, представляют собой протоны с радиусом порядка $1 \cdot 10^{-13}$ см. Одна часть протонов адсорбируется поверхностью кристаллов никеля, нейтрализуется электронами, образует атомы, которые частично растворяются в металле или образуют молекулы. Другая часть протонов входит в кристаллическую решетку вместе с ионами никеля и образует твердый раствор внедрения.

При практическом использовании никеля было замечено, что металлургический никель заметно корродирует в условиях, при которых осадок электролитического никеля совсем не обнаруживает коррозии. Это различие электрохимических свойств металлургического и электролитического никеля становится объяснимым в свете полученных данных.

Выводы

1. Выполнен анализ электролитического никеля на водород. Показано, что часть водорода удаляется при $400-500^\circ$, другая часть при $700-1000^\circ$ С.
2. Показано, что металлургический никель, из которого удален водород, может быть вновь им насыщен методом катодной поляризации. Однако водород, введенный в никель, удаляется при $400-500^\circ$ С.
3. Изучены рентгенограммы электролитического и металлургического никеля. Рентгенограмма, снятая с электролитического никеля, указывает на наличие твердого раствора переменного состава, в то время как рентгенограмма металлургического никеля по характеру линий совпадает с данными рентгенограмм, снятых с чистого никеля.
4. Данные исследования электродных потенциалов показывают, что электролитический никель отличается высокой пассивностью, в то время как никель металлургический более активен.
5. Высказаны предположения относительно образования раствора атомарного водорода в никеле, не влияющего на снижение электрохимической активности металла, и относительно образования твердого раствора внедрения, в который водород входит в виде протонов. Этот вид твердого раствора обуславливает высокую степень пассивности.

Ленинградский политехнический институт
им. М. И. Калинина

Поступила
11.IV.1950

ЛИТЕРАТУРА

1. M. M. Haring a. N. Bousche, Journ. Phys. Chem., **33**, 161, 1929.
2. Ю. В. Баймаков, Заводская лаборатория, № 11, 1949.
3. J. M. Mellor, A comprehensive treatise on anorgan. a. theoret. chemistry, **15**.
4. Н. Фрумкин, Труды 2-й Всесоюзной конференции по коррозии, 1940, 1.

КИНЕТИКА ГИДРИРОВАНИЯ ДИМЕТИЛАЦЕТИЛЕНИЛКАРБИНОЛА НА СКЕЛЕТНОМ НИКЕЛЕВОМ КАТАЛИЗАТОРЕ

Д. В. Сокольский и Л. А. Бувалкина

Система, в которой протекает реакция каталитической гидрогенизации в жидкой фазе, состоит из неопредельного соединения, растворителя, долгого катализатора и газообразного водорода. Для того чтобы произошла реакция гидрирования, необходимо, чтобы и водород и неопредельное соединение продиффундировали к поверхности катализатора, адсорбировались ею, прореагировали, и произошла десорбция продуктов реакции.

Для реакций, протекающих в жидкой фазе, часто имеют место случаи, когда весь этот сложный каталитический процесс в целом будет отражать закономерности диффузии реагентов из объема к поверхности катализатора, суммарная скорость процесса при этом будет равна скорости диффузии. В этом случае реакция будет идти в «диффузионной» области [1].

Исключение диффузии позволяет выделить в чистом виде кинетику реакции и определить так называемую «кинетическую» область реакции, в которой скорость реакции отражает кинетику непосредственно на поверхности катализатора [1].

Поэтому, для того чтобы изучить истинную кинетику и механизм той или иной реакции, необходимо исключить диффузионные процессы. Последнего можно достичь путем изменения скорости перемешивания, температуры, количества гидрируемого вещества и т. д.

С точки зрения разграничения «диффузионной» и «кинетической» областей реакции процессы гидрирования исследовались в работах С. Ю. Еловича, Г. М. Жабровой и И. Гольданского [2—4] и в работах Д. В. Сокольского и его сотрудников [5—7]. Одной из первых работ С. Ю. Елович и Г. М. Жаброва [2] изучали кинетику гидрирования стирола в растворе ледяной уксусной кислоты в присутствии катализатора Pt $BaSO_4$. Скорость гидрирования стирола подчинялась уравнению нулевого порядка, причем нулевой порядок сохранялся при изменении числа качаний от 100 до 600 в минуту. Было показано, что при малой интенсивности перемешивания от 100—490 качаний в минуту реакция гидрирования стирола протекает в «диффузионной» области по водороду и в «кинетической» — по неопредельному соединению. При большой интенсивности перемешивания (выше 490 качаний в минуту) скорость реакции не зависит от интенсивности встряхивания.

В «кинетической» области кажущаяся энергия активации, рассчитанная графически в интервале температур 20—100° С, оказалась равной 5000 ± 1000 кал/моль. «Кинетической» области скорость реакции была прямо пропорциональна количеству катализатора при изменении последнего от 0,0018 до 0,036 г в расчете на металлическую платину.

Дальнейшее изучение влияния гидродинамических факторов на скорость гидрирования неопредельных органических соединений нашло свое отражение в работе И. Гольданского и С. Ю. Елович [3], посвященной гидрированию олеиновой кислоты в растворе ледяной уксусной кислоты в присутствии Pt на $BaSO_4$. В этой работе было показано, что положение границы между «диффузионной» и «кинетической» областями зависит от температуры и количества катализатора.

В «кинетической» области скорость реакции пропорциональна количеству катализатора, в «диффузионной» — она стремится к предельной величине. Подобная зависимость была найдена также Дэвисом и сотрудниками [8] при гидрировании триметилэтилена в присутствии окиси платины в растворе смеси 95% этилового спирта и 5% ме-

тилового спиртов и в работах Д. В. Сокольского и его сотрудников [5—7] при гидрировании коричной кислоты в растворе 96% этилового спирта на скелетном никелевом катализаторе и при разложении диазониевых солей металлической медью.

В настоящей работе была поставлена задача — на примере гидрирования диметилацетиленилкарбинола в присутствии скелетного никелевого катализатора изучить влияние скорости перемешивания на скорость реакции и установить связанную с этим влиянием зависимость от температуры, количества гидрируемого вещества и количества катализатора.

Экспериментальная часть

Аппаратура, исходные продукты и методика

Процесс гидрирования диметилацетиленилкарбинола в жидкой фазе проводился в приборе, изображенном на рис. 1. Основными частями этой установки являлись газовая бюретка, снабженная водяной рубашкой для поддержания постоянной температуры, и собственно прибор для гидрирования — «утка». «Утка» помещалась в термостат 0,1 м³ и укреплялась в отверстиях штока при помощи латунного крепления. Термостат наполнялся водой и обеспечивал точность температуры в пределах $\pm 0,1^\circ\text{C}$.

Реакционный сосуд — «утка» — приводился в сильное равномерное встряхивание при помощи электромотора в 0,25 kW. Конструкция аппарата для встряхивания позволяла осуществлять изменение числа качаний «утки» от 200 до 1600 односторонних

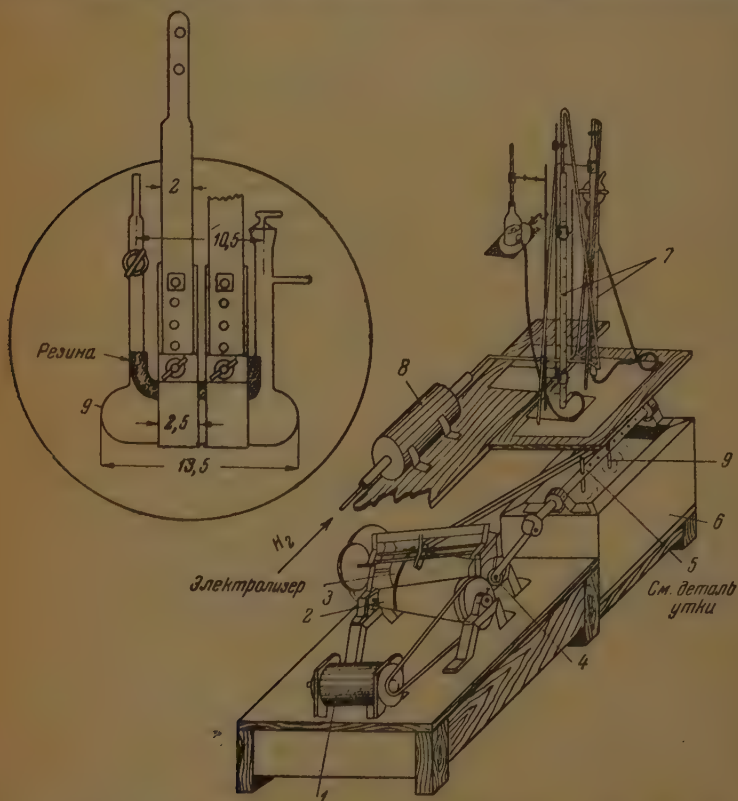


Рис. 1. Прибор для каталитического гидрирования в жидкой фазе. 1 — мотор; 2 — первый конус; 3 — второй конус; 4 — эксцентрик; 5 — шток; 6 — железный термостат; 7 — измерительные бюретки; 8 — электропечь; 9 — утка

качаний в минуту. Длина качания «утки» во всех опытах равнялась 5,2 см. Регистрация числа «качаний «утки» производилась тахометром. Измерительной частью прибора

лялась газовая бюретка с уравнительной склянкой, наполненные водой. Гидрирование проводилось чистым электролитическим водородом, который для удаления следов влаги и кислорода пропускался через осушительные колонки с хлористым кальцием, едким натром и через раскаленную фарфоровую трубку, наполненную кусочками меди или палладированного асбеста.

Диметилацетиленилкарбинол характеризовался следующими константами:

$$T_h = 103-104^\circ \text{ C при } 693 \text{ мм,}$$

$$n_D^{21} = 1,4180, d_4^{20} = 0,8613.$$

В качестве растворителя применялся 96% этиловый спирт, предварительно переиженный с дефлегматором. Скелетный никелевый катализатор готовился путем выщелачивания алюминия из сплава Ni — Al (30% Ni и 70% Al).

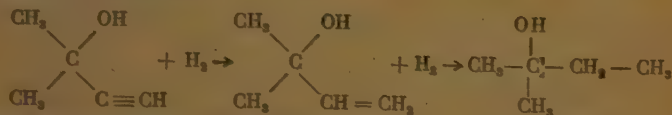
Методика приготовления активного катализатора из сплава заключалась в следующем: 1 г тонко измельченного сплава Ni — Al ($d = 0,5-1$ мм) помещался в маленькой пробирке в колбу Кьельдаля, содержащую 80 см³ 20% NaOH; последняя предварительно грелась на кипящей водяной бане. Выщелачивание производилось на водяной кипящей бане в течение 2 час., после чего щелочь сливалась, и полученный таким образом катализатор промывался 4 раза дистиллированной водой (по 100 см³ каждый раз) затем еще 2 раза этиловым 96% спиртом (по 10 см³). При промывке декантацией часть мелких частиц катализатора теряется, и активность его снижается. Для предотвращения потерь катализатора все промывные воды отстаивались, и осевшие со временем частички катализатора присоединялись к общей массе катализатора.

Порядок прибавления реагентов в реакционный сосуд («утку») был следующий: катализатору, перенесенному в «утку», добавлялось 20 см³ 96% этилового спирта. Термостате устанавливалась необходимая для опыта температура ($t^\circ = 0^\circ$ достигалась тем наполнением термостата льдом). Далее воздух из реакционной системы вытеснялся током водорода путем пропускания через систему от 600—800 см³ H₂ (испытание чистоты водорода).

Последующей операцией явилось предварительное насыщение катализатора водородом, которое необходимо для приведения катализатора к стандартному состоянию. Катализатор встряхивался в течение 15 мин. при скорости перемешивания 30 кач./мин. При этом водорода поглощалось от 2—5 см³. После насыщения катализатора водородом в «утку» в токе водорода вносилось гидрируемое вещество и еще 5 см³ этилового спирта. Моментом начала гидрирования считалось включение мотора, приводящего в равномерное качание «утку», после чего производился отсчет расхода водорода (по бюретке) за 1 мин. Окончание гидрирования определялось отсутствием изменения уровня воды в бюретке в течение нескольких минут.

Результаты экспериментов

Реакция гидрирования диметилацетиленилкарбинола протекает по следующему уравнению:



Диметилацетиленилкарбинол

Диметилвинилкарбинол

Изопропиловый спирт

На рис. 2 изображены кривые, которые отражают течение реакции гидрирования диметилацетиленилкарбинола во времени при $t_{\text{оп}} = 0^\circ \text{ C}$. По абсциссе этих кривых представляет суммарный объем водорода, вошедшего в реакцию, а ось ординат — скорость реакции в см³/мин. Из рис. 2 видно, что при температуре 0° C реакция хорошо описывается уравнением нулевого порядка, так как скорость гидрирования диметилацетиленилкарбинола, выраженная в см³/мин, была постоянной вплоть до поглощения почти $2/3$ теоретически необходимого водорода (по расчету при нормальных условиях для гидрирования 0,1723 г диметилацетиленилкарбинола в изопропиловый спирт требуется 91,9 см³), причем излома, отвечающего переходу двойной связи в двойную, не наблюдается. На рис. 2 также показана воспроизводимость опытов, проведенных в совершенно аналогичных условиях.

При $t_{\text{оп}} = 25^\circ \text{ C}$ реакция также описывается уравнением нулевого порядка. После установления порядка реакции изучалось влияние ско-

рости встряхивания реакционной смеси на скорость гидрирования диметилацетиленилкарбинола при температуре 0° и 25° С. Условия гидрирования для опытов, представленных на рис. 3, следующие: диметилацетиленилкарбинола 0,1723 г; Ni — катализатора — 0,3 г; растворителя, 96 % этилового спирта — 25 мл. Результаты этих опытов можно представить в виде кривых, показывающих влияние скорости перемешивания (качаний/минуту) на скорость гидрирования диметилацетиленилкарбинола ($\frac{\Delta V_0}{\Delta t}$ см³/мин (рис. 3). Из кривых видно, что при гидрировании диметилацетиленилкарбинола при 0° с увеличением интенсивности перемешивания (210—520 кач./мин) скорость гидрирования возрастает, т. е. реакция протекает в «диффузионной области». Начиная с 520 кач./мин., константа скорости реакции остается постоянной, и реакция протекает в «кинетической» области. При температуре опыта 25° С переход из «диффузионной» области

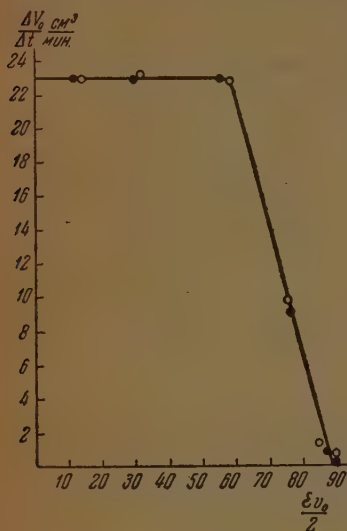


Рис. 2. Изменение скорости реакции гидрирования во времени при температуре 0° . По оси абсцисс отложен объем прореагировавшего водорода

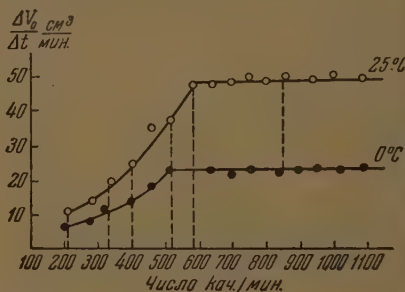


Рис. 3. Влияние скорости перемешивания на скорость гидрирования диметилацетиленилкарбинола

в «кинетическую» наблюдается при больших скоростях перемешивания (580 кач./мин.).

При температуре опыта 25° С реакция гидрирования идет быстрее, чем при температуре опыта 0° С. Повышение скорости реакции при данных условиях приводит, в свою очередь, к появлению затруднений в своевременном транспорте молекул водорода к поверхности катализатора, так как скорость реакции при повышении температуры возрастает гораздо быстрее, чем скорость диффузии. Преодоление затруднений диффузии водорода осуществляется более интенсивным перемешиванием реакционной смеси (реакция идет в «кинетической» области).

На основании приведенных данных можно вычислить кажущуюся энергию активации в различных точках «диффузионных» областей и в «кинетической» области.

При интенсивности перемешивания, равной 210 кач./мин., и температуре опыта 0° С скорость гидрирования диметилацетиленилкарбинола, выраженная в см³/мин, равна 6 см³/мин, а при температуре опыта 25° С и той же скорости перемешивания скорость гидрирования равна 10,1 см³/мин. Кажущаяся энергия активации, вычисленная между этими точками на кривых (рис. 3) по формуле Аррениуса:

$$\ln \frac{k_2}{k_1} = \frac{E}{R} \left(\frac{1}{T_1} - \frac{1}{T_2} \right),$$

вна 2961 кал/моль. Кажущаяся энергия активации, вычисленная при скорости перемешивания 330 кач./мин., равна 3477 кал/моль, при 0 кач./мин. она равна 3747 кал/моль. Начиная с 580 кач./мин., энергия активации остается постоянной и равна 4733 кал/моль. С увеличением интенсивности перемешивания в изученных нами пределах от 0—580 кач./мин. кажущаяся энергия активации растет линейно с увеличением скорости перемешивания, но затем, при дальнейшем увеличении скорости перемешивания, в пределах от 580—1080 кач./мин., сличение кажущейся энергии активации не происходит; она остается постоянной и равной 4733 кал/моль.

Для изучения влияния скорости перемешивания на скорость гидрирования в зависимости от концентрации гидрируемого вещества была проведена серия опытов при 0° С. Навески диметилацетиленилкарбинола в каждом опыте этой серии брались 0,5168 г, т. е. в 3 раза больше, чем предыдущей серии опытов. Реакция в этом случае также поддается уравнению нулевого порядка вплоть до поглощения более $\frac{2}{3}$ теоретически необходимого количества водорода.

Результаты второй серии опытов, проведенной с целью изучения влияния интенсивности перемешивания на скорость гидрирования диметилацетиленилкарбинола, показаны на рис. 4.

Из рис. 4 видно, что константа скорости гидрирования 0,5168 г метилацетиленилкарбинола с

увеличением интенсивности перемешивания от 204—520 кач./мин. непрерывно возрастает. Начиная с 520 до 1080 кач./мин., она остается постоянной и не зависит от дальнейшего увеличения скорости перемешивания.

Величины констант скорости гидрирования как 0,1726 г, так и 0,5168 г метилацетиленилкарбинола при одинаковых скоростях встряхивания и прочих равных условиях имеют близкие значения. При навеске метилацетиленилкарбинола 0,1723 г в растворе 96% этилового спирта переход из «диффузионной» в «кинетическую» область совершается при 0 кач./мин. С увеличением количества непредельного соединения (диметилацетиленилкарбинола) этот переход происходит при 0 кач./мин.

Казалось бы на первый взгляд, что увеличение количества гидрируемого вещества будет способствовать более раннему переходу границы «диффузионной» области в «кинетическую». В действительности же, как показывают экспериментальные исследования, с увеличением количества метилацетиленилкарбинола переход «диффузионной» области в «кинетическую» совершается позднее. Это становится понятным, если учесть, что диффузия не только непредельного соединения, но и диффузия водорода к поверхности катализатора. Последняя, очевидно, при гидрировании большего количества непредельного соединения является лимитирующей стадией процесса. В самом деле, молекулы водорода, прежде чем продиффундировать к поверхности катализатора, должны пройти через две поверхности раздела: газ — жидкость и жидкость — твердое тело, молекулы же непредельного соединения проходят только одну поверхность раздела: жидкость — твердое тело. Поэтому в ходе реакции вследствие диффузионных затруднений может иметь место запаздывание диффузии водорода в сравнении с диффузией непредельного соединения. Константа скорости гидрирования здесь, очевидно, определяется скоростью подвода к поверхности катализатора молекул водорода. Преодоление этой

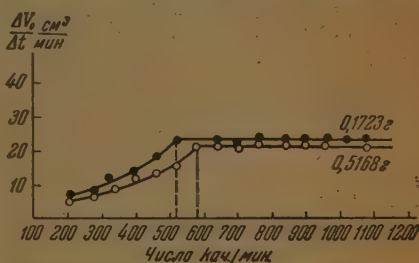


Рис. 4. Зависимость константы скорости гидрирования от интенсивности перемешивания реакционной смеси

лимитирующей стадии — диффузии водорода к поверхности — может быть осуществлено только дальнейшим увеличением интенсивности перемешивания (в нашем случае до 580 кач./мин.).

Можно думать, что реакция гидрирования диметилацетиленилкарбинола в количестве 0,5168 г при скорости перемешивания в интервале от 520 до 580 кач./мин. идет в «кинетической» области по непредельному соединению и в «диффузионной» — по водороду. При интенсивности перемешивания от 580 кач./мин. и более происходит преодоление лимитирующей стадии диффузии водорода, и реакция по обоим компонентам протекает в «кинетической» области.

Следующим этапом исследования явилось изучение влияния интенсивности перемешивания реакционной смеси на скорость гидрирования диметилацетиленилкарбинола (в воде) в зависимости от количества катализатора. Опыты проводились с навесками диметилацетиленилкарбинола 0,1723 и количеством бидистиллированной воды 25 мл при температуре 0°. Результаты этого исследования представлены на рис. 5.

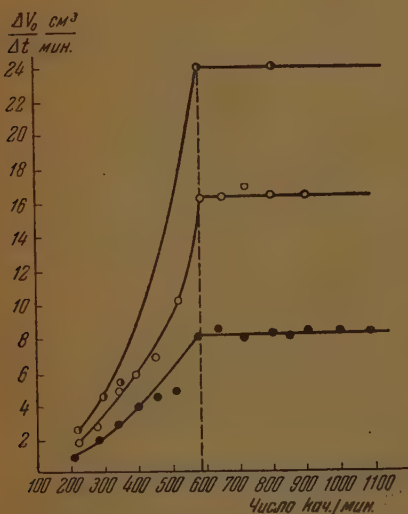


Рис. 5. Влияние скорости перемешивания на скорость гидрирования диметилацетиленилкарбинола в воде. ● — опыты, проведенные с 0,3 г Ni — Реней; ○ — опыты, проведенные с 0,6 г Ni — Реней; ◐ — опыты, проведенные с 0,9 г Ni — Реней

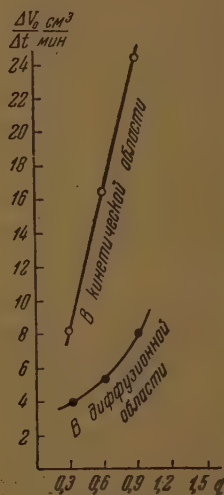


Рис. 6. Зависимость скорости гидрирования в диффузионной и кинетической областях от количества катализатора никель — Реней

Из рассмотрения кривых, изображенных на рис. 5, видно, что с увеличением скорости перемешивания от 210 до 580 кач./мин. скорость гидрирования диметилацетиленилкарбинола в воде возрастает, реакция протекает в «диффузионной» области.

С увеличением интенсивности перемешивания от 580 кач./мин. и выше константа скорости гидрирования уже не зависит от скорости перемешивания, реакция протекает в «кинетической» области. В «диффузионной» области, особенно при небольших скоростях перемешивания, увеличение количества катализатора оказывает малое влияние на увеличение константы скорости гидрирования. В «диффузионной» области отмечается криволинейная зависимость константы скорости гидрирования от количества катализатора. В «кинетической» области скорость гидрирования

метилацетиленилкарбинола изменяется прямо пропорционально с увеличением количества катализатора (рис. 5 и 6), и отношение величины константы скорости гидрирования диметилацетиленилкарбинола $\frac{q}{t}$ см³/мин в весу q катализатора Ni-Реней, т. е. удельная каталитическая активность для каждого опыта, остается величиной постоянной и равной примерно 16,4.

Из кривых (рис. 5) также нетрудно заметить, что переход из «диффузионной» области в «кинетическую» совершается при одной и той же скорости перемешивания (580 кач./мин.), независимо от количества катализатора.

Увеличение скорости реакции приводит к усиленному расходу водорода на поверхности, т. е. диффузия водорода к поверхности катализатора становится лимитирующим процессом в протекании реакции. В связи с этим следует ожидать, что при гидрировании диметилацетиленилкарбинола с увеличением количества катализатора переход границы «диффузионной» области в «кинетическую» должен происходить при больших интенсивностях перемешивания. В наших опытах этого не наблюдается. Для того чтобы найти удовлетворительное объяснение этому явлению, необходимо обратиться к рис. 4. Из рис. 4 видно, что уменьшение навески гидрируемого вещества смещает границу перехода из «диффузионной» области в «кинетическую» область в сторону меньших скоростей перемешивания.

В последнем случае необходимо учитывать то обстоятельство, что концентрация гидрируемого вещества, отнесенная к количеству катализатора, остается постоянной при увеличении количества катализатора. Поэтому, возможно, в известных пределах начинает сказываться компенсация одних факторов, замедляющих переход из «диффузионной» области в «кинетическую», другими факторами, ускоряющими его.

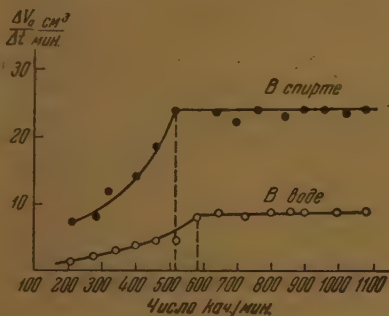


Рис. 7. Зависимость скорости гидрирования диметилацетиленилкарбинола в спирте и в воде от интенсивности перемешивания реакционной смеси

Представляет также интерес вопрос о влиянии природы растворителя на положение «диффузионной» и «кинетической» областей протекания реакции гидрирования диметилацетиленилкарбинола на никель-Реней.

Специального исследования по изучению влияния природы растворителя нами не проводилось. Однако на рис. 7 сопоставлены скорости гидрирования диметилацетиленилкарбинола в воде и спирте при 0° С и показаны границы перехода «диффузионной» области в «кинетическую» в каждом из этих растворителей. Рис. 7 показывает, что гидрирование диметилацетиленилкарбинола в спирте идет быстрее, чем в воде, как в «диффузионной» области, так и в «кинетической». Переход из «диффузионной» области в «кинетическую» при гидрировании в спирте осуществляется при меньших скоростях перемешивания (520 кач./мин.), нежели в воде (80 кач./мин.).

Смещение границы перехода «диффузионной» области в «кинетическую» при гидрировании диметилацетиленилкарбинола в воде в сторону больших интенсивностей перемешивания свидетельствует о том, что в данных условиях начинает сказываться влияние поверхностного натяжения воды на скорость диффузии водорода к поверхности катализатора. Известно, что величина поверхностного натяжения для воды больше, чем величина поверхностного натяжения для этилового спирта, а растворимость таких газов, как H_2 , N_2 , O_2 и др., в различных жидкостях уменьшается с повышением поверхностного натяжения растворителя [9]. Поэтому, основываясь на этих свойствах воды и спирта, можно предположить, что, для того чтобы элиминировать влияние диффузионных процессов и перейти в «кинетическую» область при гидрировании в воде, необходима большая интенсивность перемешивания, чем при гидрировании в спирте.

Выводы

1. Изучена кинетика гидрирования диметилацетиленилкарбинола в растворе 96% этилового спирта и в воде на скелетном никелевом катализаторе.

2. Установлено, что, независимо от температуры, навески гидрируемого вещества, природы растворителя (спирт, вода), количества катализатора, реакция гидрирования диметилацетиленилкарбинола протекает по нулевому порядку.

3. Изменение скорости перемешивания реакционной смеси позволило разграничить «диффузионную» и «кинетическую» область в процессе гидрирования.

4. В «диффузионной» области скорость реакции зависит от интенсивности перемешивания. В «кинетической» области скорость гидрирования не зависит от интенсивности перемешивания.

5. Установлено, что при гидрировании диметилацетиленилкарбинола в спиртовом растворе, при $0^\circ C$, переход границы из «диффузионной» области в «кинетическую» совершается при меньших скоростях перемешивания (520 кач./мин.), при $25^\circ C$ и прочих равных условиях этот переход происходит при больших скоростях перемешивания (580 кач./мин.).

6. В «диффузионной» области кажущаяся энергия активации растет почти линейно с увеличением интенсивности перемешивания.

В «кинетической» области кажущаяся энергия активации остается постоянной и равной 4733 кал/моль.

7. Показано, что с увеличением навески гидрируемого вещества переход границы «диффузионной» области в «кинетическую» совершается при больших интенсивностях перемешивания. Это явление обуславливается, очевидно, лимитирующей стадией процесса — диффузией водорода.

8. Скорость гидрирования диметилацетиленилкарбинола в спирте почти в 3 раза больше скорости гидрирования того же вещества в воде при прочих равных условиях. Переход границы «диффузионной» области при гидрировании диметилацетиленилкарбинола в спирте осуществлялся при меньшей интенсивности перемешивания, чем при гидрировании в воде.

9. В «диффузионной» области скорость гидрирования диметилацетиленилкарбинола на скелетном никелевом катализаторе с увеличением количества катализатора изменяется по вогнутой кривой; в «кинетической» области скорость реакции растет пропорционально увеличению количества катализатора.

ЛИТЕРАТУРА

- Я. Б. Зельдович, Журн. физ. химии, **13**, 173, 1939.
С. Ю. Елович и Г. М. Жаброва, Журн. физ. химии, **19**, 239, 1945.
В. И. Гольдманский и С. Ю. Елович, Журн. физ. химии, **20**, 1085, 1946.
С. Ю. Елович и Г. М. Жаброва, Теоретические основы гидрогенизации жиров, 1948.
Д. В. Сокольский, А. Бухман, Л. А. Бувалкина, Уч. зап. Каз. гос. ун-та им. С. М. Кирова, **8**, Химия, 57, 1948; Д. В. Сокольский и Л. А. Бувалкина, ДАН СССР, Нов. серия, LXXIII, № 3, 1950.
Д. В. Сокольский, Докторская диссертация, 1947.
Д. В. Сокольский, Уч. зап. Каз. гос. ун-та, **10**, Химия, 15, 1941.
H. S. Davis, Thomson a. Svandall, Journ. Am. Chem. Soc., **54**, 2340, 1932.
А. Н. Терновская и А. П. Белополюский, Журн. физ. химии, **24**, 43, 1950.
-

СПЕКТРЫ КОМБИНАЦИОННОГО РАССЕЯНИЯ СВЕТА НИЗКОМОЛЕКУЛЯРНЫХ ПОЛИМЕРОВ И ПОЛИМЕРИЗАЦИЯ ИЗОБУТИЛЕНА

Е. Ф. Гросс, К. В. Нельсон и Я. М. Слободин

Как известно, структура высокополимеров изучена еще не достаточно полно. Химические методы исследования хотя и дали весьма ценные результаты, но не всегда еще позволяют сделать окончательные выводы о той или иной структуре полимера.

В настоящей работе мы предприняли спектроскопическое исследование одного из наиболее простых полимеров, а именно полиизобутилена. Изобутилен является удобным объектом для исследования, так как его молекула имеет одну двойную связь, вследствие чего полимеризация идет линейно, дает возможность получить последовательный ряд полимерных форм от димера до высокомолекулярного полимера и, кроме того, возможность изомеризационных процессов практически исключена.

Мы полагаем, что рациональное исследование спектра высокополимера, ввиду его сложности, необходимо вести последовательно, начиная с самых низкомолекулярных форм. Только таким образом можно надеяться подойти к правильной интерпретации сложного спектра полимерной молекулы.

Исходя из этого, мы исследовали полиизобутилен с последовательно возрастающей степенью полимеризации: димер, тример, тетрамер, пентамер. Дальнейших членов последовательного ряда не было в нашем распоряжении. Однако, как вытекает из наших исследований, изучение дальнейших членов полимерного ряда, повидимому, не представляет особой необходимости для затрагиваемого здесь вопроса. Имевшийся в нашем распоряжении полимер со средним молекулярным весом 800 (15-, 16-кратный полимер), спектр которого был нами так же исследован, служил промежуточным звеном между низкомолекулярными и высокомолекулярными формами.

Применяя спектроскопическую методику, можно было надеяться выяснить структуру полиизобутилена, изучая изменение спектра по мере усложнения молекулы. При изучении сложных молекул спектроскопические методы исследования становятся более эффективными, если их результаты сопоставлять с данными химического анализа. Поэтому ниже при разборе вероятных структур изобутилена мы используем результаты обоих методов.

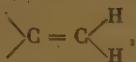
Теоретическое рассмотрение вопроса о строении изобутилена на основании химических исследований приводит к нескольким возможным структурам для каждой полимерной формы.

В наших исследованиях препараты изобутилена готовились выделением путем фракционирования низкомолекулярных полимеров определенного молекулярного веса (димер, тример, тетрамер, пентамер). Каждая из низкомолекулярных фракций должна была содержать все те изомеры, которые могут образоваться в результате полимеризации изобутилена. Выделение отдельных изомеров не производилось из-за чрезвычайной трудности этой задачи. Таким образом все те структуры, которые на основании химических данных теоретически возможны, должны были бы присутствовать в низкомолекулярных препаратах изобутилена, имевшихся в нашем распоряжении, если только эти структуры действительно образуются при полимеризации изобутилена.

В этой работе мы не ставим своей целью дать полную интерпретацию частот спектров комбинационного рассеяния, полученных нами для низкомолекулярных форм изобутилена. В первую очередь, мы ограничимся разбором лишь тех частот, которые могут характеризовать колебания группы атомов, в которых углероды связаны двойной связью. Целесообразность рассмотрения именно этих частот обусловлена, с одной стороны, тем, что в зависимости от положения в молекуле групп $C=C$ можно выделить интересные нас структурные задачи, и, с другой стороны, тем, что частоты, характерные для группы $>C=C<$, изучены более полно, чем другие линии в спектрах неопределенных углеводородов.

Поэтому выводы, делаемые на основании анализа колебаний атомов и двойной связи, можно считать более надежными.

Из большого экспериментального материала установлено: если группа двойной связью находится на конце цепи, т. е. имеется



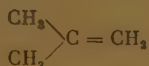
она характеризуется следующими частотами: $\delta = 1100 \text{ см}^{-1}$, $\delta = 1415 \text{ см}^{-1}$, $\nu = 1633 - 1650 \text{ см}^{-1}$, $\nu = 3081 \text{ см}^{-1}$, $\delta = 1100 \text{ см}^{-1}$ соответствует деформационным колебаниям связи $C-H$ относительно двойной связи. $\delta = 1415 \text{ см}^{-1}$ соответствует деформационным колебаниям связей $C-H$ друг относительно друга.

Валентные колебания $C=C$ связи, расположенной на конце цепи, будут лежать в интервале частот $1633 - 1650 \text{ см}^{-1}$. Валентные колебания $C-H$ связи имеют частоту 3081 см^{-1} . Если же двойная связь $C=C$ находится в середине цепи, то валентные колебания углеродов по этой связи имеют частоту, лежащую в интервале $\nu = 1667 - 1680 \text{ см}^{-1}$.

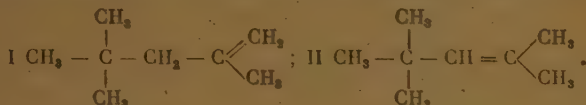
Ниже приводятся в последовательном порядке структуры низкомолекулярных форм изобутилена по химическим данным и обсуждается возможность их существования на основании результатов, полученных нами при изучении спектров рассеяния.

Димеры

Образование димеров при полимеризации изобутилена



Этой группой кислотой изучалось еще А. М. Бутлеровым и Вагнером, которые пришли к заключению, что образуются две формы следующего строения:

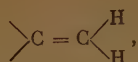


При этом считалось, что преимущественно образуется форма II, а первая форма присутствует в незначительных количествах.

Путем полимеризации мономера изобутилена серной кислотой с последующим фракционированием мы выделили димерную фракцию, которая является смесью изомеров диизобутилена.

Среди частот полученного нами спектра комбинационного рассеяния эта фракция содержит следующие интересные нас частоты: 1000 см^{-1} , 1404 см^{-1} , 1644 см^{-1} , 1668 см^{-1} , 3079 см^{-1} .

Первые три частоты и $\nu = 3079 \text{ см}^{-1}$ указывают на то, что в молекуле имеется группа



т. е. двойная связь расположена на конце цепи. Это соответствует I структуре димера. Частота 1668 см^{-1} относится к колебаниям связи $C = C$ находящейся в середине цепи, что соответствует структуре II.

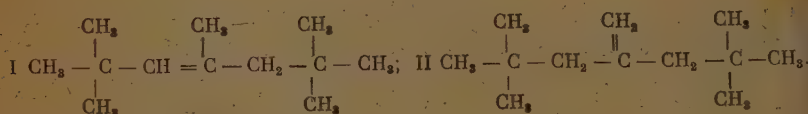
Таким образом спектроскопические данные для димеров вполне согласуются со структурами I и II, предполагавшимися ранее на основании химических исследований, и указывают на тот факт, что при полимеризации изобутилена одновременно образуются обе формы. Но при этом обе формы образуются приблизительно в равных количествах, о чем можно судить по соотношению интенсивностей частот для двойной связи ($\nu = 1644 \text{ см}^{-1}$, $\nu = 1668 \text{ см}^{-1}$), которые по визуальной оценке одинаковы.

Спектры комбинационного рассеяния чистых 2, 2, 4-триметилпентен-4 и 2, 2, 4-триметилпентен-3 (в нашем случае структуры I и II) были получены Ранком и Борднером [1]. Сравнение этих спектров с полученным нами для димера изобутилена показывает, что частоты для димерной фракции состоят из частот для 2, 2, 4-триметилпентен-4 и 2, 2, 4-триметилпентен-3, а частот, которые бы не укладывались в спектры чистых веществ, не обнаружено.

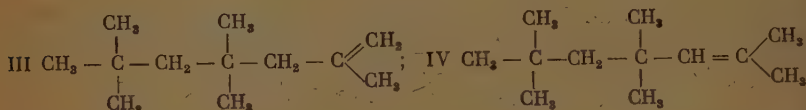
На основании этого можно сказать, что в нашем случае, по видимому, структурами I и II исчерпываются димерные формы.

Тример

Для тримера теория предвидит восемь изомерных форм. Однако не все они образуются при полимеризации изобутилена. Уитмор [2] на основании электронных представлений считает, что главным образом должны получиться следующие формы изобутилена:



и в меньшем количестве формы:

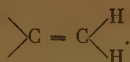


В чистом виде ни один из изомеров триизобутилена выделен не был, но на основании химических данных по смеси изомеров тримера следует, что все четыре формы могут существовать.

Как видно из приведенных структур, наиболее существенное отличие строения изомеров триизобутилена заключается в положении двойной связи.

Полученный нами спектр комбинационного рассеяния тримера, приготовленного полимеризацией изобутилена флоредином, для группы с двойной связью содержит следующие частоты: $\delta_1 = 1105 \text{ см}^{-1}$, $\delta_2 = 1406 \text{ см}^{-1}$, $\nu_3 = 1636 \text{ см}^{-1}$, $\nu_4 = 1652 \text{ см}^{-1}$, $\nu_5 = 1671 \text{ см}^{-1}$; $\nu_6 = 3087 \text{ см}^{-1}$.

Частоты $\delta_1, \delta_2, \nu_3, \nu_4, \nu_5$ свидетельствуют о присутствии группы



астота ν_5 соответствует положению двойной связи $\text{C}=\text{C}$ в середине молекулы. Таким образом из приведенных частот следует, что образующийся при полимеризации триизобутилен состоит из форм, имеющих двойную связь как на конце цепи, так и в середине.

Мы не касаемся здесь вопроса о более детальном анализе всех спектроскопических данных для выяснения возможности присутствия в образце каждой из четырех форм в отдельности. Отметим лишь, что из соотношения интенсивностей для частот двойной связи, которое визуальное может быть оценено, как

$$I_3 : I_4 : I_5 = 1 : 1 : 0,7,$$

следует заключить, что изомеры, имеющие двойную связь в середине цепи, присутствуют в меньшем количестве.

Существенным фактом, отличающим спектр тримера от спектра димера, является присутствие в спектре триизобутилена трех частот для двойной связи $\text{C}=\text{C}$: $\nu_3 = 1636 \text{ см}^{-1}$; $\nu_4 = 1652 \text{ см}^{-1}$; $\nu_5 = 1671 \text{ см}^{-1}$, причем две из них ν_3 и ν_4 попадают в область колебания двойной связи, расположенной на конце цепи. В то время как для димера наблюдались только две: $\nu_{\text{дим I}} = 1644 \text{ см}^{-1}$; $\nu_{\text{дим II}} = 1668 \text{ см}^{-1}$. Кроме того, нам кажется не случайно, что

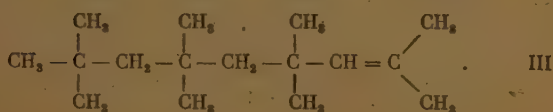
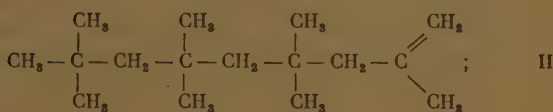
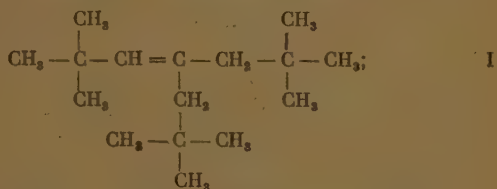
$$\nu_{\text{дим I}} - \nu_3 = \nu_4 - \nu_{\text{дим I}},$$

т.е. 1644 см^{-1} находится посередине между двух частот тримера ν_3 и ν_4 . Объяснение этому мы попытаемся дать ниже после рассмотрения всех экспериментальных данных.

Тетрамер

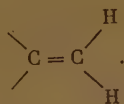
Вопрос о структуре тетрамеров и более высокомолекулярных полимеров до сих пор не выяснен.

Применяя рассуждения, аналогичные тем, которые делались Уитмором при выводе структур триизобутиленов, можно предсказать, что тетрамер триизобутилена должен состоять из следующих форм:



На основании теоретических соображений Уитмором было сделано предположение, что в основном должна образовываться структура I, а две другие могут присутствовать лишь в незначительных количествах.

Нами был получен тетрамер полимеризацией изобутилена флоредином. Спектр комбинационного рассеяния этого препарата содержит следующие частоты для группы с двойной связью: $\delta_1 = 1110 \text{ см}^{-1}$; $\delta_2 = 1408 \text{ см}^{-1}$; $\nu_3 = 1637 \text{ см}^{-1}$; $\nu_4 = 1650 \text{ см}^{-1}$; $\nu_5 = 3078 \text{ см}^{-1}$; что соответствует наличию группы



Как и для тримера, в спектре тетраизобутилена мы наблюдаем две интенсивные линии для двойной связи $\text{C}=\text{C}$, расположенной на конце цепи; с частотами $\nu_3 = 1637 \text{ см}^{-1}$ и $\nu_4 = 1650 \text{ см}^{-1}$. При этом также имеет место соотношение:

$$\nu_{\text{двм I}} - \nu_3 \approx \nu_4 - \nu_{\text{двм I}}$$

где ν_3 и ν_4 — частоты двойной связи, наблюдаемые в спектре тетрамера.

Частота для двойной связи $\text{C}=\text{C}$ в середине цепи в нашем спектре отсутствует.

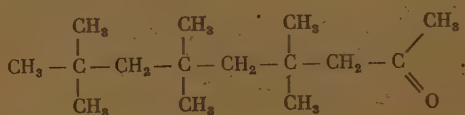
На основании этого можно считать, что при полимеризации изобутилена образуется, главным образом, тетрамер со структурой, которая содержит двойную связь на конце цепи.

Так как методика спектров комбинационного рассеяния, как известно, не является чувствительной к небольшим концентрациям, то из наших спектроскопических опытов нельзя сделать заключения о полном отсутствии в исследованном нами образце тетрамера структур, в которых двойная связь расположена в середине цепи. Можно только с уверенностью сказать, что, во всяком случае, концентрация форм с двойной связью в середине цепи значительно меньше концентрации изомера с двойной связью на конце.

Параллельно с исследованием спектра комбинационного рассеяния, тетрамер был изучен нами методами химического анализа.

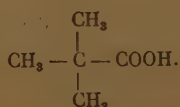
В результате озонирования препарата тетраизобутилена получились:

1. Муравьиная кислота CH_2O в количестве 1,17 г.
2. Кетон с молекулярным весом 230, определенным по температуре замерзания раствора в бензоле, в количестве 5,6 г. Кетону должна быть приписана следующая структура:



Рассчитанный молекулярный вес для этой структуры 226.

3. Триметилуксусная кислота, которая была характеризована по температуре плавления и по анализу ее серебряной соли, в количестве 0,18 г. Кислота имеет структуру следующего вида:



Основная масса состояла из формальдегида и кетона, и лишь в малом количестве образовалась триметилуксусная кислота. На основании этого можно утверждать, что и по химическим данным, структура тетрамера I, т. е. с двойной связью в середине молекулы, может получаться при полимеризации изобутилена только в незначительном количестве.

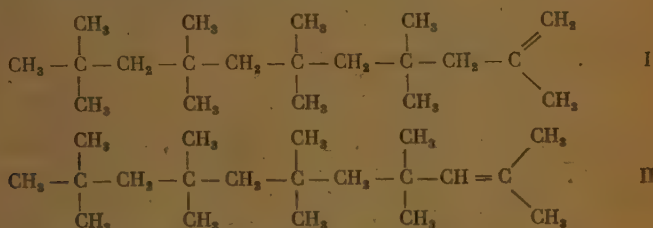
При азонлизе ацетон не обнаружен, что указывает на полное отсутствие формы III.

Таким образом химические данные полностью согласуются с результатами, полученными на основании спектров комбинационного рассеяния. Предположение Уитмора о преобладании структуры I не подтверждается всей совокупностью наших опытов.

Следовательно, при полимеризации изобутилена в подавляющем количестве образуется тетрамер со структурой II.

Пентамер

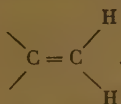
Исходя из структурно-химических соображений, можно показать, что, начиная с пентамера, число предполагаемых изомерных форм, образующихся при полимеризации изобутилена, т. е. в результате присоединения к молекуле тетрамера одной молекулы мономера, сократится до двух. Эти формы, отличающиеся друг от друга лишь положением двойной связи, имеют следующий вид:



Нами был приготовлен препарат пентамера путем полимеризации изобутилена фторедином.

Спектр комбинационного рассеяния этого образца содержит для группы двойной связи следующие частоты: $\delta_1 = 1105 \text{ см}^{-1}$, $\delta_2 = 1410 \text{ см}^{-1}$, $\nu_3 = 1640 \text{ см}^{-1}$, $\nu_4 = 1649 \text{ см}^{-1}$, $\nu_5 = 3070 \text{ см}^{-1}$, $\nu_6 = 3085 \text{ см}^{-1}$.

Все они указывают на присутствие группы



Частоты, отвечающей колебаниям двойной связи $\text{C} = \text{C}$, расположенной в середине цепи ($\nu \approx 1670 \text{ см}^{-1}$), на спектрограмме не обнаружено.

Таким образом, исходя из спектроскопических данных, можно утверждать, с точностью, которую могут дать спектры комбинационного рассеяния (порядка 5% концентрации примеси), что пентамер изобутилена образуется в процессе полимеризации в форме, соответствующей структуре I, т. е. с двойной связью на конце полимерной цепи.

Как и в спектрах тримера и тетрамера, у пентамера наблюдаются также две близкие частоты для связи $\text{C} = \text{C}$ ν_3 и ν_4 , соответствующие положению двойной связи на конце цепи.

При этом имеет место аналогичное соотношение:

$$\nu_{\text{дим I}} - \nu_3 \approx \nu_4 - \nu_{\text{дим I}}$$

т. е. ν_3 и ν_4 симметрично смещены относительно положения 1644 см^{-1} .

Мы привели основные экспериментальные результаты, полученные для низкомолекулярных полимеров изобутилена. Но для того, чтобы можно было экстраполировать выводы, которые мы сделаем, исходя из закономерностей изменения спектра комбинационного рассеяния с нарастанием цепи полимерной молекулы от димера до пентамера, на высокомолекулярные образования изобутилена, и распространить наши заключения о процессе полимеризации на высокополимер, нами был исследован еще, как промежуточная ступень к каучукоподобным оппанолю и вистанексу, полиизобутилен со средним молекулярным весом 800.

Полимер со средним молекулярным весом 800 ($M_{cp}=800$)

Образец, полученный полимеризацией изобутилена флоредином, представлял смесь различных по длине молекул и содержал все формы, которые могут образоваться в процессе полимеризации, за исключением самых низкомолекулярных, которые были отогнаны в вакууме (димеры, тримеры, тетрамеры). Таким образом наш объект может содержать как низкомолекулярные образования изобутилена, начиная с пентамера, так и высокополимерные молекулы, характерные для каучукоподобных оппанола и вистанекса. Следовательно, спектр комбинационного рассеяния должен отразить все особенности, отличающие составляющие смеси, с учетом процентного соотношения компонент.

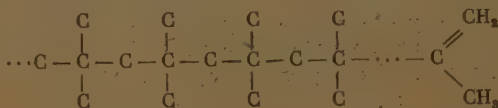
Полученный спектр полиизобутилена $M_{cp}=800$ содержал следующую характерную группу частот: $\delta_1 = 1102 \text{ см}^{-1}$, $\nu_2 = 1637 \text{ см}^{-1}$, $\nu_3 = 1650 \text{ см}^{-1}$, $\nu_4 = 3071 \text{ см}^{-1}$, $\nu_5 = 3089 \text{ см}^{-1}$.

Все эти частоты относятся к группе >C=CH_2 , расположенной на конце молекулы. При этом, так же как и в ранее отмеченных случаях (тримера, тетрамера, пентамера), на спектрограмме появляются две частоты, характерные для колебания по двойной связи $\text{C}=\text{C}$, находящейся на конце цепи: $\nu_2 = 1637 \text{ см}^{-1}$ и $\nu_3 = 1650 \text{ см}^{-1}$, смещенные относительно положения 1644 см^{-1} на $\Delta\nu \approx \pm 6 \text{ см}^{-1}$. Частоту, которая бы могла быть отнесена к колебанию связи $\text{C}=\text{C}$, расположенной в середине молекулы, мы не обнаружили.

Из этого следует, что промежуточный продукт полиизобутилена с $M_{cp}=800$ содержит молекулы полимера, построенные так, что двойная связь $\text{C}=\text{C}$ находится в конце полимерной цепи.

Из всего сказанного вытекает, что процесс полимеризации идет таким образом, что дальнейшее развитие получают лишь те формы, в которых двойная связь расположена на конце цепи. При этом, как мы видели на примере структур тетрамера и пентамера, существует повторяемость структурных элементов в полимерной молекуле с двойной связью на конце цепи. Нужно полагать, что такая повторяемость структурных элементов будет характерна и для высокомолекулярных полимеров типа оппанола и вистанекса; и в этих полимерах следует ожидать наличия двойной связи, главным образом, на конце цепи.

Итак, можно считать, что каучукоподобные полимеры изобутилена представляют собой линейную молекулу с чередованием вторичных и четвертичных углеродных атомов с двойной связью, расположенной на конце цепи, т. е. имеют структуру:



На приведенной структуре показано правильное чередование вторичных и четвертичных углеродов. Однако такое правильное распределение

меньев в макромолекуле полиизобутилена не вытекает непосредственно из приведенного выше экспериментального материала как химического, так и спектроскопического. Возможно и неправильное, случайное чередование вторичных и четвертичных углеродных атомов в полимерной цепи. Вопрос этот пока остается открытым.

В табл. 1 приведены частоты $C=C$ связи для исследованных нами полиизобутиленов.

Таблица 1

Димер	Тример	Тетрамер	Пентамер	$M_{cp} = 800$
	1636 cm^{-1}	1637 cm^{-1}	1640 cm^{-1}	1637 cm^{-1}
1644 cm^{-1}	1652 cm^{-1}	1650 cm^{-1}	1649 cm^{-1}	1650 cm^{-1}
1668 cm^{-1}	1671 cm^{-1}			

Отсутствие частоты ~ 1670 cm^{-1} в тетрамере, пентамере и $M_{cp} = 800$ было истолковано нами выше.

Рассмотрим остальные частоты для двойной связи. Мы видим, что частота 1644 cm^{-1} ни в тримере, ни в более высокомолекулярных соединениях изобутилена не встречается. Вместо нее появляются две симметрично расположенные частоты, смещенные относительно положения 1644 cm^{-1} на $\Delta\nu = \pm 8$ cm^{-1} в тримере, $\Delta\nu = \pm 7$ cm^{-1} в тетрамере, $\Delta\nu = \pm 6$ cm^{-1} в пентамере, $\Delta\nu = \pm 6$ cm^{-1} в полимере $M_{cp} = 800$.

Наиболее вероятное объяснение наблюдаемого расщепления состоит в том, что, повидимому, колебание с частотой 1644 cm^{-1} , характерное для двойной связи $C=C$, расположенной на конце молекулы, резонирует с другим колебанием, имеющим значение частоты первого обертона $2\nu_i$, или составной частоты $\nu_A + \nu_i$, близкое к значению 1644 cm^{-1} , т. е. происходит ферми-резонанс.

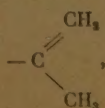
Для случая многоатомных молекул резонансное расщепление указанного типа явление не редкое, и по мере усложнения молекулы и увеличения числа ее колебаний возможности резонансных расщеплений безгранично возрастают.

Полиизобутилен является несимметричной многоатомной молекулой, содержащей группы CH_2 и CH_3 , которые, как известно, увеличивают возможности резонанса.

В тримере, тетрамере, пентамере и полимере со средним молекулярным весом 800 можно указать несколько возможных вариантов резонирования частоты двойной связи $C=C$ $\nu = 1644$ cm^{-1} с другими колебаниями, имеющими близкие энергетические уровни в обертонах или составных частотах.

Но, как известно [3], для того чтобы осуществился резонанс двух уровней, кроме совпадения энергий необходимо, чтобы они принадлежали к одному и тому же типу симметрии. Для выяснения этого вопроса необходимо произвести анализ поляризационных измерений спектров комбинационного рассеяния.

Другое возможное объяснение появления двух частот для двойной связи $C=C$, лежащих около положения 1644 cm^{-1} , заключается в следующем. В молекуле полиизобутилена, содержащей структурную группу:

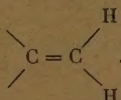


на конце цепи, возможны вращательные переходы этой группы вокруг ординарной связи, соединяющей ее с остальной частью макромолекулы. В результате этого могут появиться поворотные изомеры, которые будут иметь несколько различные частоты двойной связи, соответствующие различным ориентациям конечной группы.

Выводы

1. Получены спектры комбинационного рассеяния низкомолекулярных форм изобутилена: димера, тримера, тетрамера, пентамера и $M_{cr} = 800$.

2. Произведен анализ частот, относящихся к колебаниям группы



3. Установлено, что димер изобутилена состоит из двух форм, отличающихся друг от друга положением двойной связи $\text{C} = \text{C}$. Обе формы образуются примерно в одинаковых количествах.

4. Тример состоит из различных форм. Число молекул тримера с двойной связью на конце больше, чем число молекул с двойной связью в середине цепи.

5. Образующиеся при полимеризации изобутилена тетрамер, пентамер и $M_{cr} = 800$ в основном состоят из форм, имеющих структуру с двойной связью на конце цепи.

6. Обнаружено расщепление линии двойной связи $\text{C} = \text{C}$, находящейся на конце цепи, на две симметрично смещенные относительно положения 1644 см^{-1} .

7. Из всей совокупности наших данных следует, что в процессе полимеризации изобутилена молекула полимера строится так, что связь $\text{C} = \text{C}$ находится на конце цепи.

Государственный университет
им. А. А. Жданова
Ленинград

Поступила
16.V.1950

ЛИТЕРАТУРА

1. D. H. Rank and E. R. Borden, Journ. Chem. Phys., **3**, 248, 1935.
2. F. C. Whitmore, Journ. Amer. Chem. Soc., **63**, 2035, 2200, 1941.
3. Г. Гердберг, Колебательные и вращательные спектры многоатомных молекул, И. Л., 1949, стр. 235.

СОДЕРЖАНИЕ

В. Чмутов. К пятидесятилетию со дня рождения академика М. М. Дубинина	385
К. Кудра и П. П. Туров. Потенциалы разложения ацетоновых растворов солей кадмия	391
К. Делимарский, Л. С. Беренблум и И. Н. Шейко. Определение отдельных электродных потенциалов в расплавленных хлористом алюминии — хлористом натрии как растворителе	398
А. Шушунов, Г. М. Стронгин, Ю. И. Грызанин и А. В. Куканов. Кинетика реакции фотохлорирования бензола	404
И. Антропов и Н. Т. Ваграмян. Электровосстановление в ряду нитробензол — анилин	409
Т. Ваграмян и Л. И. Антропов. О влиянии рН на процесс электрохимического гидрирования	419
С. Уразовский. О природе молекулярно-полиморфных превращений в жидкостях	426
А. Ковнери Ш. Е. Цимринг. К теории сплошного спектра метана и сходных молекул	434
А. Ковнери Ш. Е. Цимринг. Квантовая механика вырожденных колебаний молекулы метана	438
И. Кокочавили. Особенности горения смесей водорода с бромом	444
И. Леви. Полимолекулярная адсорбция на неоднородных поверхностях	453
А. Багодкая. О механизме окисления ртути кислородом в растворах электролитов	459
К. Манкаш и А. Б. Пакшвер. Кинетика гетерогенного гидролиза полиамидных волокон в кислой среде	468
Б. Яцимирский. Константы устойчивости некоторых комплексных соединений свинца	475
В. Авакян и Н. Ф. Лашко. Влияние повышенной структурной вязкости на процесс кристаллизации двойных эвтектик в тройных системах	480
В. Баймаков и Л. М. Евланников. К вопросу об электрохимических свойствах никеля	483
В. Сокольский и Л. А. Бувалкина. Кинетика гидрирования диметилацетиленилкарбинола на скелетном никелевом катализаторе	495
Ф. Гросс, К. В. Нельсон и Я. М. Слободин. Спектры комбинационного рассеяния света низкомолекулярных полимеров и полимеризация изобутилена	504

Цена 12 руб.